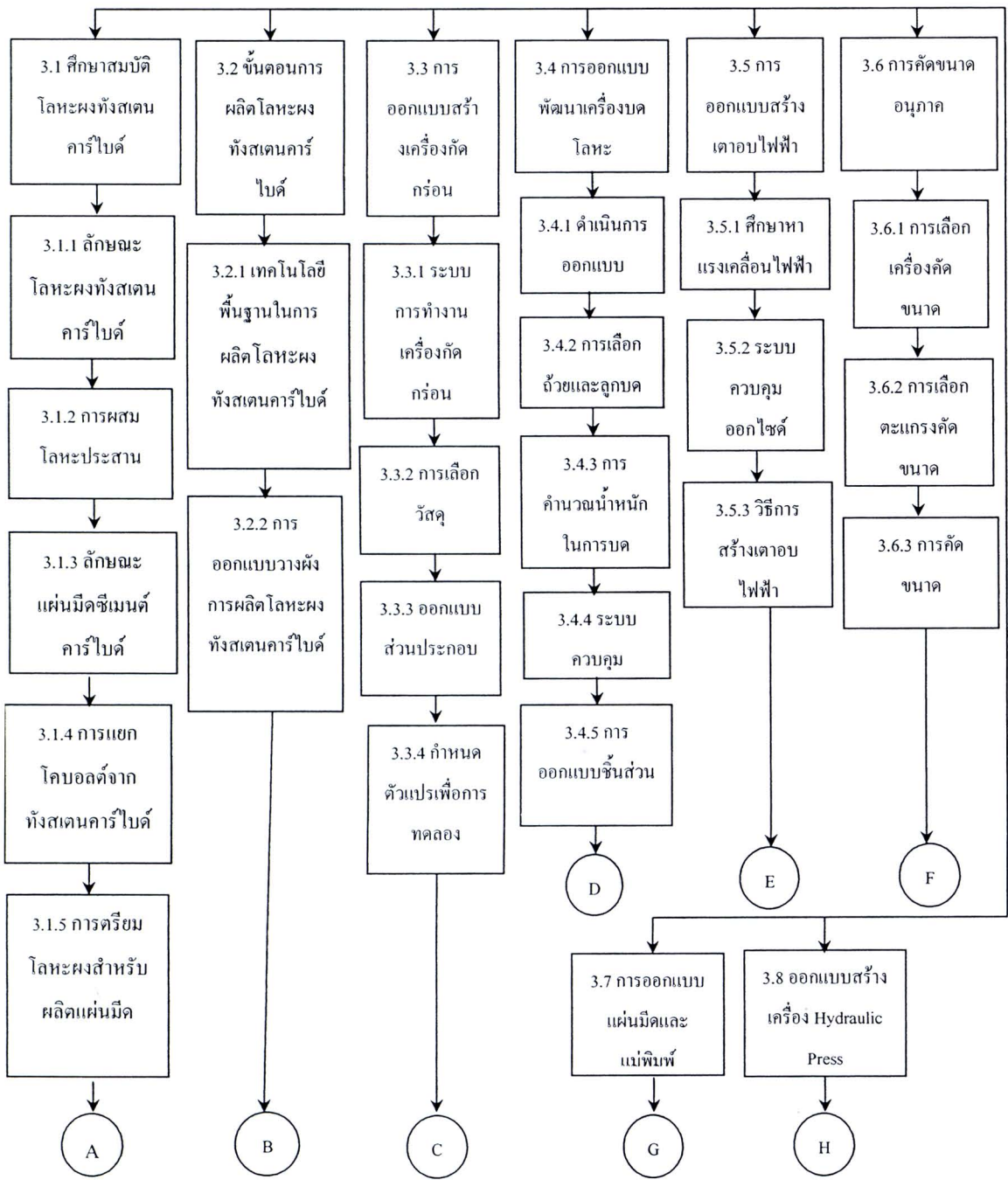


บทที่ 3

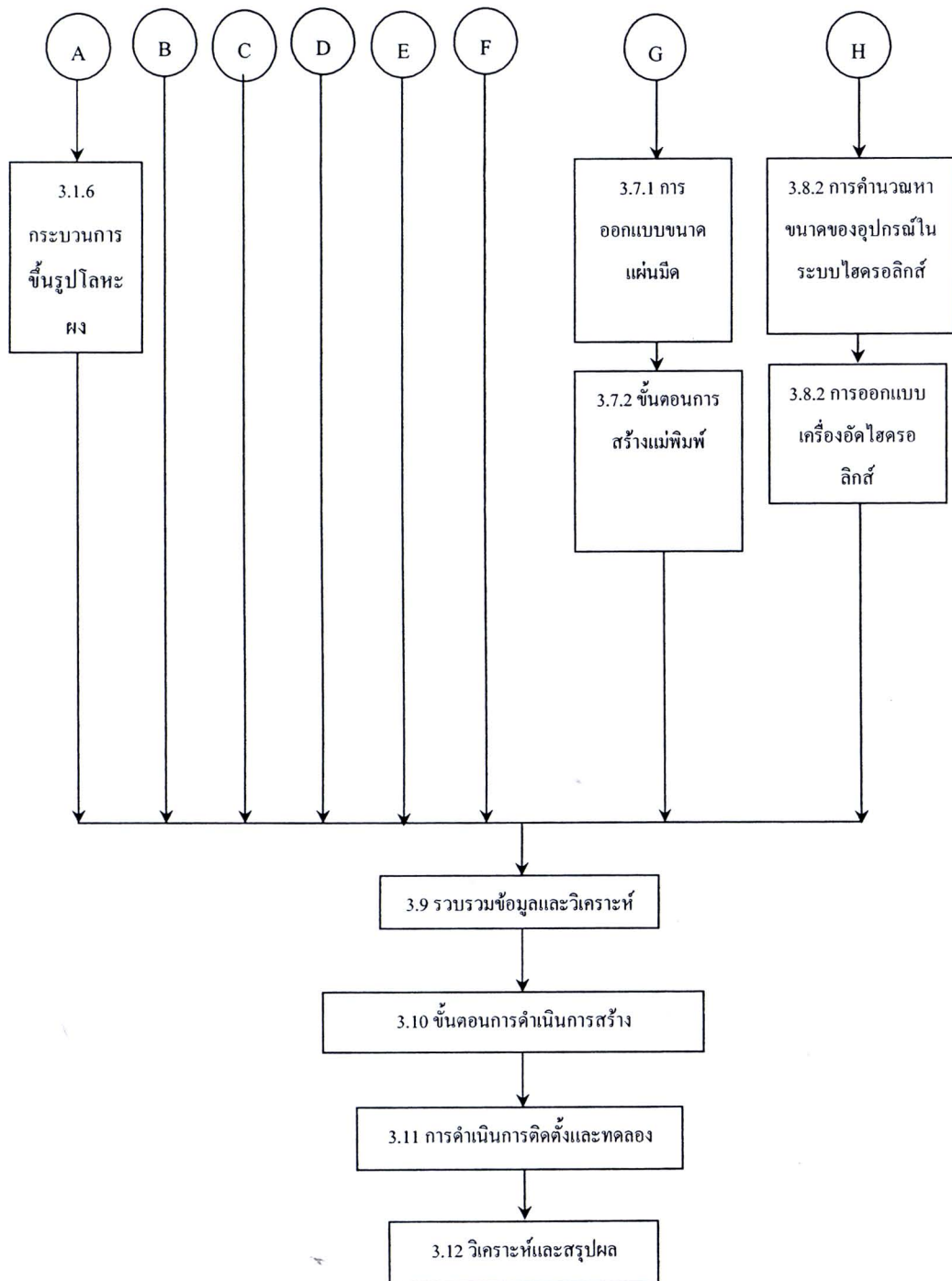
การดำเนินงานและวิธีการทดลอง

การดำเนินงานในการพัฒนาและสร้างเทคโนโลยีเพื่อสนับสนุนกระบวนการทดลองและศึกษาแนวทางการนำเศษวัสดุหั้งสเตนคาร์บไบด์ (Tungsten Carbide) ที่ผ่านการใช้งานแล้วมาแยกสลายด้วยกระบวนการทางเคมีไฟฟ้า ซึ่งได้ทำการศึกษาคุณลักษณะของผงหั้งสเตน การผสมโลหะประสานเพื่อนำไปใช้งาน วิธีการแยกสลายโคนอลต์ การศึกษาเทคโนโลยีที่ใช้ในการผลิต การออกแบบผังกระบวนการผลิต การออกแบบสร้างเครื่องแยกสลายเศษชิ้นメンต์คาร์บไบด์ การปรับปรุงคุณภาพโลหะผงโดยวิธีการบด การกรอง การออกแบบสร้างเครื่องบดโลหะผง การออกแบบหม้อบด การออกแบบชิ้นส่วนเครื่องบด การศึกษาหลักการอบโลหะผง การออกแบบและพัฒนาเตาอบสูญญากาศ ศึกษาการคัดขนาดด้วยตะแกรงเพื่อกำหนดสมบัติในการใช้งาน ศึกษาโลหะผงมาตรฐาน ขั้นตอนต่อมาศึกษาขั้นตอนการผลิตชิ้นงานชิ้นメンต์คาร์บไบด์ และดำเนินการผลิตแผ่นมีดตัด โดยการออกแบบและพัฒนาแม่พิมพ์สำหรับใช้ในการอัดชิ้นรูปประกอบด้วย การออกแบบส่วนประกอบของแม่พิมพ์ การดำเนินการผลิต การเข็นรูปชิ้นงานด้วยการอัดโดยเครื่องอัดไฮดรอลิกส์ ที่พัฒนาส่วนประกอบและเลือกอุปกรณ์ในระบบที่ได้มาตรฐาน เป็นต้น จากการศึกษาเทคโนโลยีสำหรับผลิตโลหะผง ได้ทำการวิเคราะห์และกำหนดขนาด ออกแบบชิ้นส่วนต่างๆ สำหรับเครื่องจักรรวมถึงอุปกรณ์อื่นๆ ให้มีความเหมาะสมตามการใช้งานเพื่อดำเนินการพัฒนาเครื่องจักรสำหรับใช้เป็นเทคโนโลยีในการผลิตโลหะผงหั้งสเตนคาร์บไบด์ หลังจากการพัฒนาสร้างเทคโนโลยีแล้วได้ทำการติดตั้ง ทดลองผลิตผงโลหะ เพื่อดำเนินการแก้ไขปรับปรุงการทำงานของเครื่องจักรและอุปกรณ์ให้มีความเหมาะสม สามารถผลิตโลหะผงที่มีคุณภาพและกำหนดเป็นมาตรฐานเพื่อเป็นพื้นฐานในการผลิตชิ้นงานชิ้นメンต์คาร์บไบด์ สุดท้ายเป็นการวิเคราะห์และสรุปผลการดำเนินการทดลองทั้งหมดเพื่อผลิตเทคโนโลยีที่สามารถผลิตโลหะผง ซึ่งสามารถทำการออกแบบผังการดำเนินงานได้ดังรูปที่ 3.1





รูปที่ 3.1 แสดงขั้นตอนการดำเนินงาน



รูปที่ 3.1 แสดงขั้นตอนการดำเนินงาน (ต่อ)

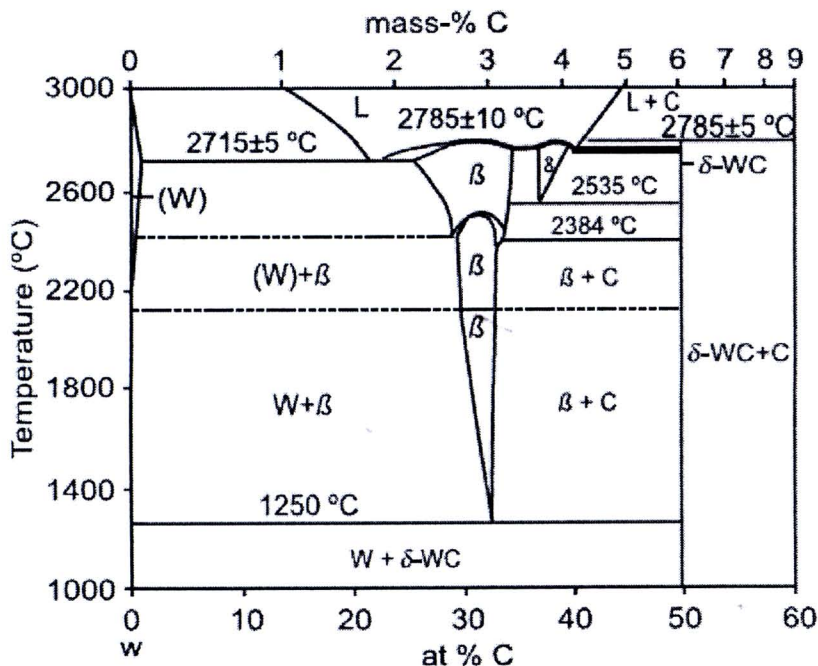
3.1 ศึกษาสมบัติโลหะพงทั้งสเดนคาร์ไบด์

ทั้งสเดนคาร์ไบด์ประกอบขึ้นจากทั้งสเดนถูกผูกมัดทางเคมีและการไบค์ ความแข็งทำให้สามารถแทนที่เหล็กและโลหะผสมโลหะอื่น ทั้งสเดนคาร์ไบด์มักจะเรียกว่า คาร์ไบด์ ในรูปแบบพื้นฐานที่สุดจะมีลักษณะเป็นผงสีเทา แต่ก็สามารถกดและเกิดเป็นรูปสำหรับใช้ในเครื่องจักร อุตสาหกรรมเครื่องมือรวมทั้งเครื่องประดับ

3.1.1 คุณลักษณะโลหะพงทั้งสเดนคาร์ไบด์

คุณลักษณะโลหะพงทั้งสเดนคาร์ไบด์ที่สำคัญประกอบด้วย ลักษณะการเกิดสมดุล ของทั้งสเดนและการรับอน ลักษณะเกรน ขนาดของอนุภาค และความบริสุทธิ์ เป็นต้น

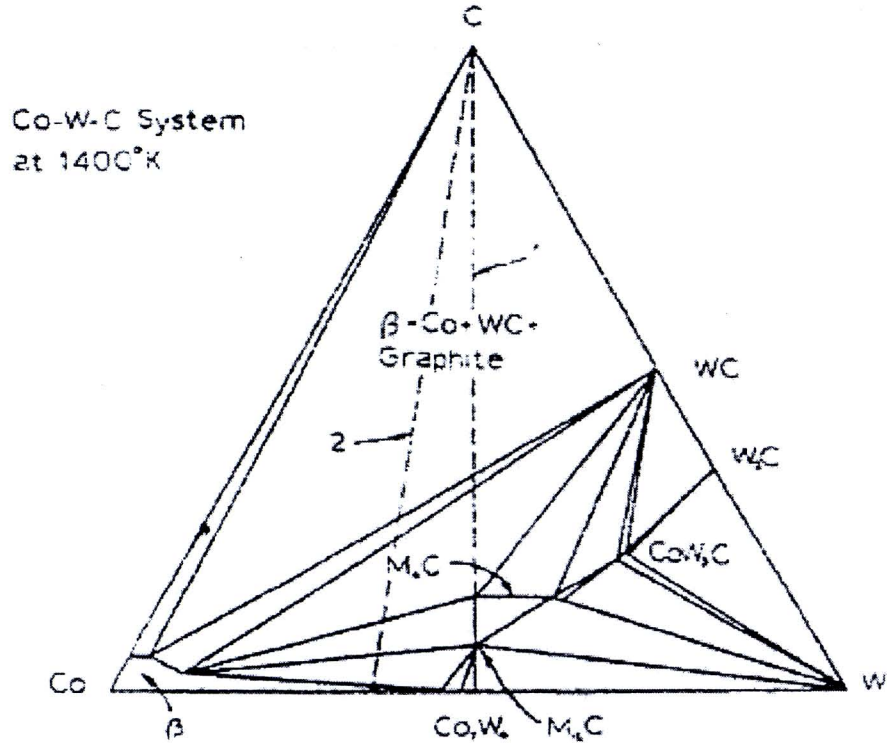
3.1.1.1 ลักษณะเฟสไดอะแกรมทั้งสเดนคาร์ไบด์



รูปที่ 3.2 แสดงเฟสไดอะแกรมของระบบ W – C ที่ ความสัมพันธ์ mass-% C และ อุณหภูมิ [24]

จากรูปที่ 3.2 แสดงเฟสไดอะแกรม (phase diagram) ความสัมพันธ์ระหว่างอัตราส่วนผสมของคาร์บอน (C) กับอุณหภูมิ (°C) และมวล (mass) ของอัตราส่วนคาร์บอน (mass-% C) ปรากฏว่า ที่ mass-% C ในช่วง 6-9% C และอุณหภูมิจาก 1000-2785±5 °C โครงสร้างโลหะเป็น δ-WC+C ที่ mass-% C อยู่ระหว่าง 1-3% C และอุณหภูมิจาก 2384 -2535 °C โครงสร้างโลหะเป็น W 100% ที่

mass % C อยู่ระหว่าง 0-3% และอุณหภูมิจาก 1400 – 2400 °C โครงสร้างโลหะเป็น W+ β และที่ อุณหภูมิ 1000-1250 ที่ Mass% C อยู่ระหว่าง 0-6% โครงสร้างเป็น W+ δ -WC เป็นต้น

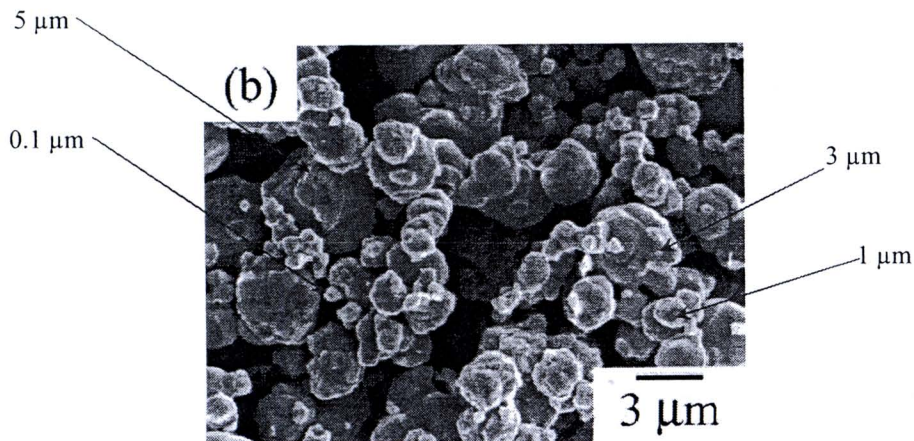


รูปที่ 3.3 โครงสร้างของทั้งสแตนคาร์บide [25]

จากรูปที่ 3.3 แสดงสมดุลเฟสไฮอะแกรมของ Co-W-C ที่อุณหภูมิ 1400 °K จากนั้น β -Co+WC+Graphite มีส่วนผสมของทั้งสแตน (W) ประมาณ 50% คาร์บอน (C) 20% และโคนอลต์ (Co) 30% เมื่อได้รับความร้อนที่ 1400 °K จุด WC มีส่วนผสมมีส่วนผสมทั้งสแตน (W) 25% โคนอลต์ 75% คาร์บอน 35% รับอุณหภูมิที่ 1400 °K จุด W₂C ทั้งสแตน (W) 20% โคนอลต์ 80% คาร์บอน (C) 60% เมื่อรับอุณหภูมิที่ 1400 °K และจุด CoW₂C มีทั้งสแตน (W) 30% โคนอลต์ 70% และ คาร์บอน (C) 70% เมื่อได้รับอุณหภูมิที่ 1400 °K

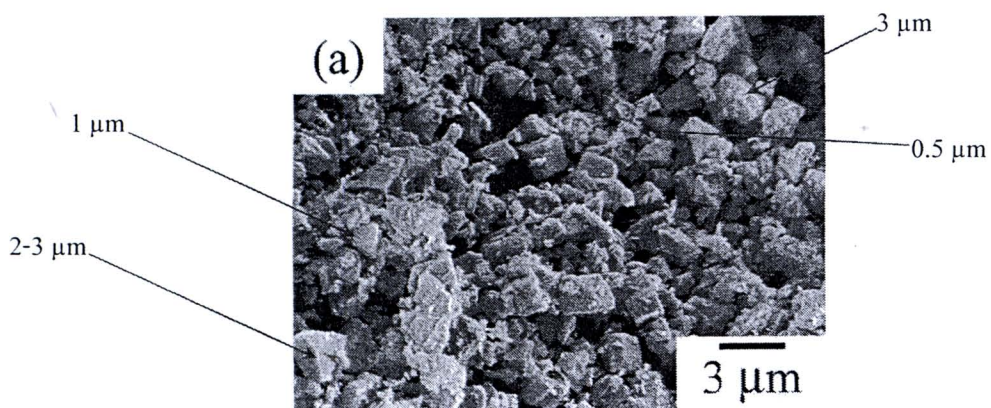
3.1.1.2 ลักษณะรูปร่างโลหะผงทั้งสetenคาร์ไบด์

การตรวจลักษณะของโลหะผงทั้งสetenคาร์ไบด์ เพื่อการตรวจสอบสมบัติโลหะผง เป็นการทดสอบเพื่อวิเคราะห์สมบัติ คุณภาพที่เหมาะสมสำหรับการนำไปใช้งานขึ้นรูปเป็นโลหะแข็งต่อไป



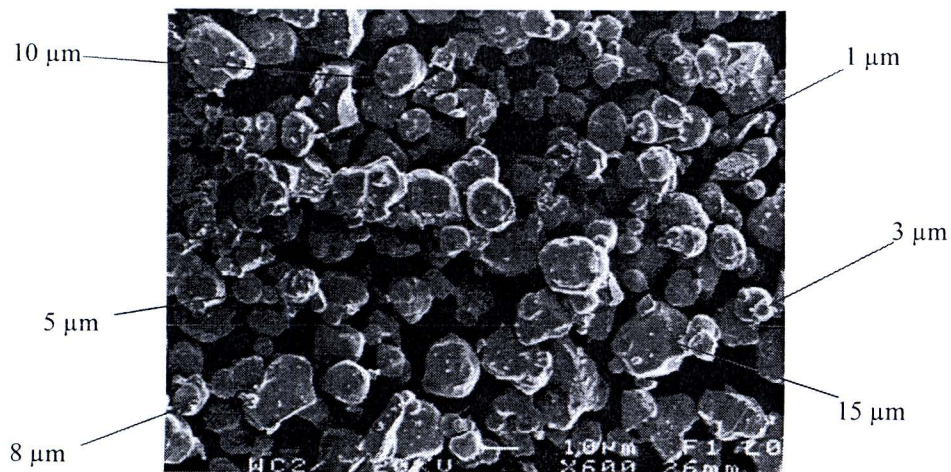
รูปที่ 3.4 Virginal WC powder [26]

จากรูปที่ 3.4 ผลการตรวจสอบตัวอย่างผงทั้งสetenคาร์ไบด์ ปรากฏว่าโลหะผงขนาดไม่เกิน 5 μm ขนาดเล็กสุดประมาณ 0.1-1.0 μm โลหะผงขนาดใหญ่สุดประมาณ 3 μm เมื่อพิจารณาแล้ว ส่วนใหญ่มีขนาดอยู่ระหว่าง 2-3 μm



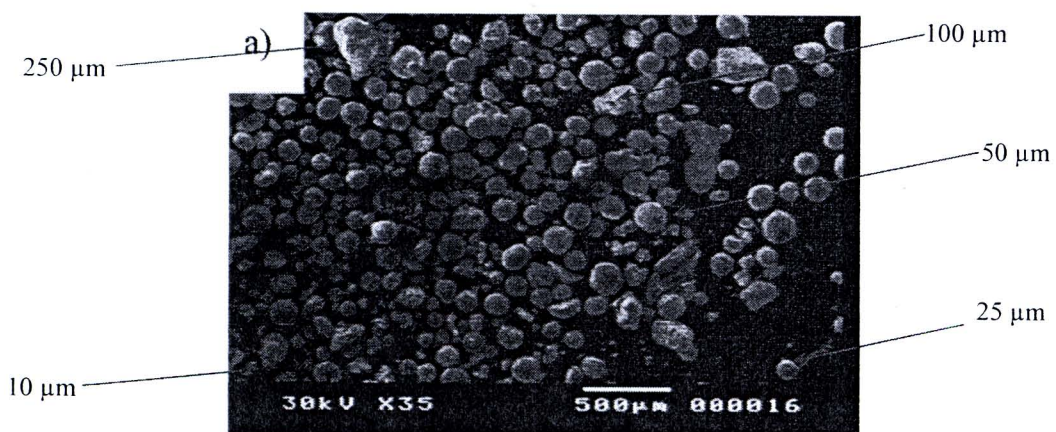
รูปที่ 3.5 Appearances of the recovered and virginal WC powders Recovered WC powder [26]

จากรูปที่ 3.5 ผลการตรวจสอบตัวอย่าง SEM ของหั่งสเตนคาร์ไบด์ (WC) ปรากฏว่า โลหะผงขนาดใหญ่ประมาณ $3 \mu\text{m}$ โลหะผงขนาดเล็กประมาณ $0.2\text{-}0.5 \mu\text{m}$ และ โลหะผงส่วนใหญ่มีขนาดประมาณ $1\text{-}2.5 \mu\text{m}$



รูปที่ 3.6 SEM-image of a WC powder with rounded particles 600x [27]

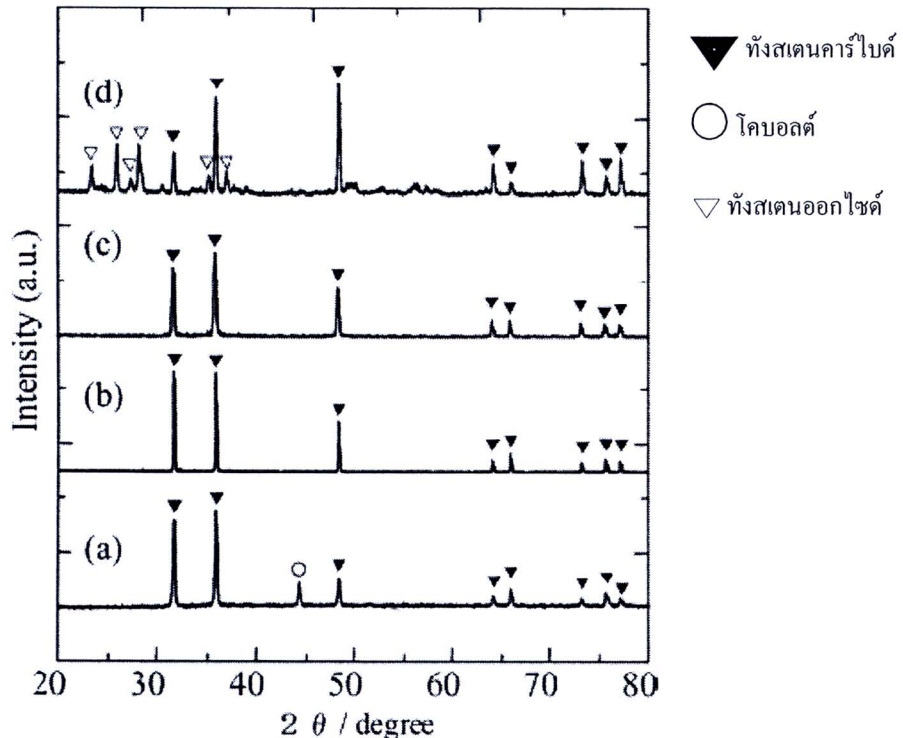
จากรูปที่ 3.6 ผลการตรวจสอบ SEM ของหั่งสเตนคาร์ไบด์ที่กำลังขยาย 600 เท่า ปรากฏว่า ลักษณะ โลหะผงค่อนข้างกลมขนาดเล็กสุดประมาณ $1\text{-}3 \mu\text{m}$ ขนาดใหญ่ประมาณ $15 \mu\text{m}$ เมื่อพิจารณาโดยรวมแล้ว โลหะผงมีขนาดอยู่ระหว่าง $3\text{-}10 \mu\text{m}$



รูปที่ 3.7 SEM graphs of (a) pure WC powder [28]

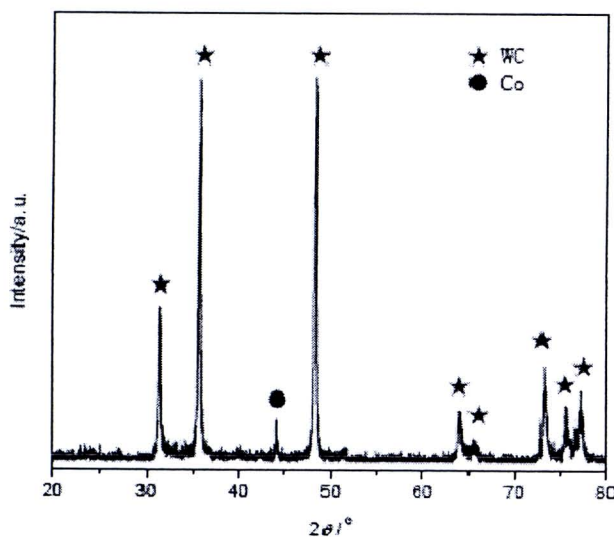
จากรูปที่ 3.7 แสดงผลการตรวจสอบตัวอย่าง SEM ของโลหะพงทั้งสเตนคาร์บอนด์ที่กำลังขยาย 35 เท่า ปรากฏว่า โลหะพงขนาดเล็กสุดประมาณ $10 \mu\text{m}$ ขนาดใหญ่ประมาณ $250 \mu\text{m}$ โดยรวมแล้วโลหะพงมีขนาดอยู่ระหว่าง $10-50 \mu\text{m}$ ลักษณะโลหะพงเป็นรูปทรงกลม

3.1.1.3 ชนิดและสารประกอบทั้งสเตนคาร์บอนด์จากการวิเคราะห์



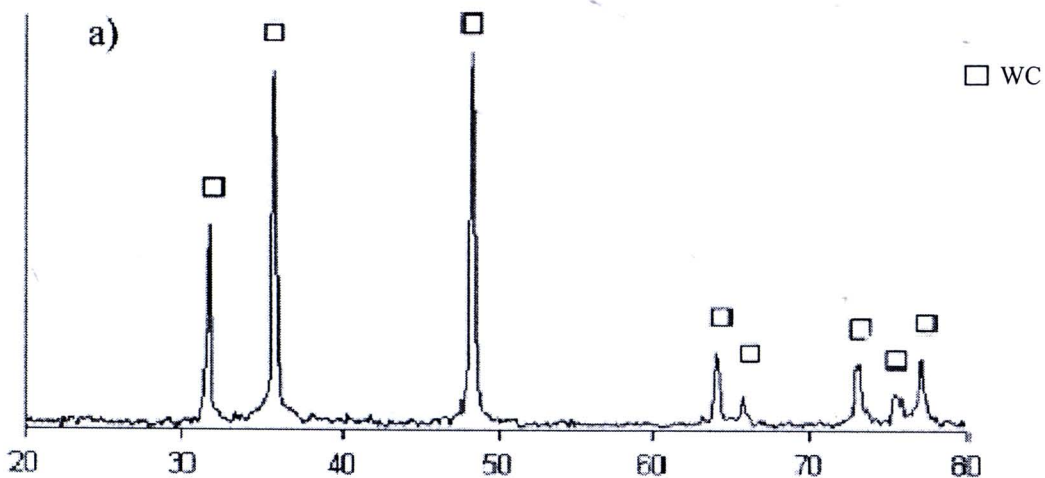
รูปที่ 3.8 แสดงการตรวจสอบองค์ประกอบธาตุของสารละลายที่ผ่านกระบวนการแยกสลายโดยสารละลายกรดที่ อุณหภูมิ 110°C เวลา 24 ชั่วโมง ความเข้มข้นสารละลาย 1 N [26]

จากรูปที่ 3.8 แสดงผลการตรวจสอบ XRD โลหะพงทั้งสเตนคาร์บอนด์พบว่าที่ (a) ธาตุหลักที่พบคือ ทั้งสเตนคาร์บอนด์และมีโคนอลต์ผสมเล็กน้อย ที่ (b),(c) องค์ประกอบธาตุหลักเป็นทั้งสเตนคาร์บอนด์ 100% ไม่พบการเจือปนของธาตุอื่น และที่ (d) ธาตุที่พบส่วนใหญ่ปรากฏว่าเป็นทั้งสเตนคาร์บอนด์และมีทั้งสเตโนอกไซด์ผสมอยู่เล็กน้อย



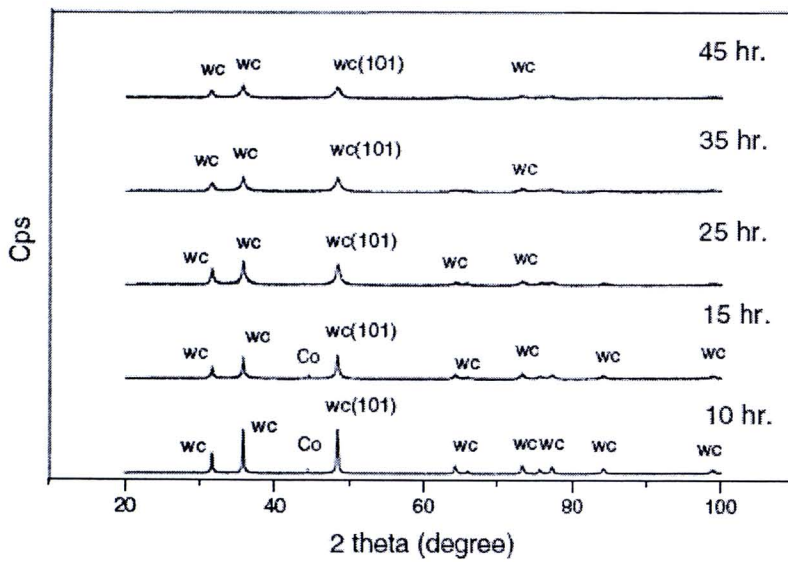
รูปที่ 3.9 XRD pattern of WC-Co powder. [29]

จากรูปที่ 3.9 แสดงผลการตรวจ XRD โลหะผง WC-Co จากการพิจารณาพบว่าตัวอย่างทดสอบมีทั้งสเตนเป็นองค์ประกอบหลักกว่า 90% และมีโคบล็อกสมประมาณ 10%



รูปที่ 3.10 The XRD spectra of the powders of: (a) pure [28]

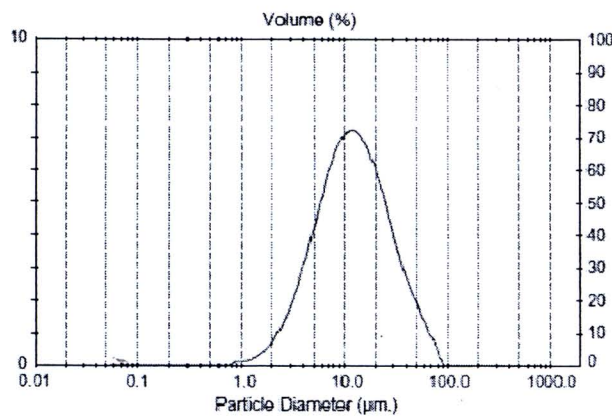
จากรูปที่ 3.10 เป็นผลการตรวจสอบ XRD พบร่วมกับตัวอย่างโลหะผงทั้งสเตนการ์ไบด์ไม่มีชาตุอื่นปนมีความบริสุทธิ์ 100%



รูปที่ 3.11 XRD of the La doped WC-Co powder with different ball milling time [30]

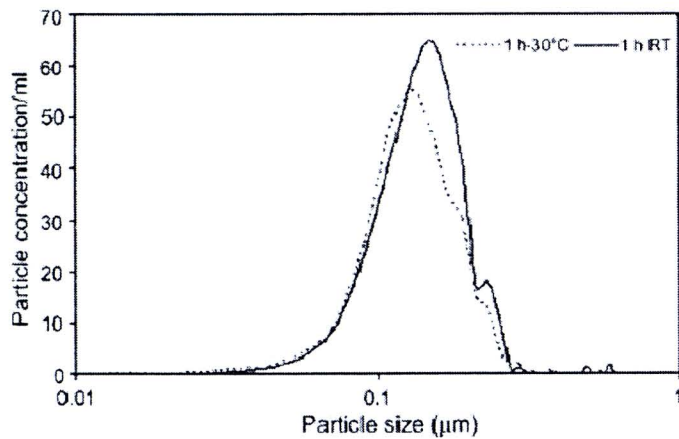
จากรูปที่ 3.11 แสดงผลการตรวจสอบ XRD ของโลหะพง WC-Co ที่ผ่านการบดละเอียดจากการวิเคราะห์พบว่า ที่ 10 -15 hr ตัวอย่างโลหะพงเป็นทั้งสแตนคาร์ไบด์ มีชาตุโคนอลต์ผสมอยู่เล็กน้อยที่มุมประมาณ 45° ที่ช้าลงมา 25 hr โลหะพงที่พูดเป็นทั้งสแตนคาร์ไบด์ 100%

3.1.1.4 ขนาดและการกระจายของอนุภาคโลหะพงทั้งสแตนคาร์ไบด์ (WC powder)



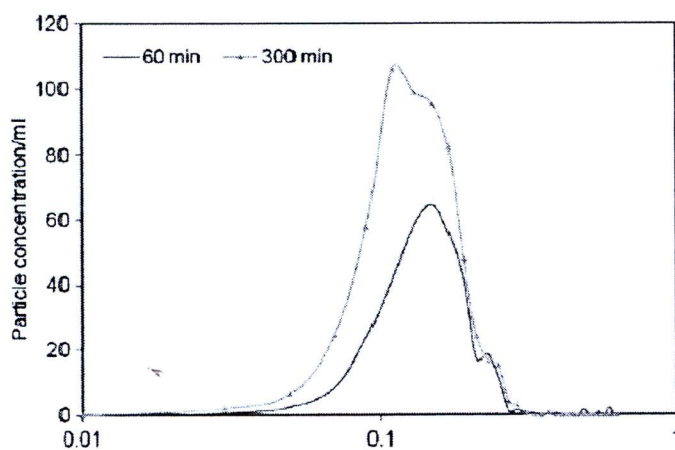
รูปที่ 3.12 การตรวจวิเคราะห์ขนาดและการกระจายโลหะพงทั้งสแตนคาร์ไบด์ [31]

จากรูปที่ 3.11 เป็นผลการตรวจสอบขนาดอนุภาคของโลหะพงทั้งสเตนคาร์บีนด์ จากการวิเคราะห์ขนาดอนุภาคอยู่ระหว่าง $0.8 - 100 \mu\text{m}$ อนุภาคเล็กสุดประมาณ $0.8 \mu\text{m}$ และอนุภาคใหญ่สุดประมาณ $90 \mu\text{m}$



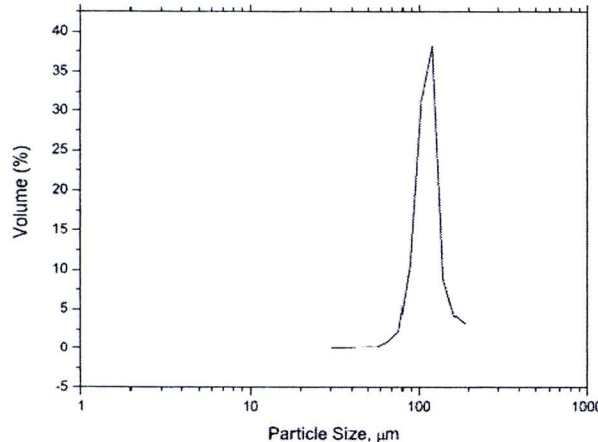
รูปที่ 3.13 Particle size distribution for powders milled at 30°C and RT. [32]

จากรูปที่ 3.13 แสดงผลการตรวจสอบ Particle size distribution ของโลหะพงทั้งสเตนคาร์บีนด์ ที่อุณหภูมิ 30°C จากการวิเคราะห์พบว่า ขนาดอนุภาคอยู่ระหว่าง $0.05 - 0.4$ เล็กสุดประมาณ $0.05 \mu\text{m}$ ขนาดอนุภาคใหญ่สุดประมาณ $0.8 \mu\text{m}$



รูปที่ 3.14 Particle size distribution for powders milled for 60 and 300 min. [33]

จากรูปที่ 3.14 แสดงผลการตรวจ Particle size distribution ของโลหะผงทั้งสetenかれิบค์ ที่ผ่านการบดด้วยเวลา 60 นาทีและ 300 นาที ปรากฏว่าการบด 60 นาที พนอนุภาคเล็กสุดประมาณ $0.05 \mu\text{m}$ ใหญ่สุดประมาณ $0.5\mu\text{m}$ อนุภาคส่วนใหญ่อよดูระหว่าง $0.1 \mu\text{m} - 0.3 \mu\text{m}$ ส่วนการบด 300 นาที ปรากฏว่าอนุภาคเล็กสุดประมาณ $0.03 \mu\text{m}$ ใหญ่สุดประมาณ $0.05 \mu\text{m}$ ซึ่งอนุภาคเฉลี่ยอยู่ประมาณ $0.08 \mu\text{m} - 0.3 \mu\text{m}$

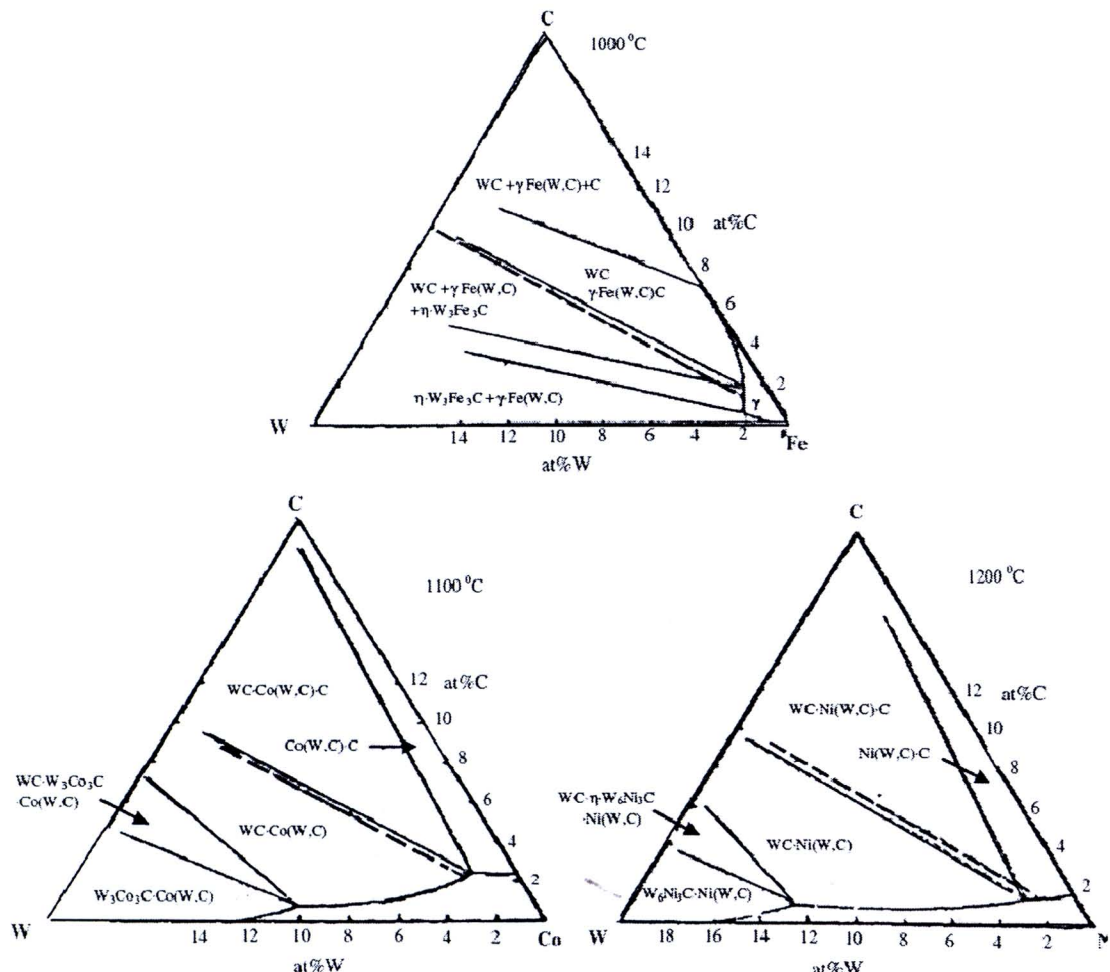


รูปที่ 3.15 Particle size distribution for spherical shaped tungsten carbide powder used in present study. [34]

จากรูปที่ 3.15 แสดงผลการตรวจสอบขนาดของอนุภาคโลหะผงทั้งสetenかれิบค์ ปรากฏว่าอนุภาคเล็กสุดประมาณ $30 \mu\text{m}$ อนุภาคใหญ่สุดประมาณ $200 \mu\text{m}$ เมื่อพิจารณาแล้วพบว่าขนาดอนุภาคส่วนใหญ่อよดูระหว่าง $75 \mu\text{m} - 150 \mu\text{m}$

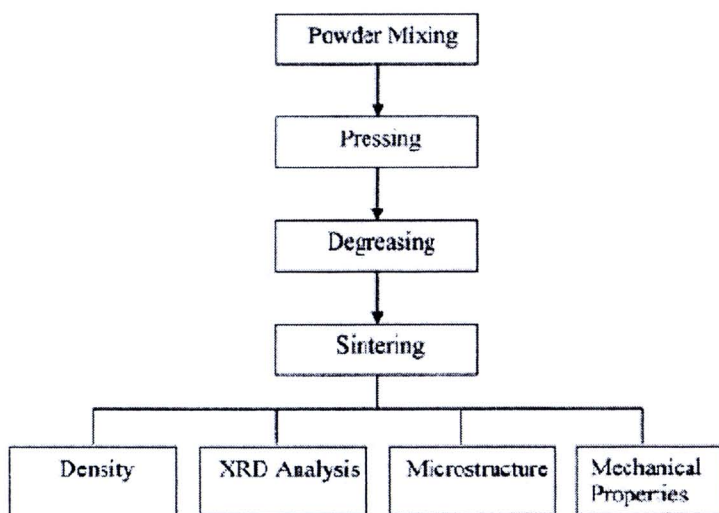
3.1.2 การทดสอบโลหะประสาน

ชิ้นงานซีเมนต์かれิบค์ที่ทดสอบโลหะอื่น เช่น โคลบอลต์ เหล็ก นิกเกิล เพื่อเป็นการปรับปรุงสมบัติค้านการใช้งานให้มีการยึดเหนี่ยวกระหว่างอนุภาคได้ดีขึ้น และจะทำให้มีความแข็งแรงและต้านทานการสึกหรอได้ดี สามารถยึดอายุการใช้งานได้นานขึ้นซึ่งสามารถอธิบายสัดส่วนการทดสอบโลหะประสานต่างๆ ได้ดังนี้



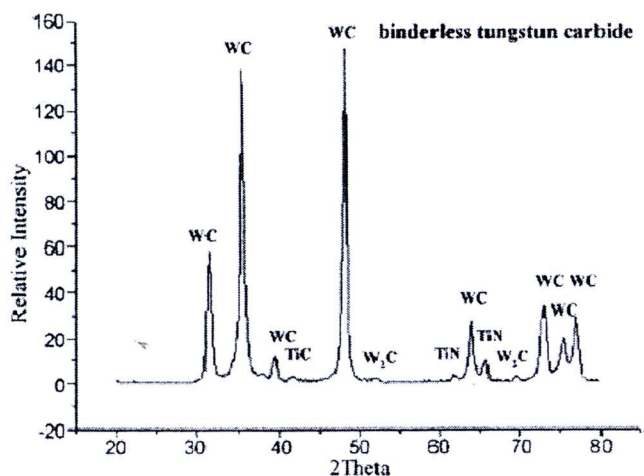
รูปที่ 3.16 Isothermal sections of the binder metal rich corner for the systems: a) W-Fe-C, b) W-Co-C and c) W-Ni-C. The dotted lines represent the theoretical WC-binder metal, compositions [18]

จากรูปที่ 3.16 แสดงเฟสไ/doะแกรนของ W-Fe-C, W-Co-C, และ W-Ni-C ที่ อุณหภูมิ 1000 °C จากจุด WC+γFe(WC)+C พบร>ส่วนผสมมี W ประมาณ 85 % เหล็กประมาณ 3 % และ C อยู่ประมาณ 65 % เมื่อได้รับอุณหภูมิ 1000 °C จุด WC+γFe(WC)C พบร>มีส่วนผสม W ประมาณ 90 % เหล็กประมาณ 2 % และ C อยู่ประมาณ 80 % เมื่อได้รับอุณหภูมิ 1000 °C จุด WC+γFe(W,C)+ηW₃Fe₅C พบร>มีส่วนผสม W ประมาณ 25-80 % เหล็กประมาณ 4 % และ C ประมาณ 50-80 % เมื่อได้รับอุณหภูมิ 1000 °C และที่จุด ηW₃Fe₅C+γFe(W,C)C พบร>มีส่วนผสม W ประมาณ 95 % เหล็กประมาณ 5 %



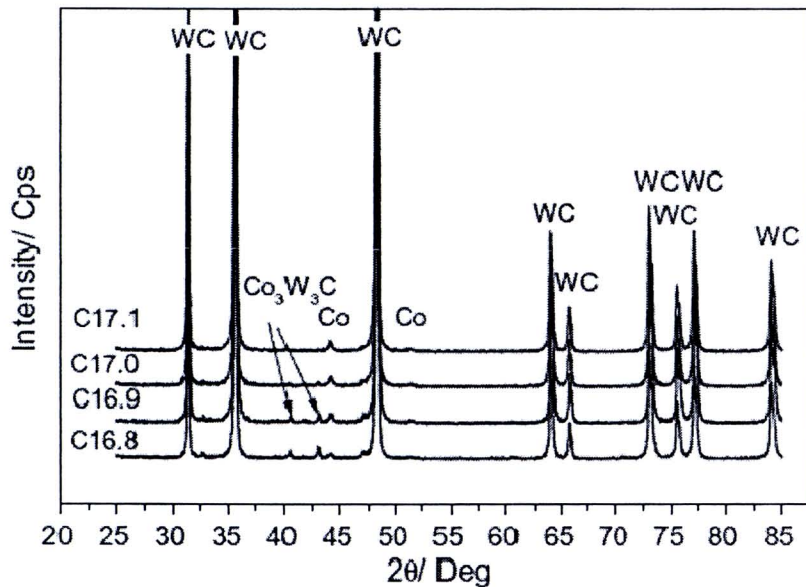
รูปที่ 3.17 The flow chart of experimental procedure. [35]

จากรูปที่ 3.17 แสดงขั้นตอนการผลิตชิ้นงานซีเมนต์คาร์ไบด์ประกอบด้วย การผสมโคลง (Powder Mixing) การอัดขึ้นรูป (Pressing) การปรับปรุงสมบัติ (degreasing) และการอบชิ้นงาน (sintering) หลังจากนั้นเป็นการทดสอบสมบัติชิ้นงานซีเมนต์คาร์ไบด์ ได้แก่ ตรวจสอบความหนาแน่น (Density) การตรวจสอบคุณภาพของชาตุ (XRD Analysis) การทดสอบโครงสร้าง (Microstructure) และขั้นตอนสุดท้ายการทดสอบการใช้งาน



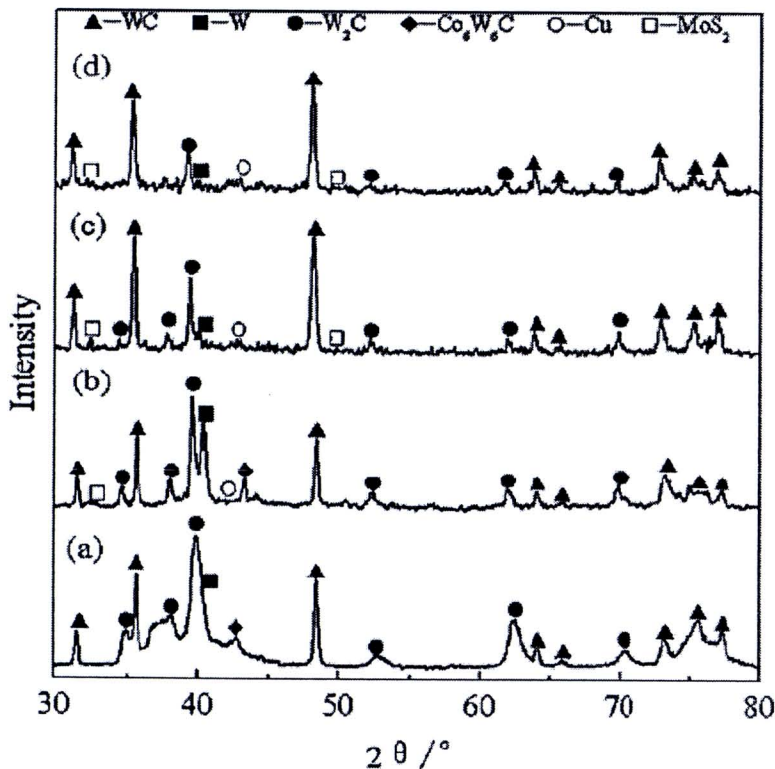
รูปที่ 3.18 X-ray diffraction pattern of sintered specimen [35]

จากรูปที่ 3.18 แสดงผลการตรวจสอบ XRD ของโลหะพังสแตนคาร์ไบด์หลังการอบผนึก ปรากฏว่า พบทังสแตนคาร์ไบด์เป็นองค์ประกอบหลัก ธาตุเงือปันอื่นผสม ได้แก่ TiC, W₂C องศาที่ และ TiN เป็นต้น



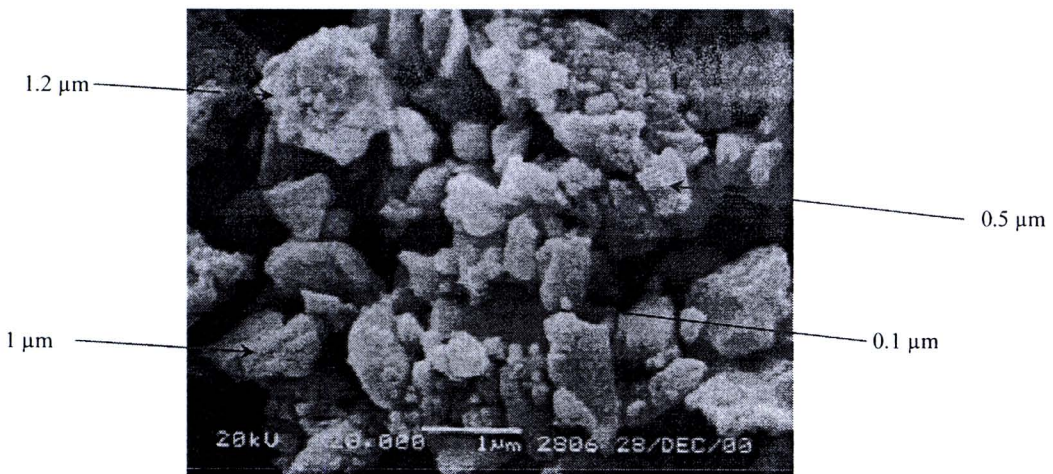
รูปที่ 3.19 XRD analyses on the phase constitution in the different composite powders. [36]

จากรูปที่ 3.19 แสดงผลการตรวจสอบ XRD ของโลหะพังสแตนคาร์ไบด์ที่ผสมแล้ว ปรากฏว่า ตัวอย่าง C16.8, C16.9 เป็นโลหะพังสแตนคาร์ไบด์ (WC) ผสมกับ Co₃W₃C และ Co ตัวอย่าง C17.0, C17.1 ผลการตรวจสอบพบว่าเป็นโลหะพังสแตนคาร์ไบด์ (WC) ผสมกับ ไอโอบอลต์ (Co)



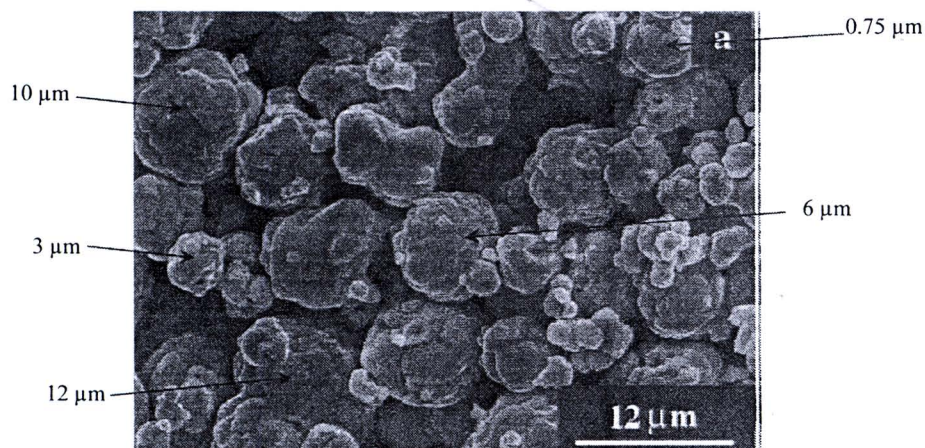
รูปที่ 3.20 XRD patterns for the (a) WC–Co coating; (b) 90W₆C4S coating; (c) 80W12C8S Coating and (d) 70W18C12S coating. [37]

จากรูปที่ 3.20 แสดงผลการตรวจสอบ XRD ผงทั้งสเกตเคนคาร์ไบด์ที่ผ่านการพ่นแบบ plasma spraying พบว่า ที่ (a) เป็นโลหะทั้งสเกตเคนคาร์ไบด์ (WC) ผสมโลหะทั้งสเกตเคน W_2C , ผสม โลหะ (W), และผสมโลหะ Co_2W_6C ที่ (b) เป็นโลหะทั้งสเกตเคนคาร์ไบด์ (WC) ผสมโลหะ W_2C , ผสม โลหะทั้งสเกตเคน (W), ผสมโลหะ (Cu) และ Co_2W_6C ที่ (c) เป็นโลหะทั้งสเกตเคนคาร์ไบด์ (WC) ผสม โลหะ MoS_2 , ผสมโลหะ W_2C , ผสมโลหะ WC , ผสมโลหะ W, และผสมโลหะ Cu ที่ (d) เป็น โลหะทั้งสเกตเคนคาร์ไบด์ (WC) ผสมโลหะ MoS_2 , ผสมโลหะ W_2C , ผสมโลหะ W, และผสมโลหะ Cu เป็นต้น



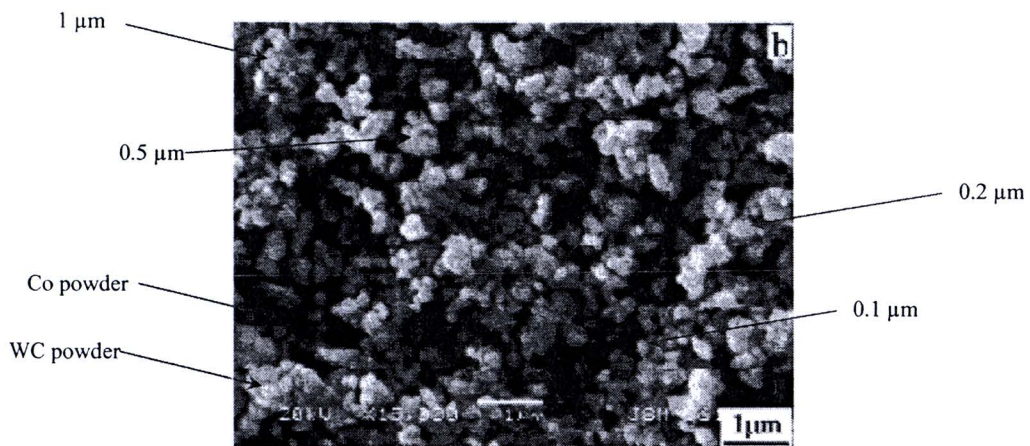
รูปที่ 3.21 SEM of WC-8%Co powder mixture. [38]

จากรูปที่ 3.21 ผลการตรวจสอบ SEM ของผงทั้งสเกตินคาร์บไบด์ผสมโคบล็อกท์ ที่กำลังขยาย 20,000 เท่า ปรากฏว่า ลักษณะโลหะพงขนาดเล็กสุดประมาณ 0.1 μm ขนาดใหญ่ประมาณ 1.2 μm เมื่อพิจารณาโดยรวมแล้ว โลหะพงมีขนาดอยู่ระหว่าง 0.5 - 1 μm



รูปที่ 3.22 (a) And (b) Microstructures of fracture sections of pressed compacts made from coated powders. [18]

จากรูปที่ 3.22 แสดงผลการตรวจสอบ SEM ของผงทั้งสแตนคาร์ไบด์ที่ (a) ลักษณะโลหะผงค่อนข้างกลมขนาดเล็กสุดประมาณ $0.75 \mu\text{m}$ ขนาดใหญ่ประมาณ $12 \mu\text{m}$ พิจารณาโดยรวมแล้วขนาดอยู่ระหว่าง $3-6 \mu\text{m}$



รูปที่ 3.23 SEM photographs of the WC–10%Co nanocomposite powders. [39]

จากรูปที่ 3.23 แสดงผลการตรวจสอบ SEM ของโลหะผง WC- 10% Co ที่กำลังขยาย 13,000 เท่า ขนาดอนุภาคเล็กสุดประมาณ $0.1 \mu\text{m}$ ใหญ่สุดประมาณ $1 \mu\text{m}$ พิจารณาโดยรวมขนาดอนุภาคอยู่ระหว่าง $0.2-0.5 \mu\text{m}$

3.1.2.1 ชนิดโลหะผงทั้งสแตนคาร์ไบด์ที่ผสมความมាតรฐาน

จากการศึกษาโลหะผงทั้งสแตนคาร์ไบด์น้ำหนักจากการศึกษาและรวบรวมข้อมูลจากผงทั้งสแตนคาร์ไบด์มา ขอยกตัวอย่างดังนี้

1) พงทั้งสแตนคาร์ไบด์ (Thermal spray powders DIN EN 1274)

ตารางที่ 3.1 ชนิดและสมบัติของพงทั้งสแตนคาร์ไบด์ [61]

ผลิตผล	องค์ประกอบของพง	สมบัติและการประยุกต์ใช้งาน
DURMAT101	88 WC / 12 Co	สำหรับงานที่ใช้เปลาไฟในการพ่นสูงความแข็ง ~1200 HV
DURMAT102	88 WC /17 Co	สำหรับงานที่ใช้เปลาไฟในการพ่นสูงแต่มีค่า Co สูงความแข็ง ~1100 HV
DURMAT103	88 WC /12 Ni	มีความหนาต่อด้านการกัดกร่อนในสารละลายได้ดีความแข็ง ~1000 HV
DURMAT104	88 WC /17 Ni	มีความหนาต่อด้านการกัดกร่อนในสารละลายได้ดีแต่มีค่า Ni สูง ความแข็ง ~950 HV
DURMAT105	88 WC /10 Co /4 Cr	มีการต่อด้านสูงจากปฏิกิริยาเคมีที่เกิดจากการรวมตัวของออกซิเจน กับสารอื่นทnakการกัดกร่อนในสารละลายความแข็ง 1000-1300 HV
DURMAT106	88 WC /6 Co /8 Cr	มีการต่อด้านสูงจากปฏิกิริยาเคมีที่เกิดจากการรวมตัวของออกซิเจน กับสารอื่นทnakการกัดกร่อนในสารละลายแต่มีค่า Cr สูงความแข็ง 1000-1300 HV
DURMAT107	3.9-4.0 C/ W bal	เป็นส่วนผสมของอัลลอย มีจุดเหยือกแข็งต่ำความแข็ง >2200 HV

จากตารางที่ 3.1 แสดงชนิดและสมบัติพงทั้งสแตนคาร์ไบด์ ประกอบด้วย

DURMAT101-102: มีส่วนผสมทั้งสแตนคาร์ไบด์ 88 % โดยอัลต์ 12 -17 % เหมาะสำหรับงานที่ใช้ความร้อนสูง มีความแข็งประมาณ 1,100 – 1,200 HV

DURMAT103-104: มีส่วนผสมทั้งสแตนคาร์ไบด์ 88 % นิกเกิล 12 -17 % เหมาะสำหรับงานที่ต้องการความด้านทานการกัดกร่อนในสารละลายมีความประมาณ 950 - 1,000 HV

DURMAT105-106: มีส่วนผสมทั้งสแตนคาร์ไบด์ 88 % นิกเกิล 6 – 10 % และ โคลเมียม 4 – 8 % เหมาะสำหรับงานที่ต้องการความด้านทานการกัดปฏิกิริยาเคมีจากการรวมตัวของออกซิเจน มีความแข็งประมาณ 1,000 -1,300 HV เป็นดัน

2) ผงทั้งสตุนคาร์ไบด์ของบริษัท Allegheny Technologies, Inc [62]

ตารางที่ 3.2 ชนิดและสมบัติของผงทั้งสตุนคาร์ไบด์

เกรด	การตรวจ วิเคราะห์ความ หนาแน่น (g/cc)					สมบัติ
		Co Wt%	Ni Wt%	TaC-TiC- NbC Wt%	WC Wt%	
GWC-1	14.85	6.0			94.0	วัสดุใช้ในงานกลึงเช่นเหล็กทึม คาร์บอนสูง
GWC-4	14.50	10.0			90.0	วัสดุที่ใช้ในการผลิตโลหะผสม เช่น Ti alloys, W alloys, Mo alloys, Zr alloys, Gray cast iron
GWC-10	14.95	6.0			94.0	วัสดุใช้ในงานเจาะ เช่นการทำเหมือง
GWC-12	14.45	10.0			90.0	ใช้ผลิตเครื่องมือที่ต้องการความ เหนียว
GWC-13	14.85	6.0		0.5	93.5	ใช้เป็นสารประกอบทั่วไปในชิ้นส่วน เครื่องจักรที่ต้องถอดเข้ามาดูดออก รวมถึงในงานกลึงงานเจาะงานกัด
GWC-15	14.40	11.0		0.5	88.5	ใช้ในงาน machining และงานที่ต้อง ² มีการกระแทกแรง

จากตารางที่ 3.2 แสดงชนิดและสมบัติของผงทั้งสตุนคาร์ไบด์ของบริษัท Allegheny Technologies ประกอบด้วยทั้งสตุนเกรด GWC-1, GWC-4, GWC-10, GWC-12 มีความหนาแน่นระหว่าง 14.40 – 14.95 กรัม/ซีซี เปอร์เซ็นต์โคบอลต์ ระหว่าง 6 - 11% มีทั้งสตุนคาร์ไบด์ อยู่ระหว่าง 90 - 94% มีสมบัติการใช้งานด้านงานกลึง การผลิตโลหะผสมสูง ใช้งานการผลิตวัสดุในงานเจาะ เช่นการทำเหมือง ใช้ในการผลิตเครื่องมือที่ต้องการความเหนียว ส่วนเกรด GWC-13 และ GWC-15 มีความหนาแน่น 14.40 – 14.85 กรัม/ซีซี เปอร์เซ็นต์โคบอลต์ ระหว่าง 6 - 11% มีส่วนผสมของแทนทาลัมคาร์ไบด์ ไทเทเนียมคาร์ไบด์ และ ไนโตรบียมคาร์ไบด์ 0.5% มีทั้งสตุนคาร์ไบด์ อยู่ระหว่าง 88 – 93.5% มีสมบัติใช้เป็นสารประกอบในชิ้นส่วนเครื่องจักรรวมถึง งานกลึง งานเจาะ งานกัด ใช้ในงาน machining และงานที่ต้องมีการกระแทกแรง เป็นต้น

ตารางที่ 3.3 ชนิดทั้งสแตนการ์ไบด์ที่ผสมธาตุโลหะ Co, Ni, TaC-TiC- NbC, WC [62]

เกรด	การตรวจ วิเคราะห์ ความ หนาแน่น (g/cc)	การวิเคราะห์ส่วนผสมทางเคมี				สมบัติ
		Co Wt%	Ni Wt%	TaC- TiC-NbC Wt%	WC Wt%	
GWC-50	13.98	15.0			85.0	ใช้ในงานเจียรระใน งานเกี่ยวกับธารณีวิทยา
GWC-52	13.40	20.0		5.0	75.0	ใช้ผลิตวัสดุในโรงงานผลิตลูกปืน
GWC-53	12.95	25.0		5.0	70.0	ใช้ในงานผลิตแม่พิมพ์และเครื่องมือ
GWC-69	12.43	10.0		21.0	69.0	ใช้ผลิตเครื่องมือที่ต้องใช้แรงอัด
GWC-71	12.85	7.0		12.5	80.5	ใช้ผลิตวัสดุที่ต้องรับแรงกระแทก
GWC-73	12.85	11.0		10.0	79.0	ใช้ในการผลิตเครื่องจักรกลหนักกวัสดุที่ต้องรับแรงมีความด้านทานสูง
GWC-75	15.0		6.0		94.0	ผลิตชิ้นส่วนเกี่ยวกับเครื่องยนต์ผลิตหัวน้ำดี
GWC-76	14.50		10.0		90.0	อุดสาಹกรรมอาหารที่ทนทานต่อกรด

จากตารางที่ 3.3 แสดงชนิดของทั้งสแตนการ์ไบด์ที่มีส่วนผสมธาตุต่างๆ เช่น Co, Ni, TiC-Tac- NbC เกรด GWC-50 มีความหนาแน่น 13.98 กรัม/ซีซี มีส่วนผสมโภบล็อก 15% และ 8% ทั้งสแตนการ์ไบด์ หมายสำหรับงานเจียรระใน

เกรด GWC-52 - GWC-73 มีความหนาแน่นอยู่ระหว่าง 12.43 - 13.40% มีส่วนผสมโภบล็อก 7 - 25% มีส่วนผสม แทนทาลัมการ์ไบด์ ไทเทเนียมการ์ไบด์ และ ไนเบียมการ์ไบด์ 5 - 21% ส่วนทั้งสแตนการ์ไบด์ประมาณ 69 - 94% หมายสำหรับงานผลิตลูกปืน งานแม่พิมพ์ การผลิตเครื่องมือที่ต้องการแรงอัด ผลิตวัสดุที่ต้องรับแรงกระแทก ใช้ผลิตเครื่องจักรกลหนัก เป็นต้น

เกรด GWC-75 - GWC-76 มีความหนาแน่นอยู่ระหว่าง 14.5 - 15% มีส่วนผสมนิกเกิล 6 - 10% และมีส่วนผสมทั้งสแตนการ์ไบด์ 90 - 94% หมายสำหรับงานผลิตชิ้นส่วนเกี่ยวกับเครื่องยนต์ ผลิตหัวน้ำดีในอุดสาหกรรมอาหารที่ทนทานต่อกรดกร่อนเป็นต้น

3) การทดสอบทั้งสแตนการ์ไบด์กับ โคงอลต์ของ Betek Progress, Inc [63]

ตารางที่ 3.4 การทดสอบทั้งสแตนการ์ไบด์กับ โคงอลต์

เกรด	ขนาดเกรน (μm)	ปริมาณทั้งสแตนการ์ไบด์ (%)	ปริมาณ โคงอลต์ (%)	ค่าความแข็ง (HV)
B - 10F	3	94.0	6	1,400
B - 10	2.5	90.0	6	1,556
B - 15	4	92.5	7.5	1,245
B - 20	6	90.5	9.5	1,200
B - 25	6	90.0	10	1,160
B - 30	6	89.0	11	1,160
B - 40	6	85.0	15	854

จากตารางที่ 3.4 แสดงสมบัติของโลหะพังทั้งสแตนการ์ไบด์ของบริษัท Betek Progress อธิบายได้ว่า โลหะพังทั้งสแตนการ์ไบด์ ขนาดอนุภาค 2.5 - 6 ไมครอน ส่วนทดสอบทั้งสแตนการ์ไบด์ 85 - 94% และส่วนทดสอบโคงอลต์ ระหว่าง 6 - 15% มีค่าความแข็งระหว่าง 854 - 1,400 HV ถ้า ส่วนทดสอบของโคงอลต์เพิ่มขึ้น และสัดส่วนของทั้งสแตนการ์ไบด์น้อยลงจะทำให้ค่าความแข็งของ ชิ้นงานลดลง

4) โลหะพังทั้งสตีนคาร์บอนบีบีด์ บริษัท Buffalo Tungsten Inc. [63]

ตารางที่ 3.5 ชนิดและสมบัติของโลหะพังทั้งสตีนคาร์บอนบีบีด์

ประเภท	ขนาดเมล็ด (ไมโครน)	ความหนาแน่น (g/in^3)	มาตรฐาน screening ₂
C3	0.60-0.99	20-40	-100 Mash
C5	1.00-1.39	25-50	-100 Mash
C6	1.40-1.99	30-60	-100 Mash
C8	2.00-3.99	35-70	-200 Mash
C10	4.00-5.99	40-80	-200 Mash
C20	6.00-9.99	50-90	-200 Mash

ตารางที่ 3.6 ส่วนผสมของชาตอื่นๆ [63]

ชาตุ	max	Typical	ชาตุ	max	Typical
Al	0.003	<0.001	Mo	0.020	0.005
Co	0.005	<0.001	Na	0.010	0.005
Cr	0.020	0.005	Ni	0.020	0.005
Cu	0.005	<0.001	Si	0.002	<0.001
Fe	0.020	0.002	Sn	0.002	<0.001

5) ราคาจำหน่ายโลหะผงทั้งสตูนคาร์บไบด์

ตารางที่ 3.7 ราคาจำหน่ายทั้งสตูนคาร์บไบด์และโคงอลต์ [64]

รายการ	ขนาด	น้ำหนัก	ผู้ผลิต/ยี่ห้อ		
			LLC/kg		Inc/ราคา
Tungsten Carbide Powder	1 μm		\$/kg	฿/kg	
		500 g	87.80	2,985.2	-
		1 kg	139.30	4,736.2	-
		2 kg	98.25	3,340	-
		5 kg	77.60	2,638.4	-
		10 kg	68.50	2,329	-

ตาราง 3.8 ราคาจำหน่ายโคงอลต์ [64]

รายการ	ขนาด	น้ำหนัก	ผู้ผลิต/ยี่ห้อ		
			LLC/kg		Feilan Non-Ferrous Metal / ราคา
Cobalt Powder	1.5 μm		\$/kg	฿/kg	\$/kg
		200 g	89.70	3,139.5	88.70
		500 g	142.50	4,845	140.50
		1 kg	228.60	7,772.4	226.60
		2 kg	281.40	9,567.6	270.40
		5 kg	372.50	12,665	370.50
		10 kg	462.20	15,714.8	460.20
					15,646.8

ตารางที่ 3.9 ราคาจำหน่ายโลหะพงทั้งสต็อกไวร์ในด้ ในการตลาดประเทศไทยของ (23 พ.ย. 2010) [65]

ผลิตภัณฑ์	(RMB / กก.)	(฿/กก.)	ใบบริเวณ	ผลิตภัณฑ์
ทั้งสต็อกไวร์ ผง $2-10 \mu\text{m}$	268-270	1,315.88-1,325.7	จูโจว	268-270
	272-275	1,335.52-1,350.25	Zigong	272-275
	268-270	1,315.88-1,325.7	Chongyi	268-270
	268-270	1,335.52-1,350.25	Ganzhou	268-270

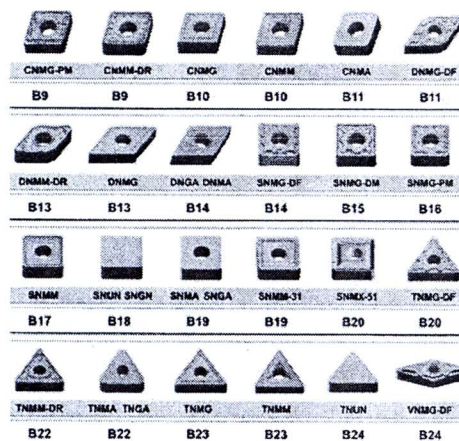
ตารางที่ 3.10 ราคาจำหน่ายโลหะพงทั้งสต็อกไวร์ในด้ บริษัท Inframet advanced material LLC [64]

รหัส	สภาพ	\$/กก	฿/กก
74R - 0601	WC 99.9% + APS <1	<u>\$ 149.30</u>	4,484.7
74R - 0602	WC 99.95% + APS 1-1.5 μm	<u>\$ 142.60</u>	4,320.78
74R - 0603	WC 99.9% + APS 2-6 μm	<u>\$ 149.30</u>	4,484.7
74R - 0605	WC 99.9% + APS 10-15 μm	<u>\$ 149.30</u>	4,484.7
74R - 0606	WC 99.9% + APS 15-25 μm	<u>\$ 149.30</u>	4,484.7
74N - 0601	WC 99.95% + 40-70 นาโนเมตร	<u>\$ 249.00</u>	7,544.7
74N - 062705	WC/5Co ผง, 99.9%, 40-80 nm	<u>\$ 385.00</u>	11,665.5
74N - 062715	WC/15Co ผง, 99.9%, 40-80 nm	<u>\$ 385.00</u>	11,665.5

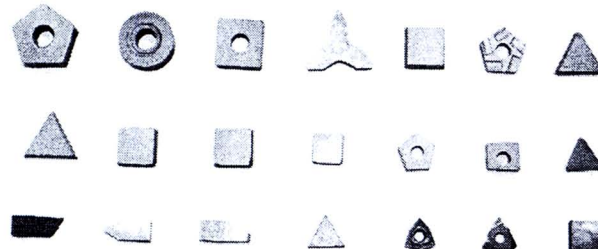


3.1.3 ลักษณะแผ่นเม็ดซีเมนต์คาร์บิด

ในปัจจุบันนี้ วัสดุในกลุ่มของ ทั้งสแตนการ์ไบด์ (WC) เป็นที่นิยมในอุตสาหกรรม การตัดเนื่อง ซึ่งสามารถทนทานต่อการสึกหรอได้ดีและมีการผลิตเป็นรูปทรงต่างๆ เพื่อความ เหมาะสมด้านการใช้งานด้านงานกลึงปอกและแผ่นเม็ดที่มีความเหมาะสมคือ รูปทรงสี่เหลี่ยมจัตุรัส หรือเรียกว่าทรง S



รูปที่ 3.24 รูปทรงต่างๆ ของเม็ดมีด WC ก่อนการใช้งาน (เคลือบผิวด้วย Titanium Nitride) [66]



รูปที่ 3.25 รูปทรงต่างๆ ของเม็ดมีด WC ก่อนการใช้งาน (เคลือบผิวด้วย Titanium Carbide) [67]

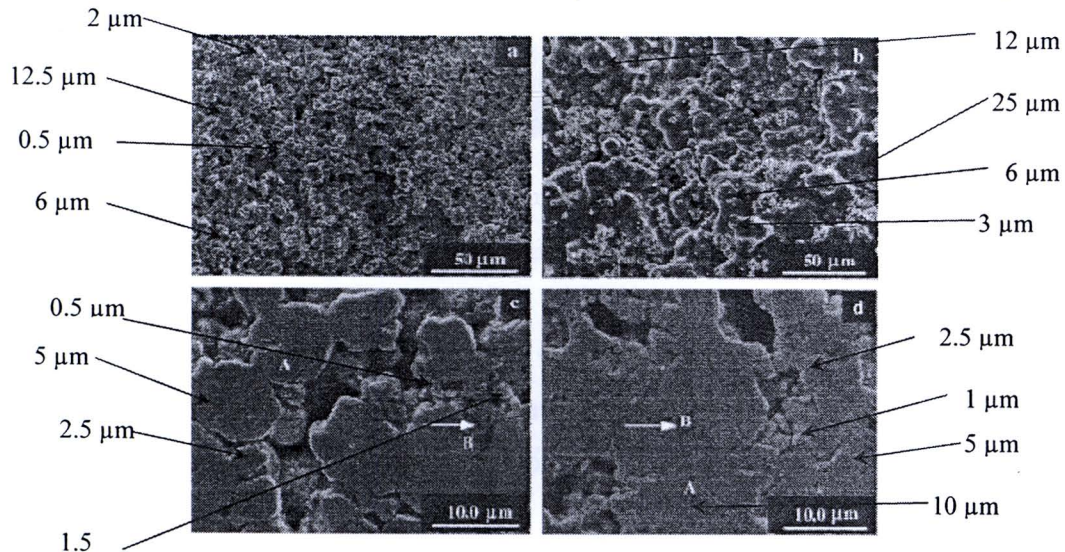
ตารางที่ 3.11 แสดงขนาดรูปทรงทางเรขาคณิตแผ่นมีดกลึงปอก [68], [69]

INSERT	รหัสแผ่นมีด (ISO)	ขนาดแผ่นมีด A mm.	รัศมีคอมตั้ด r (mm.)	ความหนา แผ่นมีด T (mm.)	ขนาดรูปทรง กลาง d (mm.)
SANDVIK	SNMG 120408	12.7	0.8	4.76	5.16
MITSUMISHI	SNMG 120408	12.7	0.8	4.76	5.16

- 1) S หมายถึง ลักษณะรูปทรงของแผ่นมีดที่มีลักษณะสี่เหลี่ยมนูน (90)
- 2) N หมายถึง มุมหลบ (ReliefAngle) ของแผ่นมีดเท่ากับ 0 องศา
- 3) M หมายถึง ระยะเพื่อ (Tolerance) มีดังนี้คือความหนา (Thickness) ± 0.13 , นูนปลายมี (ConnerHeight + 0.08 + 0.18, I.C.Size $\pm 0.05 \pm 0.15$)
- 4) G หมายถึง มีรูตรงกลางมีดและมีนูนหักเศษใช้งานได้ทั้งสองด้าน (Hole and Chip Breaker Symbol)
- 5) 12 หมายถึง ขนาดความกว้าง (EdgeLengthSymbol) และความยาวของแผ่นมีดขนาด 12.7 mm.
- 6) 04 หมายถึง ความหนาของมีดขนาด 4.76 mm
- 7) 08 หมายถึง รัศมีโค้งปลายมีด 0.8 mm

3.1.3.1 สมบัติชีนงานซีเมนต์คาร์ไบด์

1) การตรวจสอบคุณภาพล้องจุลทรรศน์อิเล็กตรอนแบบสแกนนิ่ง (SEM)



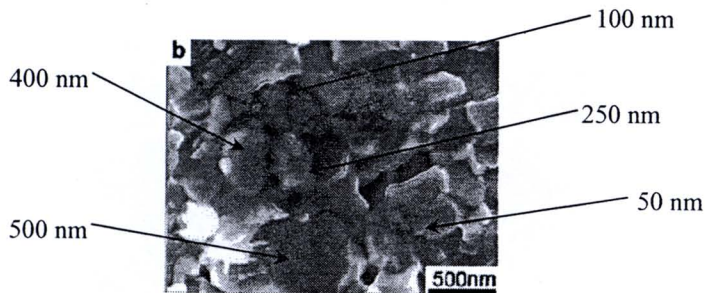
รูปที่ 3.26 Microstructures of sintered C-WC₂ compacts. Fracture sections at (a) 1080 °C and (b) 1200 °C; polished sections at (c) 1200 °C and (d) 1260 °C. [40]

จากรูปที่ 3.26 แสดงผลการตรวจสอบ SEM ของซีเมนต์คาร์ไบด์ C-WC₂ (a) ชีนงานซีเมนต์คาร์ไบด์ อบพนักที่อุณหภูมิ 1080 °C ปรากฏว่า ขนาดอนุภาคเล็กสุดประมาณ 0.5 μm ใหญ่สุดประมาณ 12.5 μm พิจารณาโดยรวมอนุภาคอยู่ระหว่าง 2-6 μm

(b) ชีนงานซีเมนต์คาร์ไบด์ อบพนักที่อุณหภูมิ 1200 °C ขนาดอนุภาคเล็กสุดประมาณ 3 μm ใหญ่สุดประมาณ 25 μm พิจารณาโดยรวมอนุภาคอยู่ระหว่าง 6-12 μm

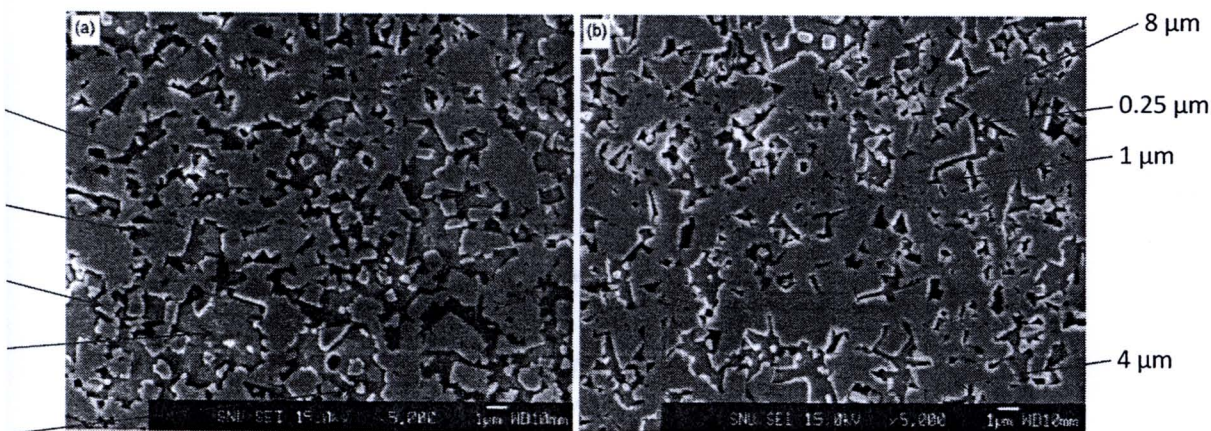
(c) ชีนงานซีเมนต์คาร์ไบด์ อบพนักที่อุณหภูมิ 1200 °C ขนาดอนุภาคเล็กสุดประมาณ 0.5 μm ใหญ่สุดประมาณ 5 μm พิจารณาโดยรวมอนุภาคอยู่ระหว่าง 1.5-2.5 μm

(d) ชีนงานซีเมนต์คาร์ไบด์ อบพนักที่อุณหภูมิ 1260 °C ขนาดอนุภาคเล็กสุดประมาณ 1 μm ใหญ่สุดประมาณ 10 μm พิจารณาโดยรวมอนุภาคอยู่ระหว่าง 2.5-5 μm



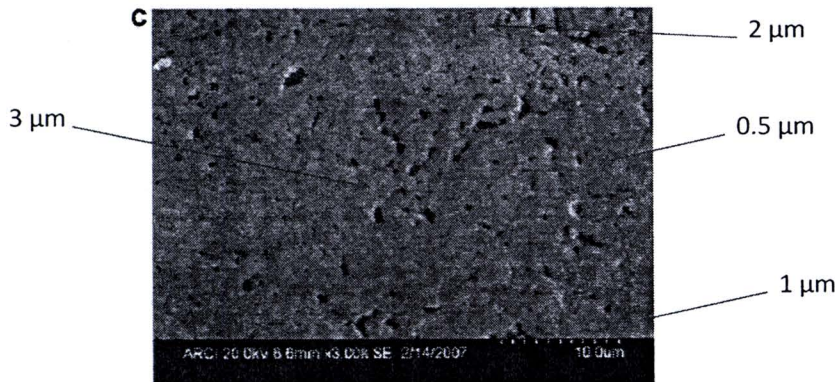
รูปที่ 3.27 SEM images of WC powder (40–70 nm) consolidated at different temperatures. (b)
Sintered at 1500 °C with different magnifications; [41]

จากรูปที่ 2.27 แสดงการตรวจสอบ SEM ชิ้นงานซีเม็นต์คาร์บไนด์หลังการอบผนึกที่ อุณหภูมิ 1500 °C จากการพิจารณาปรากฏว่า (b) ขนาดอนุภาคเล็กสุดประมาณ 1 μm ใหญ่สุดประมาณ 10 μm พิจารณาโดยรวมอนุภาคอยู่ระหว่าง 2.5–5 μm



รูปที่ 3.28 SEM images of WC–10Co sintered at 1450 °C with disc-type pallet compacted under the pressures: (a) 200 MPa, (b) 300 MPa, for comparison the pallet. [42]

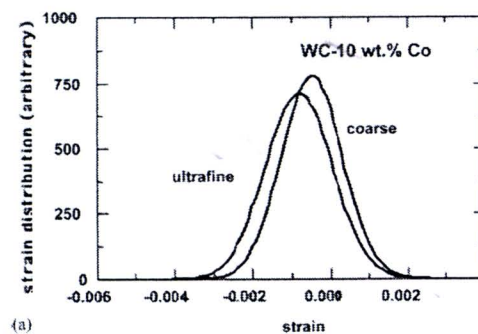
จากรูป 3.28 แสดงผลการตรวจสอบ SEM ชิ้นงาน disc-type pallet ส่วนผสม 10%Co sintering ที่อุณหภูมิ 1450 °C จากการพิจารณาปรากฏว่า (a) ที่ความดัน 200 MPa ขนาดเกรนเล็กสุดประมาณ 0.25 μm ใหญ่สุดประมาณ 10 μm พิจารณาโดยรวมแล้วขนาดเกรโนยาระหว่าง 1–5 μm (b) ที่ความดัน 300 MPa ขนาดเกรนเล็กสุดประมาณ 0.25 μm ใหญ่สุดประมาณ 8 μm พิจารณาโดยรวมแล้วขนาดเกรโนยาระหว่าง 1–4 μm



รูปที่ 3.29 SEM images of microwave sintered nanocrystalline powders processed at different temperature set points, (c) 1450 °C [43]

จากรูปที่ 3.29 แสดงผลการตรวจสอบ SEM ชิ้นงานซีเมนต์คาร์ไบด์ที่อุณหภูมิ 1450 °C ขนาดกรณเล็กสุดประมาณ 0.5 μm ใหญ่สุดประมาณ 3 μm โดยรวมขนาดกรณอยู่ระหว่าง 1-2 μm

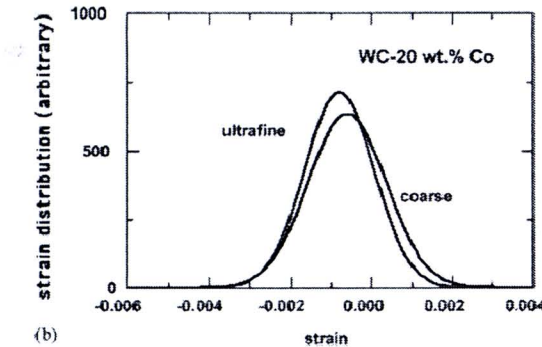
2) ความเครียด (Strain)



รูปที่ 3.30 Stress distribution in WC calculated assuming stresses are entirely due to the deviatoric strain component for the coarse and ultrafine particles in WC-10 wt. % [44]

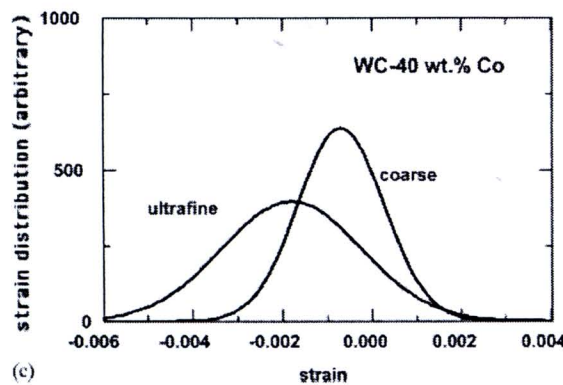
จากรูปที่ 3.30 แสดงความเครียดของชิ้นงานซีเมนต์คาร์ไบด์ที่ส่วนผสม WC-10 wt. % Co ระดับการตรวจสอบ ultrafine พบว่ามีความเครียด (strain) อยู่ระหว่าง -0.0025 ถึง 0.002 มีค่า strain

distribution ประมาณ 690 Mpa ระดับ coarse พบร่วมกับ strain อยู่ระหว่าง -0.003 ถึง 0.002 และค่า strain distribution ประมาณ 760 Mpa



รูปที่ 3.31 Stress distribution in WC calculated assuming stresses are entirely due to the deviatoric strain component for the coarse and ultrafine particles in WC-20 wt.% Co [44]

จากรูปที่ 3.31 แสดงความเครียดของชิ้นงานซีเมนต์คาร์ไบด์ ที่ส่วนผสม WC-20 wt. % Co ที่ระดับการตรวจสอบ ultrafine พบร่วมกับ strain อยู่ระหว่าง -0.0025 ถึง 0.002 มีค่า strain distribution ประมาณ 730 Mpa ระดับ coarse พบร่วมกับ strain อยู่ระหว่าง -0.0025 ถึง 0.0023 และค่า strain distribution ประมาณ 650 Mpa



รูปที่ 3.32 Stress distribution in WC calculated assuming stresses are entirely due to the deviatoric strain component for the coarse and Ultrafine particles in WC-40% wt. % Co. [44]

จากรูปที่ 3.32 แสดงความเครียดของชิ้นงานซีเมนต์คาร์ไบด์ที่ส่วนผสม WC-40 wt.% Co ที่ระดับการตรวจสอบ ultrafine พบร้ามี strain อุ่ระหว่าง -0.006 ถึง 0.0022 มีค่า strain distribution ประมาณ 400 Mpa ระดับ coarse พบร้ามี strain อุ่ระหว่าง -0.003 ถึง 0.0022 และค่า strain distribution ประมาณ 650 Mpa

ตารางที่ 3.12 Sintering results obtained in compacts with different binder contents and sintered for 173 min at selected temperatures [40]

sample	อัตราส่วนโคนออลต์ (%)	ความหนาแน่นก่อนอบผนึก (g/cm ³)	Temperature (°C)	Density (g/cm ³)	Weight loss (%)
M-WC	6.5	8.7	1160	9.7	1.8
		8.6	1200	11.8	2.1
		8.6	1325	13.2	3.0
C-WC1	5.2	8.0	1200	10.4	0.8
C-WC2	5.7	8.1	1160	8.9	0.5
		8.2	1200	11.4	1.0
		8.2	1325	12.1	3.7
C-WC3	6.7	8.1	1200	12.1	1.2
		7.7	1325	13.5	4.6
C-WC5	10.0	7.8	1160	8.6	1.0
		7.7	1200	13.2	2.1
		7.8	1325	14.3	7.4

จากตารางที่ 3.12 แสดงผลการตรวจสอบสมบัติชิ้นงานซีเมนต์คาร์ไบด์ที่ผ่านการอบผนึก จากการพิจารณาปรากฏว่า

ชิ้นงาน M-WC อัตราส่วนผสม โคนอลต์ 6.5% ความหนาแน่นก่อนอบพนักอยู่ระหว่าง $8.6 - 8.7 \text{ g/cm}^3$ อบพนักที่อุณหภูมิระหว่าง $1160 - 1325^\circ\text{C}$ มีความหนาแน่นหลังอบพนักอยู่ระหว่าง $9.7 - 13.2 \text{ g/cm}^3$ น้ำหนักที่สูญเสีย $1.8 - 3.0\%$

ชิ้นงาน C-WC1 อัตราส่วนผสม โคนอลต์ 5.2% ความหนาแน่นก่อนอบพนัก 8.0 g/cm^3 อบพนักที่อุณหภูมิ 1200°C C มีความหนาแน่นหลังอบพนัก 10.4 g/cm^3 น้ำหนักที่สูญเสีย 0.8%

ชิ้นงาน C-WC2 อัตราส่วนผสม โคนอลต์ 6.7% ความหนาแน่นก่อนอบพนักอยู่ระหว่าง $7.7 - 8.1 \text{ g/cm}^3$ อบพนักที่อุณหภูมิระหว่าง $1200 - 1325^\circ\text{C}$ ความหนาแน่นหลังอบพนักอยู่ระหว่าง $8.9 - 12.1 \text{ g/cm}^3$ น้ำหนักที่สูญเสีย $0.5 - 3.7\%$

ชิ้นงาน C-WC3 อัตราส่วนผสม โคนอลต์ 5.7% ความหนาแน่นก่อนอบพนักอยู่ระหว่าง $8.1 - 8.2 \text{ g/cm}^3$ อบพนักที่อุณหภูมิระหว่าง $1160 - 1325^\circ\text{C}$ ความหนาแน่นหลังอบพนักอยู่ระหว่าง $12.1 - 13.5 \text{ g/cm}^3$ น้ำหนักที่สูญเสีย $1.2 - 4.6\%$

ชิ้นงาน C-WC5 อัตราส่วนผสม โคนอลต์ 10% ความหนาแน่นก่อนอบพนักอยู่ระหว่าง $7.7 - 7.8 \text{ g/cm}^3$ อบพนักที่อุณหภูมิระหว่าง $1160 - 1325^\circ\text{C}$ ความหนาแน่นหลังอบพนักอยู่ระหว่าง $8.6 - 14.3 \text{ g/cm}^3$ น้ำหนักที่สูญเสีย $1.0 - 7.4\%$

ตารางที่ 3.13 Mechanical properties of WC–10Co powders sintered at 1450°C [42]

Compacting pressure (MPa)	Hardness, H_{v20} (GPa)	Density (g/cm^3)
200	12.42	12.35(81.7%)
300	13.01	12.28(81.2%)
400	13.38	12.52(82.8%)
500	13.66	13.03(86.2%)
CIP (300)	12.03	14.00(92.6%)

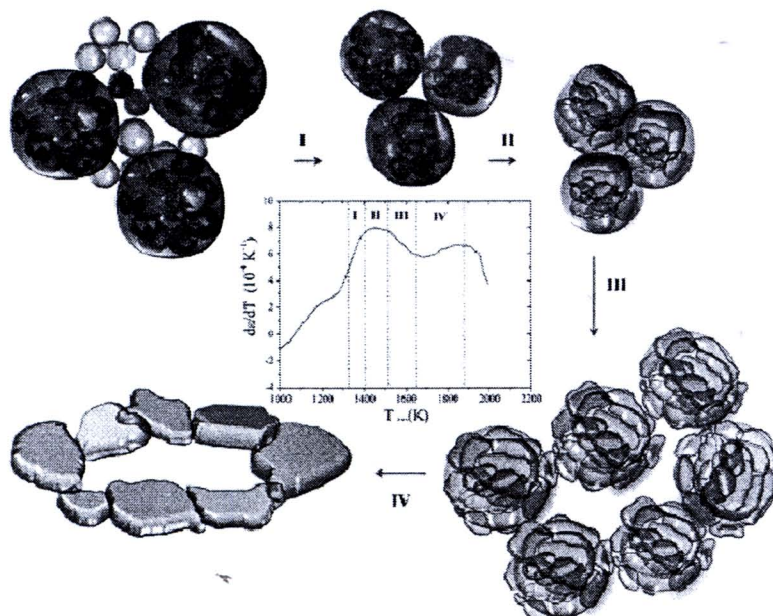
จากตารางที่ 3.13 แสดงผลการตรวจสอบชิ้นงานซีเมนต์คาร์ไบด์อัตราส่วนผสมโคนอลต์ 10% อบพนักที่อุณหภูมิ 1450°C ปรากฏว่า ที่ความดัน 200 MPa มีความแข็ง $12.42 \text{ H}_{v20}\text{GPa}$ ความหนาแน่นอยู่ที่ 12.35 g/cm^3 ที่ความดัน 300 MPa มีความแข็ง $13.01 \text{ H}_{v20}\text{GPa}$ มีความหนาแน่นที่ 12.28 g/cm^3 ที่ความดัน 400 MPa มีความแข็งที่ $13.38 \text{ H}_{v20}\text{GPa}$ ความหนาแน่น 12.52 g/cm^3 ที่ความ

ดัน 500 MPa มีความแข็ง 13.66 H_{v20} GPa ความหนาแน่น 13.03 g/cm³ และที่ CIP (300) Mpa มีความแข็งที่ 12.03 H_{v20} GPa ความหนาแน่น 14.0 g/cm³

ตารางที่ 3.14 Comparison of density, hardness and fracture toughness of samples investigated in the present study.[43]

Property	Sample A	Sample B	Sample C	Sample D
Density (g/CC)	14.1	14.5	14.5	14.2
Vickers Hardnessb	1397	1488	1363	1466
Fracture toughness (MPa m ^{-1/2})	13.7	12	13.4	15.1

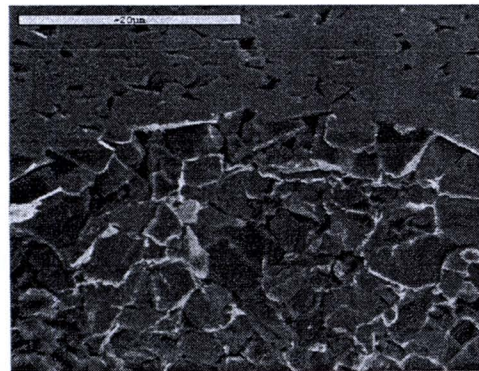
จากตารางที่ 3.14 แสดงผลการตรวจสอบชิ้นงานซึ่งมีน้ำหนักตั้งแต่ 14.1-14.5 g/CC ลดลง 12% จากการพิจารณาพบว่า ชิ้นงานทดสอบตรวจวัด Density ได้ระหว่าง 14.1-14.5 g/CC ค่าความแข็งอยู่ระหว่าง 1397 Hv-1488Hv และตรวจวัดค่าความต้านทานการแตกหัก (Fracture toughness) อยู่ระหว่าง 12-15.1 MPa



รูปที่ 3.33 Schematic of the sintering mechanism of n-WC on the basis of the experimental shrinkage strain rate in a CRH experiment. [45]

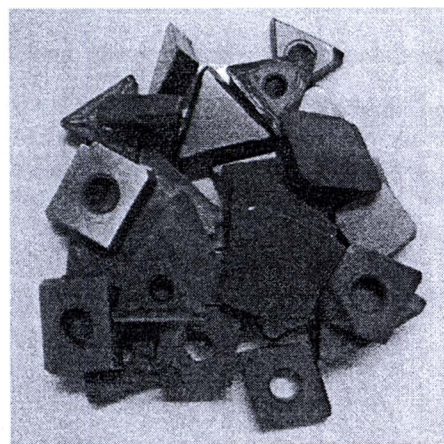
จากรูปที่ 3.33 แสดงกลไกการการอบผนังของ n-WC จากเส้นกราฟแสดงความสัมพันธ์ระหว่าง 1,000-2,200 Temperature...(K) กับ $-4 - 10 \frac{dE}{dT} (10^{-4} K^{-1})$ อธิบายได้ดังนี้ ที่ I อุณหภูมิประมาณ 1,300 - 1,400 (K) อัตราการเพิ่มความเครียดประมาณ $5-7.9 (10^{-4} K^{-1})$ ที่ II อุณหภูมิประมาณ 1,400 - 1,500 (K) อัตราการเพิ่มความเครียดประมาณ $7.9-8 (10^{-4} K^{-1})$ ที่ III อุณหภูมิประมาณ 1,500 -1,650 (K) อัตราการเพิ่มความเครียดประมาณ $7.9 -5 (10^{-4} K^{-1})$ และที่ IV อุณหภูมิประมาณ 1,650 - 1,880 (K) อัตราการเพิ่มความเครียดประมาณ $5-6 (10^{-4} K^{-1})$

2) การสูญเสียโคนอลต์ของชิ้นงานซีเมนต์คาร์ไบด์

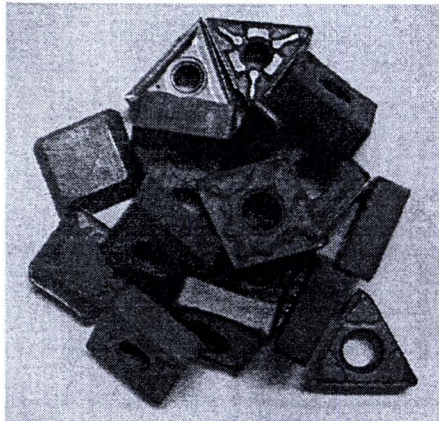


รูปที่ 3.34 แสดงการสูญเสียโคนอลต์ของซีเมนต์ทั้งส่วนการไบค์ [71]

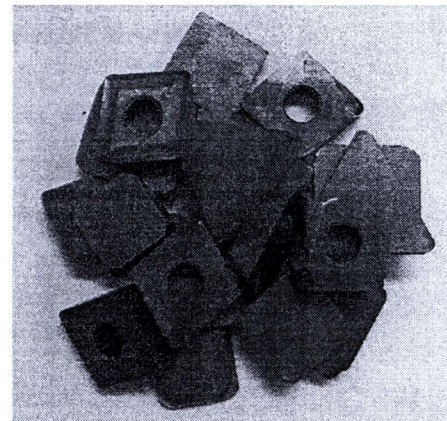
3.1.3.2 การเลือกเศษแผ่นมีดซีเมนต์ไบค์



รูปที่ 3.35 เศษแผ่นมีดที่ผ่านการใช้งานแล้ว



รูปที่ 3.36 เศษแผ่นมีดเคลือบด้วย Titanium Nitride

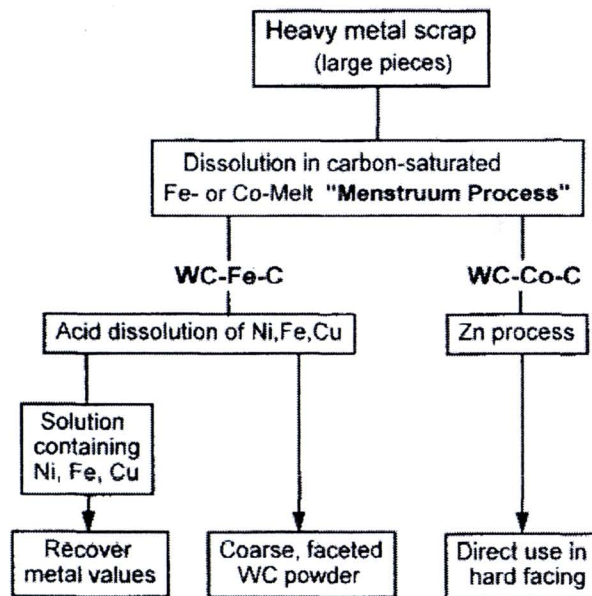


รูปที่ 3.37 เศษแผ่นมีดเคลือบด้วย Titanium Carbide

จากรูปที่ 3.36 – 3.37 สามารถอธิบายได้ดังนี้ หลังจากแผ่นมีดผ่านการใช้งานแล้วและเกิดการสึกหรอ เช่น ปลายคมตัดบิน เกิดรอยร้าวแตก ไม่สามารถที่จะใช้งานต่อไปได้และกลายเป็นเศษแผ่นมีดได้ทำการแยกแผ่นมีดออกเป็น 2 ชิ้นคือ เศษมีดที่เคลือบด้วย Titanium Nitride และ เศษมีดที่เคลือบด้วย Titanium Carbide ซึ่งเป็นเศษมีดที่สามารถสามารถนำไปผ่านกระบวนการแยกสลายต่อไปได้ แต่เศษมีดที่เคลือบด้วย Titanium Nitride หากจะนำไปทำการแยกสลายควรจะทำการกำจัดสารเคลือบออกก่อนเพื่อให้โลหะพังที่ผ่านการแยกสลายทั้งสเดนคาร์ไบด์ มีอื่นเจือปนอยู่ที่สุด

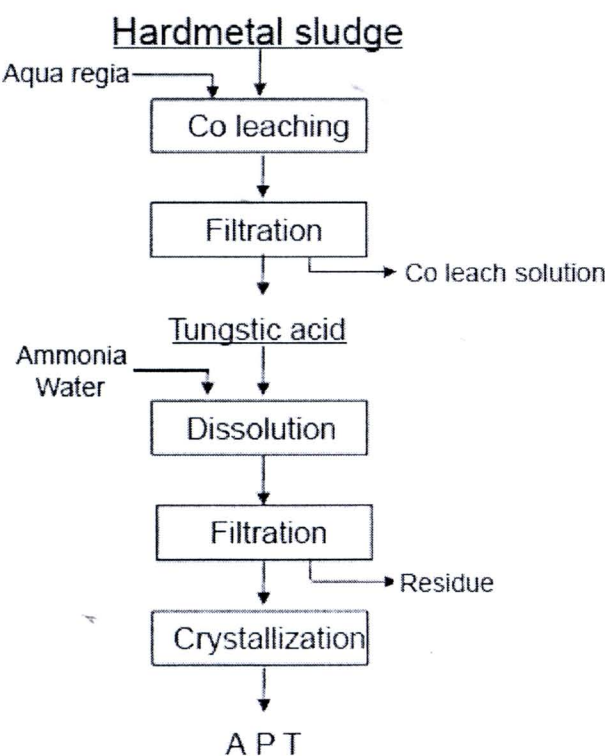
3.1.4 การแยกโคนอลต์จากทั้งสเดนคาร์ไบด์

การนำวัสดุทั้งสเดนคาร์ไบด์ที่ผ่านการใช้งานแล้วกลับมาใช้ใหม่ มีกระบวนการแยก 4 วิธี ได้แก่ Hydrometallurgy, Melting, Direct recycling และ Semi directs recycling ในการทดลองนี้ เป็นการศึกษาแนวทางการนำกลับมาใช้ใหม่โดยวิธี Hydrometallurgy ซึ่งเลือกใช้การแยกด้วยเคมีไฟฟ้า (Electrolysis)



၂၁၃.၃၈ Sankaran Venkateswaran, Wolf-Dieter Schubert & Benno Lux W-Scrap

Recycling by the Melt Bath Technique [46]

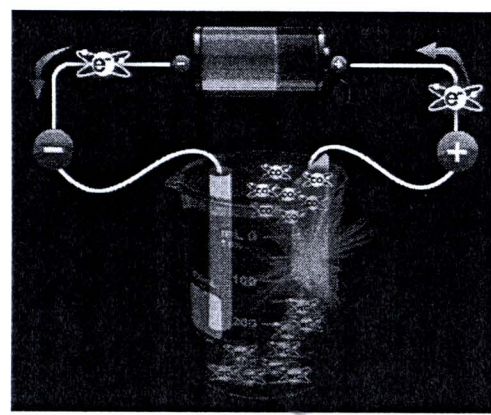


၂၁၃.၃၉ Scheme for the processing of WC-Co hard metal sludge. [47]

กรรมวิธีแบบ Hydrometallurgy โดยใช้เคมีไฟฟ้า (Electrolysis) แต่ในการปฏิศึกษานี้เราจะใช้กรดไฮโดรคลอริก (HCl) เป็นตัวลายโดยมีอุปกรณ์จ่ายแรงดันไฟฟ้า และจ่ายกระแสไฟฟ้าผ่านสารละลายน้ำที่กำหนดเปรียบเทียบแรงดัน และกระแสไฟฟ้าที่ต่างกัน

1) การแยกสลายด้วยไฟฟ้า (Electrolysis) แบบพื้นฐาน

การแยกสลายด้วยไฟฟ้าเป็นคำที่ใช้อธิบายปฏิกริยาเคมีที่เกิดขึ้น เมื่อผ่านกระแสไฟฟ้าเข้าไปในของเหลวที่มีไออ่อนอยู่ โลหะและกราไฟต์จะนำกระแสไฟฟ้า เพราะอิเล็กตรอนบางตัวมีอิสระที่จะเคลื่อนที่ผ่านพลังแม่เหล็กและทิช แต่สารประกอบไฮอ่อนิก ที่หลอมเหลว หรือสารประกอบที่แตกตัวเป็นไฮอ่อนในสารละลายน้ำ นำไฟฟ้าได้โดยการเคลื่อนที่ของไฮอ่อน

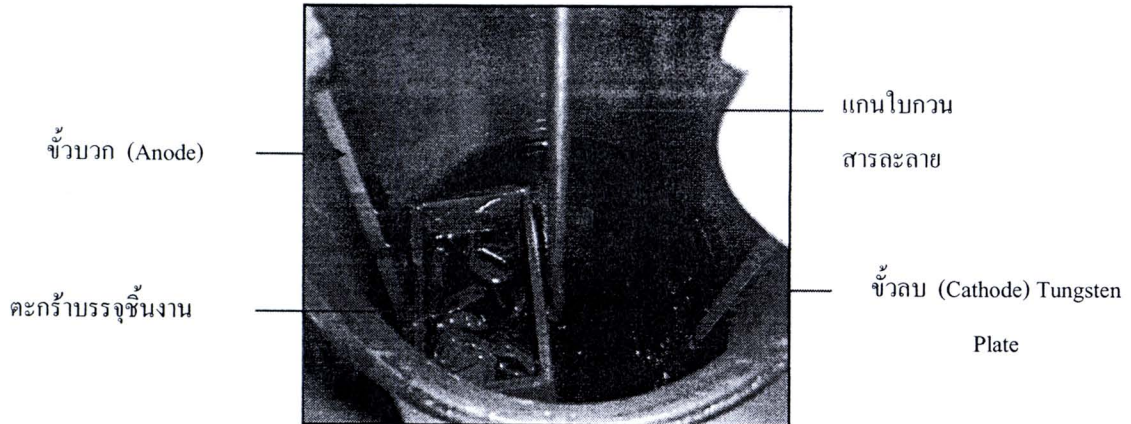


รูปที่ 3.40 รูปจำลองการกัดกร่อนชั้นงานคร่าวค์ด้วยระบบเคมีไฟฟ้า

จากรูปที่ 3.40 อธิบายถึงหลักการ เสียอิเล็กตรอนและรับอิเล็กตรอนโดยมีแหล่งหลังงานไฟฟ้าคือ แบตเตอรี่ ขั้นบวก (Anode) ต่อเข้ากับโลหะที่ต้องการให้ถูกกัดกร่อน ขั้นลบต่อ (Cathode) เข้ากับเซลล์ไฟฟ้าที่ใช้งานอย่าง ขั้นบวกจะสูญเสียอิเล็กตรอนและขั้นลบจะรับอิเล็กตรอน

2) กระบวนการ Electrolysis จากอุปกรณ์ในห้องปฏิบัติการเป็นการศึกษาการหลักแยกสลายเศษซีเมนต์ทั้งส坚韧การใบในขั้นพื้นฐาน ได้ทำการออกแบบการทดลองและประยุกต์ใช้อุปกรณ์ในห้องปฏิบัติการเพื่อทำการแยกสลายเศษโลหะซีเมนต์ทั้งส坚韧การใบต์แสดงไว้ดังรูปที่ 3.41

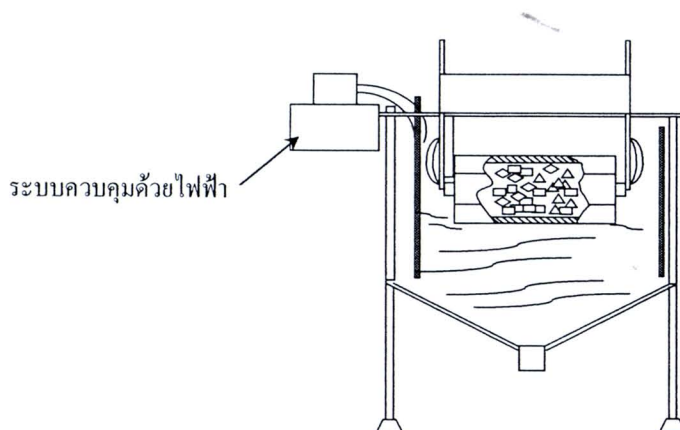




รูปที่ 3.41 การแยกสลายด้วยอุปกรณ์ในห้องปฏิบัติการ

การออกแบบอาศัยข้อมูลพื้นฐานจากการทดลองสลายเศษซีเมนต์ทั้งสเดนคาร์ไบด์ในห้องปฏิบัติการ ด้วยวิธีการทางเคมีไฟฟ้า เศษชิ้นงานจะบรรจุในตะกร้าไทเทเนียม เป็นข้อบาก (Anode) จุ่มในสารละลายน้ำในบิกเกอร์ขนาด 1,000 มิลลิลิตรทำปฏิกิริยาระหว่างขัวลบ (Cathode) และใช้ในกวนสารละลายน้ำรูป 3.41

3) กระบวนการ Electrolysis ด้วยเครื่องแยกสลาย



รูปที่ 3.42 จำลองส่วนต่างๆ ขณะทำการสลายเศษโลหะ [40]

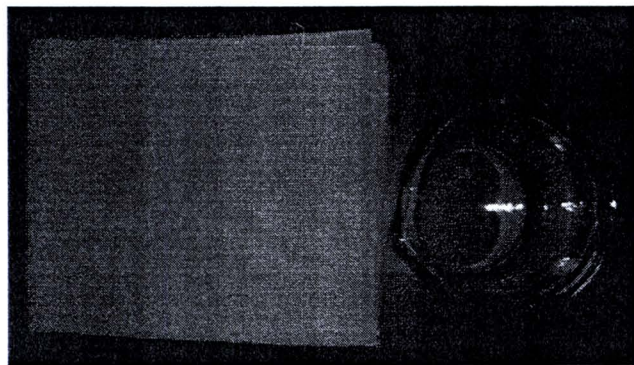
จากรูปที่ 3.42 การออกแบบเครื่องแยกสลายเศษโลหะ มีจุดประสงค์เพื่อจัดสร้างเครื่องและมีประสิทธิภาพในการกัดกร่อนวัสดุโดยมีชุดตันกำลังจะเป็นมอเตอร์ไฟฟ้ากระแสตรง (DC) ขนาด

90 W ความเร็วรอบ 1,400 rpm ส่งกำลังผ่านระบบเพ่องขับโดยปรับความเร็วรอบได้ในช่วง 3-25 รอบ/นาที ใช้มอเตอร์ไฟฟ้ากระแสสลับ (AC) 220 โวลต์ กระแสไฟฟ้าจ่ายเป็นกระแสตรง (DC) ปรับตั้งในช่วง 1 - 24 โวลต์ และเลือกใช้กระแสไฟฟ้าในช่วง 0-50 แอมป์

3.1.5 การเตรียมโลหะผงสำหรับผลิตแผ่นมีด

1) การเตรียมพังทัngสแตนการ์บไบเดค

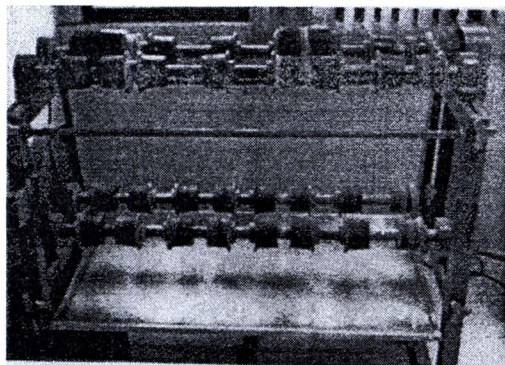
การเตรียมโลหะผงสำหรับผลิตแผ่นมีดมีขั้นตอนการดำเนินการเป็นขั้นตอนมีข้อควรระวังคือการเกิดออกไซซ์ของโลหะผงระหว่างขั้นตอนการเตรียม ซึ่งในขั้นตอนการปฏิบัติแสดงดังรูปที่ 3.43 - 3.47



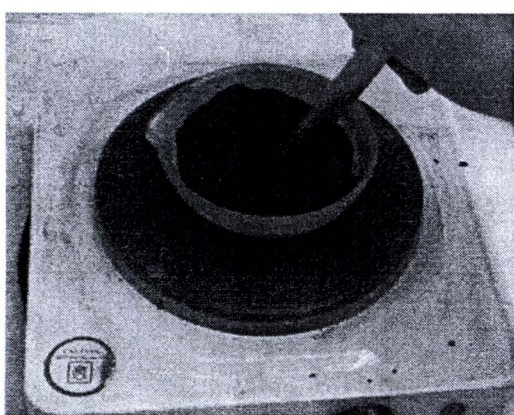
รูปที่ 3.43 เตรียมอุปกรณ์สำหรับการล้างโลหะผง (ผ้าฝ้ายและแอลกอฮอล์)



รูปที่ 3.44 การล้างโลหะผงที่ผ่านกระบวนการแยกสลาย



รูปที่ 3.45 ปรับปรุงคุณภาพโดยวิธีการบด



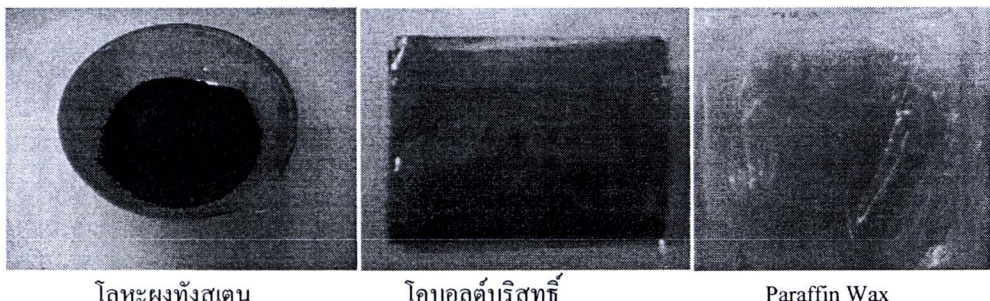
รูปที่ 3.46 การลดความชื้นในโลหะผงโดยตั้งบนเตาไฟฟ้า



รูปที่ 3.47 โลหะผงที่ผ่านกระบวนการรีไซเคิล

จากรูปที่ 3.43– 3.47 แสดงกระบวนการเตรียมโลหะผงที่ผ่านกระบวนการแยกสลายเพื่อนำไปทำการขึ้นรูป เริ่มการนำโลหะผงที่ผ่านการรีไซเคิลมาทำการล้างผ่านผ้าฝ้าย จากนั้นนำไปผ่านการบดเพื่อลดขนาดและเตรียมนำไปผสมโลหะประสานเพื่ออัดขึ้นรูปเป็นแผ่นมีด่อไป

2) การเตรียมโลหะผงสำหรับการนำไปอัดขึ้นรูป

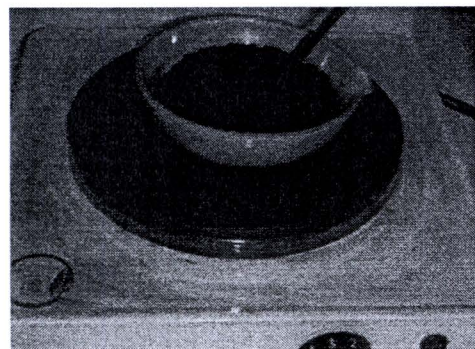


โลหะผงทั้งสเดน

โคงอลต์บิส్టుக్

Paraffin Wax

รูปที่ 3.48 การเตรียมส่วนผสม



รูปที่ 3.49 การผสมโลหะประสาน

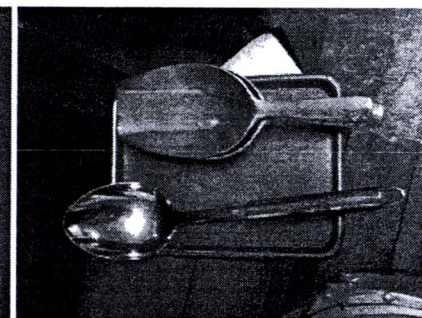
จากรูปที่ 3.48 และ 3.49 เป็นการเตรียมโลหะผงทั้งสเดนคาร์ไบด์ (WC) โลหะประสาน โคงอลต์ (Co) และ สารยึดพาราฟิน (Wax) สำหรับทำการผสมบนเตาไฟฟ้าเพื่อนำไปผลิตเป็นชิ้นงานซีเมนต์การไนค์ เช่น แผ่นมีด เป็นต้น

3.1.6 กระบวนการขึ้นรูปโลหะพง

ขั้นตอนการอัดขึ้นรูปชิ้นงานแผ่นมีดตัด จากโลหะพงทั้งสเตนคาร์บอนที่ผ่านกระบวนการผลิต ตรวจสอบสมบัติ วิเคราะห์ และพสม โลหะประสาน การดำเนินการต่อมาเป็นการอัดขึ้นรูปตามแบบหรือแม่พิมพ์ที่ต้องการ ในการผลิตนี้ เป็นแผ่นมีดตัดคาร์บอนด์ ซึ่งสามารถอธิบายขั้นตอนการผลิตได้ตามรูปดังนี้

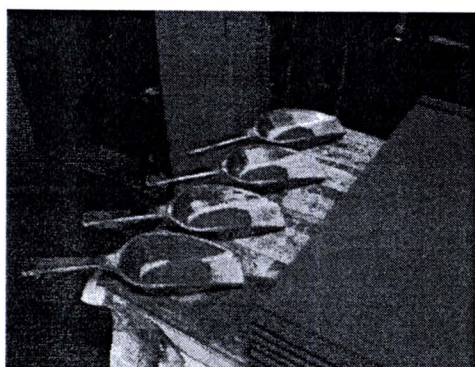


โลหะพงสำหรับอัดขึ้นรูป



อุปกรณ์สำหรับตัวองค์โลหะพง

รูปที่ 3.50 เตรียมอุปกรณ์สำหรับการซั่งตัว



การซั่งตัวโลหะพงสำหรับขึ้นรูป

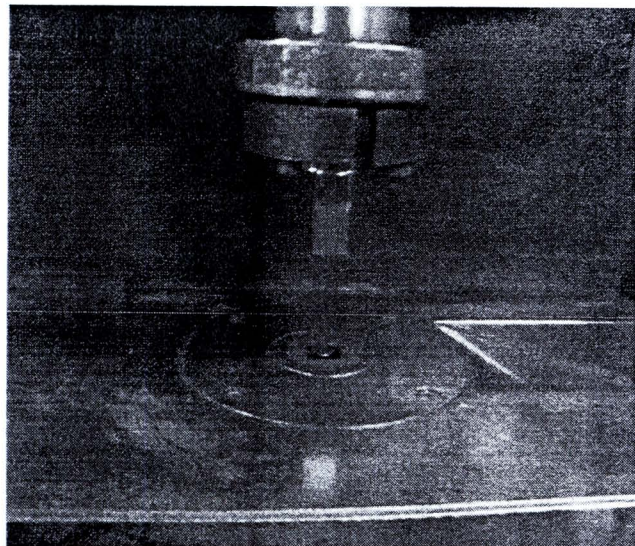


เตรียมแม่พิมพ์สำหรับอัดแผ่นมีด

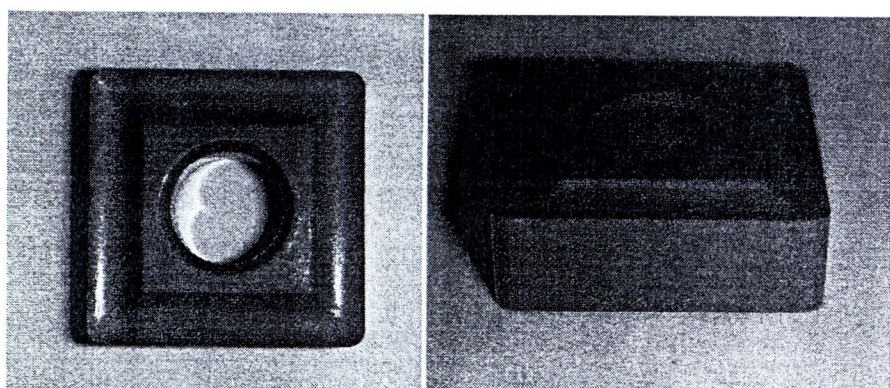
รูปที่ 3.51 การเตรียมโลหะพงและแม่พิมพ์สำหรับอัดขึ้นรูป

จากรูปที่ 3.50 และ 3.51 เป็นการเตรียมเครื่องมืออุปกรณ์สำหรับการขึ้นรูปแผ่นมีด ซึ่งประกอบด้วย โลหะพงสมแล้ว อุปกรณ์ตัวองหรือช้อนตัว เครื่องชั่งน้ำหนัก และแม่พิมพ์สำหรับอัดขึ้นรูปชิ้นงานแผ่นมีด เมื่อเตรียมโลหะพงและอุปกรณ์เรียบร้อยแล้วให้ทำการติดตั้งแม่พิมพ์เข้า

กับเครื่องอัดแล้วทำการอัดขึ้นรูปชิ้นงานตามต้องการ เมื่อเสร็จเรียบร้อยแล้วให้เตรียมไว้สำหรับการนำไปอบผนึกในขั้นตอนต่อไป



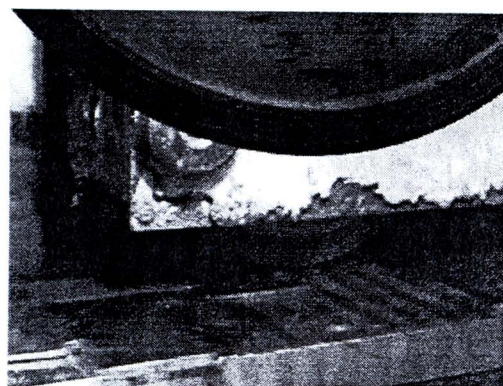
รูปที่ 3.52 การอัดขึ้นรูปชิ้นงานแผ่นมีดด้วยเครื่องอัดไอครอลิกส์



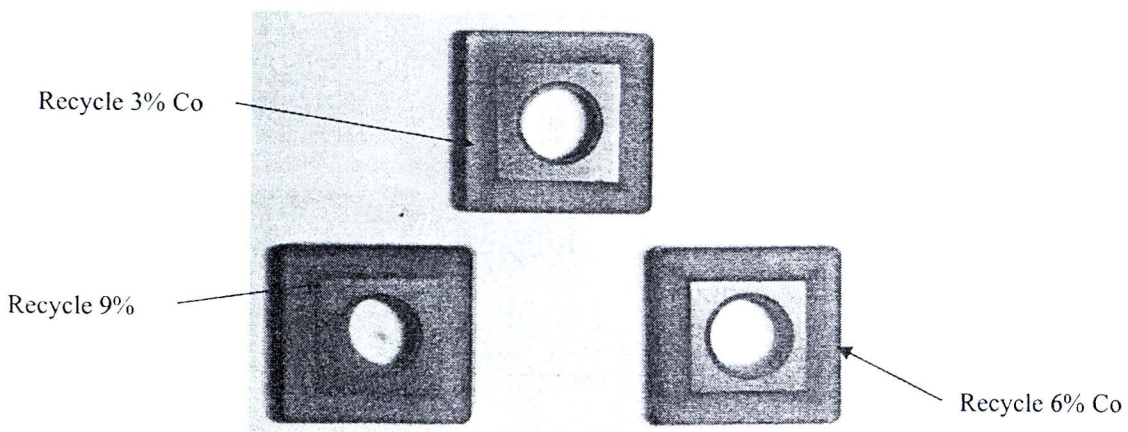
รูปที่ 3.53 ตัวอย่างชิ้นงานแผ่นมีดหลังการอัดขึ้นรูป



รูปที่ 3.54 การอบชิ้นงานแผ่นมีดด้วยเตาสูญญากาศ



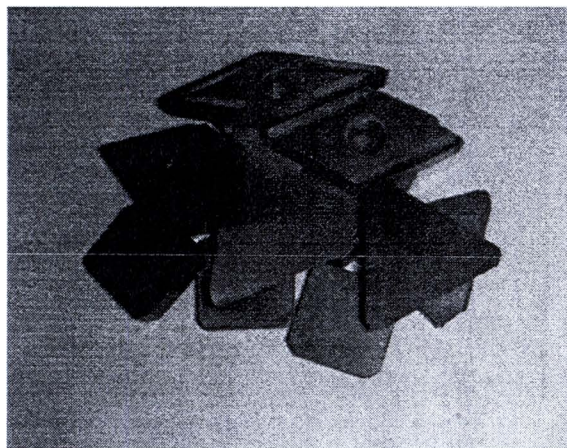
รูปที่ 3.55 การตกลงพิวชันงาน



รูปที่ 3.56 ตัวอย่างชิ้นงานแผ่นมีดที่ผ่านการเจียร์ใน

3.2 ขั้นตอนการผลิตโลหะผงทั้งสเตนคาร์บอน

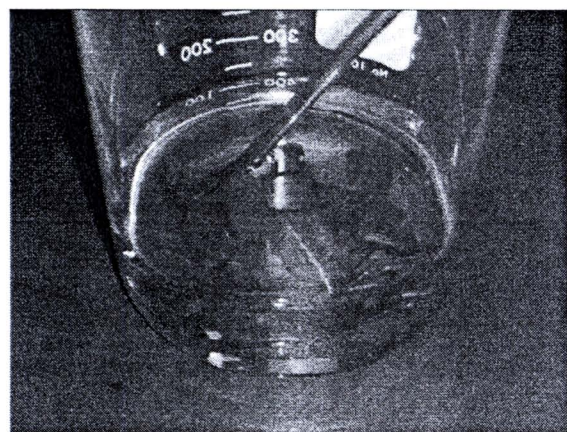
จากการศึกษาระบวนการแยกสลายเศษชิ้นเม็ดทั้งสเตนคาร์บอนดังที่ได้ออกแบบการทดลองและได้ทำการสรุปขั้นตอนการผลิตผงโลหะทั้งสเตนคาร์บอนได้ดังต่อไปนี้



รูปที่ 3.57 การเตรียมเศษโลหะแผ่นมีด

1) ซั่งน้ำหนักเศษชิ้นเม็ดทั้งสเตนคาร์บอน

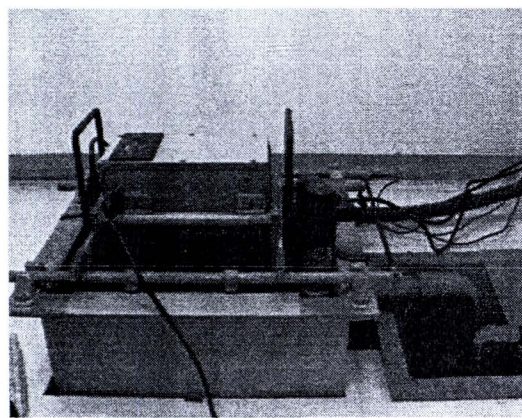
เริ่มการทดลองโดยการซั่งน้ำหนักเศษทั้งสเตนคาร์บอน ไปด้วย 1,500 กรัม เพื่อนำไปใช้ในกระบวนการแยกสลายเศษชิ้นเม็ดทั้งสเตนคาร์บอน



รูปที่ 3.58 ทำความสะอาดด้วยแอลกอฮอลล์

2) ทำความสะอาดเครื่องซีเมนต์ทั้งส่วนการรีบด์

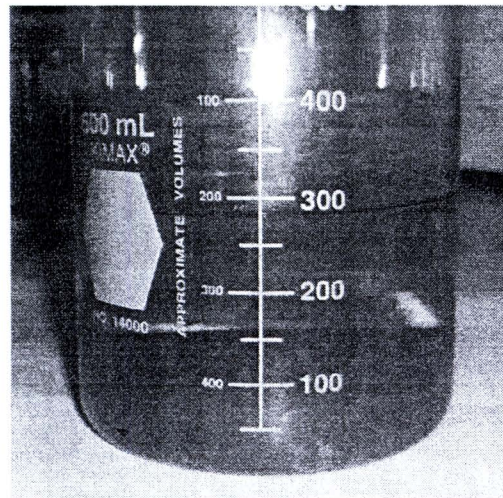
นำเศษซีเมนต์คาร์บิดที่ผ่านการซั่งน้ำหนักมาทำความสะอาด โดยการล้างด้วยแอลกอฮอล์



รูปที่ 3.59 เครื่องแยกสลายเศษซีเมนต์คาร์บิด

3) ดำเนินการแยกสลายเศษซีเมนต์ส่วนการรีบด์

เมื่อทำการคัดแยกเศษโลหะได้แล้วให้นำเศษโลหะที่ต้องการมาแยกสลายด้วยเครื่องแยกสลายเศษโลหะ



รูปที่ 3.60 การตกลงกันของโลหะผงจากกระบวนการแยกสลาย

4) เมื่อทำการแยกสลายได้ครบตามเวลาที่ได้ออกแบบไว้ให้นำสายลະลายที่ได้มาพักไว้ให้ตกละก่อนในบิกเกอร์ จากนั้นล้างด้วยแอลกอฮอล์



รูปที่ 3.61 การไล่ความชื้นด้วยการให้ความร้อนบนเตาไฟฟ้า

5) นำตะกอนโลหะผงตั้งบนเตาไฟฟ้าเพื่อไล่ความชื้นของผงโลหะ จากนั้นทำการเทลงในถ้วยเซรามิกพร้อมคนด้วยแท่งสแตนเลสอีกรั้ง

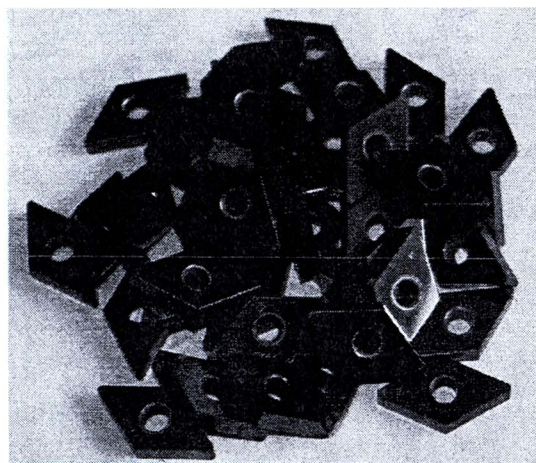


รูปที่ 3.62 การบรรจุเพื่อตรวจสอบน้ำหนักโลหะผงจากการรีไซเคิล

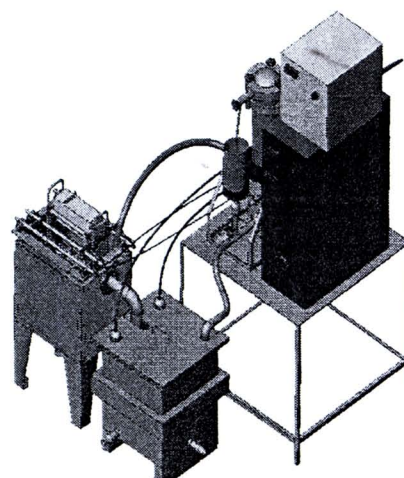
6) บรรจุโลหะผงที่ได้จากการกระบวนการผลิตและตรวจสอบน้ำหนักรวมถึงสมบัติอื่นๆ เช่น ลักษณะเกรน size ชนิดสารประกอบ ขนาดและการกระจายตัวของอนุภาค เป็นต้น

7) ทำการผสมโลหะผงที่ได้จากการบวนการผลิต ประกอบด้วย ผงทั้งสตุนคาร์บีบีค์ โคนอลด์ และ Wax เพื่อเตรียมนำไปอัดขึ้นรูปเป็นชิ้นงานโลหะแข็งตามต้องการ

3.2.1 เทคโนโลยีพื้นฐานในการผลิตโลหะผงทั้งสตุนคาร์บีบีค์

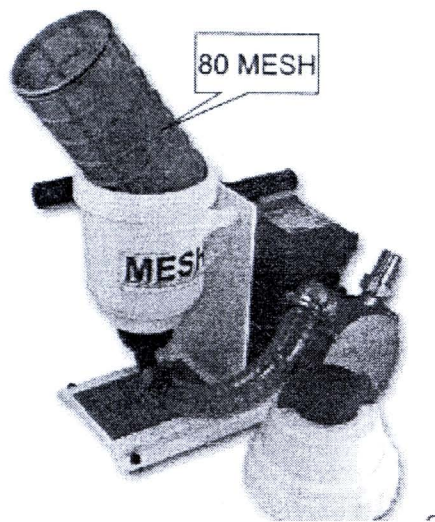


รูปที่ 3.63 เศษชิ้นเมต์คาร์บีบีค์



รูปที่ 3.64 เครื่องจำลองสำหรับแยกสลายเศษชิ้นเมต์ทั้งสตุนคาร์บีบีค์

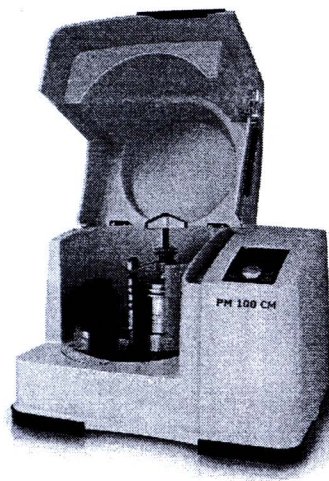




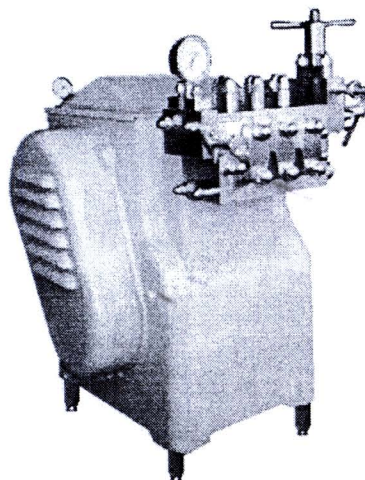
รูปที่ 3.65 เครื่องกรองโลหะผงทั้งสเตนคาร์บอนค์



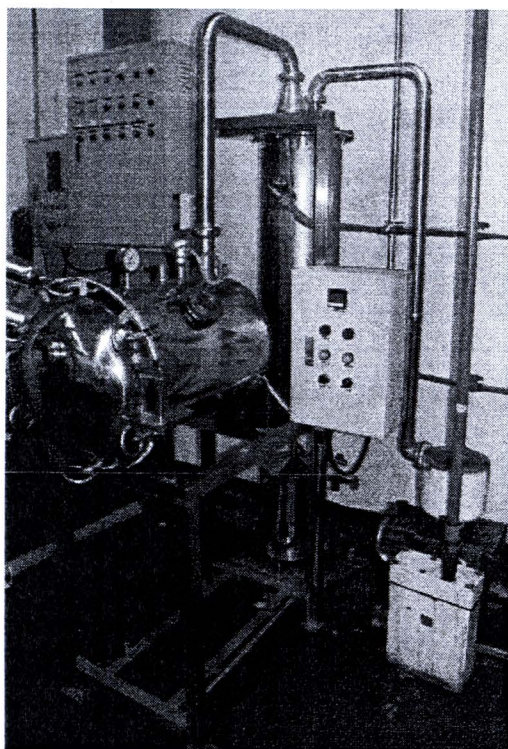
รูปที่ 3.66 เครื่องคัดขนาดโลหะผงทั้งสเตนคาร์บอนค์



รูปที่ 3.67 เครื่องบดโลหะผงทั้งสเตนคาร์ไบด์



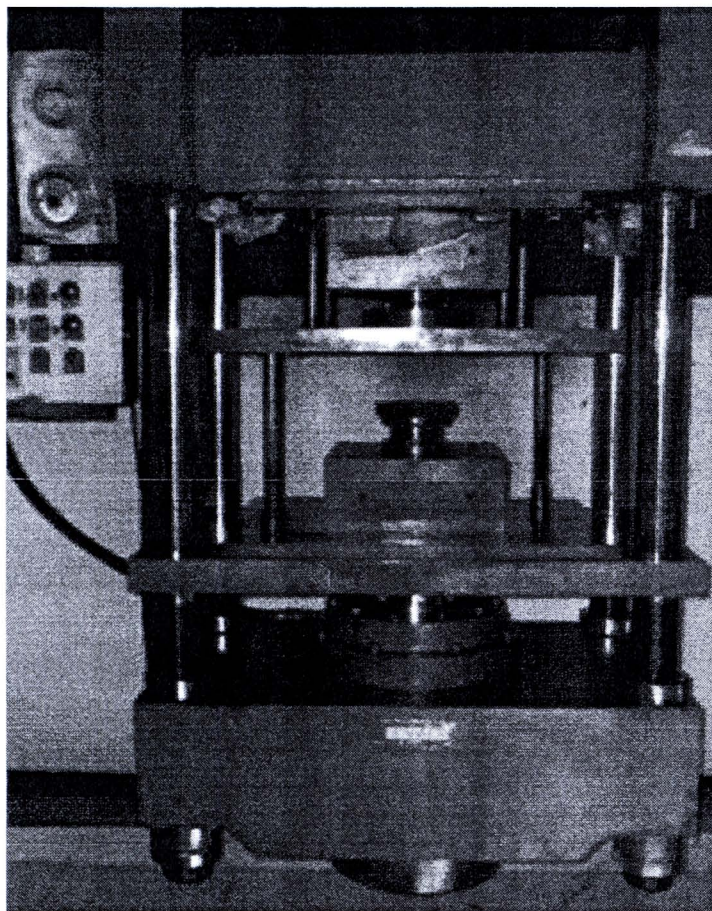
รูปที่ 3.68 เครื่องผสมโลหะผงทั้งสเตนคาร์ไบด์



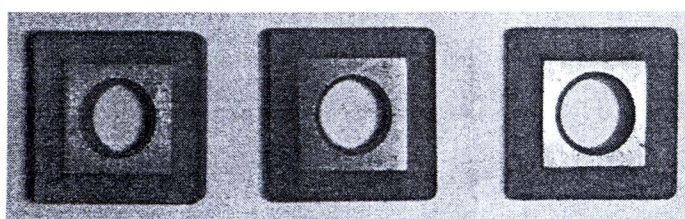
รูปที่ 3.69 เตาอบโลหะผงทั้งสเดนคาร์บอนด์



รูปที่ 3.70 เครื่องบรรจุโลหะผงทั้งสเดนคาร์บอนด์



รูปที่ 3.71 เครื่องอัดขึ้นรูปชิ้นงาน ชีเมนต์ทั้งส่วนการไฟบค'

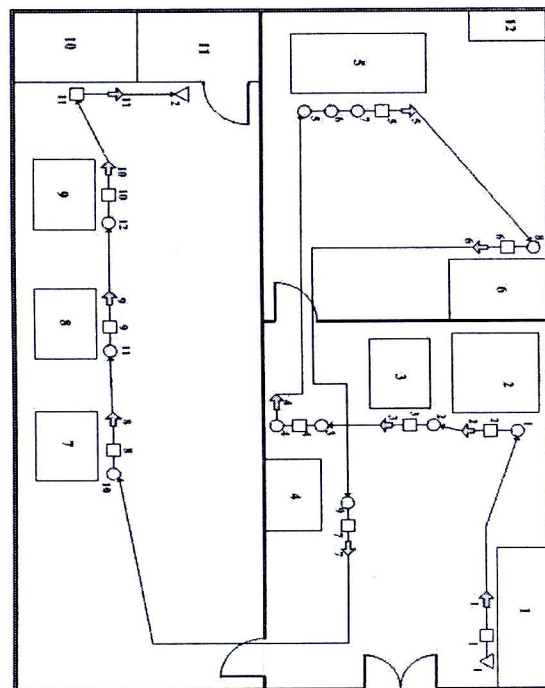


รูปที่ 3.72 ชิ้นงานแผ่นมีดชีเมนต์ทั้งส่วนการไฟบค'

3.2.2 การออกแบบและวางแผนผังการผลิตโลหะพงทั้งสเตนคาร์ไบด์

การวางแผนผังโรงงานเพื่อสะคuatorในการจัดการพื้นที่การใช้สอยในแผนกการผลิต

- 1) การออกแบบผังบริเวณโรงงาน (Planning Design) ในการออกแบบผังโรงงาน ต้องคำนึงถึง ระยะทางในการเคลื่อนที่ของวัสดุ เวลาในการเคลื่อนย้ายวัสดุ ที่ทำให้ปลอดภัยและประหยัดเวลาในการทำงาน



รูปที่ 3.73 การออกแบบผังบริเวณโรงงาน ขนาดของโรงงาน 10 x 9 เมตร (Planning Design) [6]

จากรูปที่ 3.73 เป็นการออกแบบผังบริเวณโรงงานผลิตพงโลหะพงทั้งสเตนคาร์ไบด์ ประกอบด้วย 12 หมายเลข คือ 1. Store 2. เครื่องล้าง 3. เครื่องซัก 4. เครื่องอบ 5. เครื่องผลิตพง 6. เครื่องกรอง 7. เครื่องคัด 8. เครื่องบด 9. เครื่องบรรจุ 10. ตรวจสอบ QC 11. ห้องเก็บผลิตภัณฑ์ 12. อ่างล้างมือ

2) แผนภูมิกระบวนการผลิต (Flow Process Chart) ผังทั้งสценการ์ไบค์

CHART NO.	SHEET NO.	OF	SUMMARY						
SUBJECT CHARTED		ACTIVITY		PRESENT	PROPOSED		SAVING		
		OPERATION	O	11					
ACTIVITY		TRANSPORT	⇒	11					
		DELAY	D	1					
METHOD PRESENT/PROPOSED		INSPECTION	□	11					
		STORAGE	▽	2					
LOCATION		DISTANCE (m)		31.5					
OPERATIVE CLOCK NO.		TIME(Man-hr)		5,792					
CHARTED BY.	CLOCK NO.	COST							
APPROVED BY	DATE:	TOTAL							
DESCRIPTION		QTY (pcs.)	DISTANCE (m.)	TIME (min)	SYMBOL		REMARKS		
1. เศษซีเมนต์ทั้งสценการ์ไบค์อยู่ที่ STORE		-	-		O	⇒	D	□	▽
2. ตรวจสอบคัดแยกเศษซีเมนต์ทั้งสценการ์ไบค์		-	-	30					
3. นำเศษซีเมนต์ทั้งสценการ์ไบค์ไปล้าง		-	3						
4. ล้างเศษซีเมนต์ทั้งสценการ์ไบค์		1500 g	-	120					
5. ตรวจสอบความสะอาดของเศษซีเมนต์ทั้งสcenการ์ไบค์		1500 g	-	30					
6. นำเศษซีเมนต์ทั้งสcenการ์ไบค์ไปซั่ง		1500 g	1						
7. ซั่งเศษซีเมนต์ทั้งสcenการ์ไบค์		1500 g	-	30					
8. ตรวจสอบน้ำหนักเศษซีเมนต์ทั้งสcenการ์ไบค์ให้ได้ 1500g		1500 g	-	30					
9. นำเศษซีเมนต์ทั้งสcenการ์ไบค์ไปอบ		1500 g	2						
10. อบเศษซีเมนต์ทั้งสcenการ์ไบค์ให้แห้ง		1500 g	-	120					
11. ตรวจสอบความแห้งของเศษซีเมนต์ทั้งสcenการ์ไบค์		1500 g	-	30					
12. ให้เศษซีเมนต์ทั้งสcenการ์ไบค์เย็นด้วย		1500 g	-	240					
13. นำเศษซีเมนต์ทั้งสcenการ์ไบค์ไปซั่งเครื่องผลิตผง		1500 g	6						
14. ทำการย่อยเศษซีเมนต์ทั้งสcenการ์ไบค์		1500 g	-	2880					
15. แจกเศษซีเมนต์ทั้งสcenการ์ไบค์กลากเป็นโภcon		1500 g	-						

รูปที่ 3.74 แผนภูมิกระบวนการผลิตผงทั้งสcenการ์ไบค์ [6]

CHART NO. SHEET NO. OF.		SUMMARY					
SUBJECT CHARTED		ACTIVITY	PRESNT	PROPOSED		SAVING	
		OPERATION	11				
		TRANSPORT	11				
ACTIVITY		DELAY	D	1			
		INSPECTION	□	11			
		STORAGE	▽	2			
METHOD PRESENT/PROPOSED		DISTANCE (m)	31.5				
LOCATION		TIME (Man-hr)	5,792				
OPERATIVE	CLOCK NO.	COST					
CHARTED BY.	DATE:						
APPROVED BY	DATE:	TOTAL					
DESCRIPTION		QTY (pcs.)	DISTANCE (m.)	TIME (min)	SYMBOL	REMARKS	
					○ □ ▽ □ ▽		
16. รอให้โคลนตกตะกอน	1500 g	-		360			
17. ตรวจสอบการตกตะกอนของโคลน	1500 g	-		30			
18. นำโคลนไปยังเครื่องกรอง	-	2					
19. กรองโคลนให้เป็นผงเปียก	1200 g	-		120			
20. ตรวจสอบขนาดผงเปียกที่ได้	1200 g	-		30			
21. นำผงเปียกไปอบ	1200 g	5					
22. อบผงเปียกให้แห้ง	1200 g	-		120			
23. ตรวจสอบความแห้งของผงทราย	1200 g	-		30			
24. นำผงทรายที่แห้งแล้วไปคัดขนาด	1200 g	9					
25. คัดขนาดของผงทราย	1200 g	-		60			
26. ตรวจสอบขนาดผงทราย	1200 g	-		30			
27. นำผงที่คัดไม่ผ่านไปบด	1200 g	1					
28. บดผงทรายให้เป็นผงละเอียด	1200 g	-		1,440			
29. ตรวจสอบความละเอียดของผงที่ได้	1200 g	-		30			
30. นำผงที่ได้ไปบรรจุ	1200 g	1					

รูปที่ 3.74 แผนภูมิกระบวนการผลิตผงทั้งสเก้นการ์ “ใบด” (ต่อ) [6]

3.3 การออกแบบสร้างเครื่องกัดกร่อน

3.3.1 ระบบการทำงานของเครื่องแยกสลายเศษซีเมนต์ทั้งสetenาร์ไบค์ (เครื่องกัดกร่อน)

ในการออกแบบการทำงานของเครื่องแยกสลายนี้จะต้องประกอบด้วยส่วนต่างๆ เช่น ระบบมอเตอร์ ระบบการหมุนของถังบรรจุชิ้นงาน ระบบให้ความร้อน ระบบตรวจจับอุณหภูมิ ระบบจ่ายกระแสไฟฟ้า เป็นต้น

1) ระบบการทำงานของมอเตอร์

โดยมีชุดตันกำลังจะเป็นมอเตอร์ไฟฟ้า AC ขนาด 90 W ความเร็วรอบ 1,400 รอบ/นาที ส่งกำลังผ่านระบบเพื่อขับโดยปรับความเร็วรอบได้ในช่วง 0 - 25 รอบ/นาที เป็นตัวขับเคลื่อนในการหมุนของถังบรรจุชิ้นงาน (Barrel) เพื่อจะทำให้ชิ้นงานเกิดการสัมผัสกับขั้วแม่เหล็ก เพื่อทำปฏิกิริยาในการกัดกร่อน

2) ระบบหมุนของถังบรรจุชิ้นงาน (Barrel)

ถังบรรจุชิ้นงานจะมีทิศทางการหมุนทวนเข็ม โดยอ้างอิงจากสิทธิบัตร United States Patent No. 4,234,333 ของสหรัฐอเมริกา การหมุนของถังบรรจุชิ้นงาน หมุนในทิศทางทวนเข็ม โดยการส่งกำลังด้วยเพื่อขับมีต้นกำลังมอเตอร์เกียร์สามารถปรับความเร็วรอบได้ จะทำให้เกิดปฏิกิริยาในการกัดกร่อนดีกว่าการหมุนตามเข็ม

คำนวณปริมาณชิ้นงานที่บรรจุลงในถังบรรจุชิ้นงาน (Barrel)

$$D = 184.752 \text{ mm.}, d = 160 \text{ mm.}, l = 92.376 \text{ mm.}, h = 300 \text{ mm.}$$

$$\alpha = 60^\circ, \beta = 120^\circ$$

คำนวณพื้นที่หน้าตัด A

จากสมการ (2.22)

$$\begin{aligned} A &= \frac{n \times l \times d}{4} \\ &= \frac{6 \times 92.37 \text{ mm.} \times 160 \text{ mm.}}{4} \\ &= 22,168.8 \text{ mm}^2 \end{aligned}$$

จากสมการ (2.23)

$$V = \frac{n \times l \times d}{4} \cdot h$$

$$\therefore \text{ปริมาตรของ (Barrel)} = 22,168.8 \text{ mm}^2 \times 300 \text{ mm.}$$

$$= 6,650,640 \text{ mm}^3 \text{ หรือ } 6,650.640 \text{ cm}^3$$

จากการบรรจุเศษมีด 3 kg. จะมีปริมาตร $= 613.5223 \text{ cm}^3$

$$\therefore \text{จำนวนชิ้นงานที่บรรจุ} = (6,650.640 \text{ } \text{cm}^3 / 613.5223 \text{ } \text{cm}^3) \cdot 3 \text{ kg.}$$

$$= 32.522 \text{ kg.}$$

ดังนั้น ถังบรรจุชิ้นงาน (Barrel) สามารถบรรจุวัสดุเศษซีเมนต์ทั้งสูตรไวบีค์ได้จำนวน 32.52 กิโลกรัม จาก U.S. Patent 4,234,333 อธิบายว่าการกัดกร่อนโดยจะมีประสิทธิภาพต้องมีวัสดุซีเมนต์ทั้งสูตรไวบีค์ WC ปริมาณ $\frac{1}{4}$ ของถังบรรจุชิ้นงาน (Barrel) คือ 8.13 kg. จึงจะมีการกัดกร่อนที่ดี

3) ระบบส่งกำลังด้วยเฟืองขับ

กัดเฟืองตรงตัวที่ 1 มีจำนวนฟัน 14 ฟัน จำนวนฟันต่อมิลลิเมตร $m = 4.5$

คำนวณเส้นผ่านศูนย์กลางพิเศษ

$$\text{จากสมการ (2.5)} d = m \times z$$

$$= 4.5 \times 14 = 63 \text{ mm.}$$

คำนวณเส้นผ่านศูนย์กลางโคนฟัน

ซึ่งว่างยอดฟันเฟือง $C = 0.1 \times m$ ถึง $0.3 \times m$ ส่วนใหญ่ใช้ $= 0.167$

$$C = 0.167 \times 0.167$$

$$= 0.75$$

$$\text{จากสมการ (2.7)} df = d - 2 \times (m + c)$$

$$= 0.167 \times 4.5$$

$$= 63 - 2 \times (4.5 + 0.75)$$

$$= 52.5 \text{ mm.}$$

คำนวณความสูงของฟัน

$$\begin{aligned} \text{จากสมการ (2.8)} \quad h &= 2x m + c \\ &= 2 \times 4.5 + 0.75 \\ &= 9.75 \text{ mm.} \end{aligned}$$

คำนวณความสูงของโคนฟัน

$$\begin{aligned} \text{จากสมการ (2.9)} \quad hf &= m + c \\ &= 4.5 + 0.75 \\ &= 5.25 \text{ mm.} \end{aligned}$$

กัดเพื่อคงตัวที่ 2 มีจำนวนฟัน 27 ฟัน จำนวนฟันต่อมิลลิเมตร $m = 4.3$

คำนวณเส้นผ่านศูนย์กลางพิตช์

$$\begin{aligned} \text{จากสมการ (2.5)} \quad d &= m \times z \\ &= 4.3 \times 27 = 118 \text{ mm.} \end{aligned}$$

คำนวณเส้นผ่านศูนย์กลางโคนฟัน

$$\text{ซึ่งว่างบดฟันเพื่อง } C = 0.1 \times m \text{ ถึง } 0.3 \times m \text{ ส่วนใหญ่ใช้ } = 0.167$$

$$\begin{aligned} C &= 0.167 \times 4.3 \\ &= 0.72 \end{aligned}$$

$$\begin{aligned} \text{จากสมการ (2.7)} \quad df &= d - 2 \times (m + c) \\ &= 118 - 2 \times (4.3 + 0.72) \\ &= 108 \text{ mm.} \end{aligned}$$

คำนวณความสูงของฟัน

$$\text{จากสมการ (2.8)} \quad h = 2x m + c$$

$$\begin{aligned}
 &= 2 \times 4.3 + 0.72 \\
 &= 9.32 \text{ mm.}
 \end{aligned}$$

คำนวณความสูงของโคนฟัน

$$\begin{aligned}
 \text{จากสมการ (2.9)} \quad hf &= m + c \\
 &= 4.3 + 0.72 \\
 &= 5.02 \text{ mm.}
 \end{aligned}$$

กัดเพื่องตรงตัวที่ 3 มีจำนวนฟัน 56 ฟัน จำนวนฟันต่อมิลลิเมตร $m = 4.3$

คำนวณเส้นผ่าศูนย์กลางพิเศษ

$$\begin{aligned}
 \text{จากสมการ (2.5)} \quad d &= m \times z \\
 &= 4.3 \times 56 = 240.8 \text{ mm.}
 \end{aligned}$$

คำนวณเส้นผ่านศูนย์กลางโคนฟัน

$$\begin{aligned}
 \text{ซึ่งว่างบอดฟันเพื่อง } C &= 0.1x m \text{ ถึง } 0.3x m \text{ ส่วนใหญ่ใช้ } = 0.167 \\
 C &= 0.167 \times 4.3 \\
 &= 0.72
 \end{aligned}$$

$$\begin{aligned}
 \text{จากสมการ (2.7)} \quad df &= d - 2 \times (m + c) \\
 &= 240 - 2 \times (4.3 + 0.72) \\
 &= 230 \text{ mm.}
 \end{aligned}$$

คำนวณความสูงของฟัน

$$\begin{aligned}
 \text{จากสมการ (2.8)} \quad h &= 2 \times m + c \\
 &= 2 \times 4.3 + 0.72 \\
 &= 9.32 \text{ mm.}
 \end{aligned}$$



คำนวณความสูงของโคนฟัน

$$\begin{aligned}
 \text{จากสมการ (2.9)} \quad hf &= m + c \\
 &= 4.3 + 0.72 \\
 &= 5.02 \text{ mm.}
 \end{aligned}$$

คำนวณอัตราความเร็วของเพื่อง

เพื่องฟันตรง 3 ตัวขับกันดังรูปส่งกำลังเพื่องติดกันแกนมอเตอร์เพื่องขับตัวที่ 1 มีจำนวนฟัน 14 ฟัน เพื่องตามตัวที่ 2 มีจำนวนฟัน 27 ฟัน เพื่องขับตัวที่ 3 มีจำนวน 56 ฟันเพื่อง หาอัตราความเร็วของเพื่องตัวที่ 1, 2 และตัวที่ 3

N_1 = ความเร็วรอบ	120	rpm
Z_1 = จำนวนฟันเพื่องขับ	14	mm.
Z_2 = จำนวนฟันเพื่องตาม	27	mm.
Z_3 = จำนวนฟันเพื่องขับ	56	mm.

คำนวณความเร็วรอบ N_2

$$\text{จากสมการ (2.11)} \quad N_1 \times Z_1 = N_2 \times Z_2$$

$$\begin{aligned}
 N_2 &= \frac{N_1 \times Z_1}{N_2} \\
 &= 120 \times (14 / 27) \\
 &= 62.22 \text{ rpm}
 \end{aligned}$$

อัตราความเร็วของเพื่องตาม $N_2 = 62.22$ รอบ / นาที

คำนวณความเร็วรอบ N_3

$$\text{จากสมการ (2.11)} \quad N_2 \times Z_2 = N_3 \times Z_3$$

$$\begin{aligned}
 N_3 &= \frac{N_2 \times Z_2}{N_3} \\
 &= 62.22 \times (27 / 56) \\
 &= 30 \text{ rpm.}
 \end{aligned}$$

อัตราความเร็วของเพื่องตาม $N_3 = 30$ รอบ / นาที

การส่งกำลังด้วยไฟฟ้า : ทดลองชั้น

$$\text{จากสมการ (2.12) อัตราทั่วไป } i = \frac{Z_2 \times Z_3}{Z_1 \times Z_2}$$

$$i = \frac{27 \times 56}{14 \times 27}$$

$$= 4$$

4) ระบบความร้อน

ให้ความร้อนโดยใช้ฮีตเตอร์แก้ว ขนาด 1 กิโลวัตต์ 220 โวลต์ และมี ชุดควบคุม อุณหภูมิ ขนาด 2 กิโลวัตต์ 220 โวลต์ แบบดิจิตอล เนื่องจากมีสมบัติถ่ายเทความร้อนกับของเหลว ทุกชนิด ตัวอย่างการใช้งาน เช่น งานต้มน้ำ - ต้มน้ำมัน งานผสมสาร เป็นต้น

5) ระบบแหล่งจ่ายไฟฟ้า

ใช้หน้อแปลงไฟฟ้ากระแสสลับ (AC) 220 โวลต์ กระแสไฟฟ้าจ่ายเป็น กระแสตรง (DC) ปรับได้ในช่วง 1-15 Volt และมีกระแสไฟฟ้าปรับได้ในช่วง 0-10 แอมป์ จ่ายเข้าไปยังขั้วแอดโนด (+) และขั้วแคโทด (-) เพื่อทำปฏิกิริยาในการกัดกร่อนโลหะ

6) การไฟล์เวียนของสารละลาย

ใช้ระบบปั๊มสารละลายที่มีสมบัติสามารถทนกรด และทนความความร้อน ดูด สารละลายจากถังพักไปยังถังทำงาน สารละลายมีระบบไส้กรองผงโลหะในตัว สารละลาย ไฟล์เวียนได้ตลอดเวลาเพื่อกรองผงโลหะ

การคำนวณปริมาตรถังทำงาน

$$\text{จากสมการ (2.14)} \quad V = l * b * h$$

ถังทำงานทรงสี่เหลี่ยมผืนผ้า ขนาด $l = 55 \text{ cm}, b = 44 \text{ cm}, h = 33 \text{ cm}$

$$\begin{aligned} \text{ปริมาตรทรงสี่เหลี่ยมน} \quad V &= 55 \text{ cm} \times 44 \text{ cm} \times 33 \text{ cm} \\ &= 79,860 \text{ cm}^3 \end{aligned}$$

$$\text{จากสมการ (2.13)} \quad V = \frac{h}{3} \times (A_1 + A_2 + \sqrt{A_1 \times A_2})$$

ถังทำงานทรงปรัมภิดตัดมีขนาด

$$l_1 = 55 \text{ cm}, b_1 = 44 \text{ cm}, l_2 = 3 \text{ cm}, b_2 = 3 \text{ cm}, h = 18.2 \text{ cm}$$

ปริมาตรทรงปีระมิดตัด

$$\begin{aligned}
 &= \frac{18.2 \text{ cm}^2}{3} \times (2,420 \text{ cm}^2 + 9 \text{ cm}^2 + \sqrt{(2,420 \text{ cm}^2 \times 9 \text{ cm}^2)}) \\
 &= \frac{18.2 \text{ cm}^2}{3} \times (2,576.5804 \text{ cm}^2) \\
 &= 15,631.255 \text{ cm}^3 \\
 \text{ปริมาตรรวมถังทำงาน} &= 79,860 \text{ cm}^3 + 15,631.255 \text{ cm}^3 \\
 &= 95,491.255 \approx 96 L
 \end{aligned}$$

ข) การคำนวณปริมาตรถังพักสารละลาย

จากสมการ (2.14) $V = l \times b \times h$

ถังทำงานทรงสี่เหลี่ยมผืนผ้าขนาด $l = 45 \text{ cm}, b = 45 \text{ cm}, h = 33 \text{ cm}$
 ปริมาตรทรงสี่เหลี่ยม $V = 45 \text{ cm} \times 45 \text{ cm} \times 33 \text{ cm}$
 $= 66,825 \text{ cm}^3$

จากสมการ (2.13) $V = \frac{h}{3} \times (A_1 + A_2 + \sqrt{A_1 \times A_2})$

ถังทำงานทรงปีระมิดตัดมีขนาด

$$l_1 = 45 \text{ cm}, b_1 = 45 \text{ cm}, l_2 = 3 \text{ cm}, b_2 = 3 \text{ cm}, h = 9.1 \text{ cm}$$

ปริมาตรปีระมิดตัด

$$\begin{aligned}
 &= \frac{9.1 \text{ cm}^2}{3} \times (2,025 \text{ cm}^2 + 9 \text{ cm}^2 + \sqrt{(2,025 \text{ cm}^2 \times 9 \text{ cm}^2)}) \\
 &= \frac{9.1 \text{ cm}^2}{3} \times (2,126 \text{ cm}^2) \\
 &= 6,579.3 \text{ cm}^2
 \end{aligned}$$

ปริมาตรรวมถังพกรวม $= 66,825 \text{ cm}^3 + 6,579.3 \text{ cm}^3$
 $= 73,404.3 \approx 73 L$

7) ระบบตรวจวัดอุณหภูมิ

ใช้เทอร์โนมิเตอร์แบบเดินของเหลวในหลอดแก้ว เทอร์โนมิเตอร์แบบนี้ใช้วัดอุณหภูมิซึ่งใช้ความแตกต่างของการขยายตัวน้ำเป็นตัวบ่งชี้ระดับอุณหภูมิเทอร์โนสตัท (Thermostat)

ตัวควบคุมอุณหภูมิของระบบการทำงานทำความร้อน เมื่ออุณหภูมิเปลี่ยนแปลงจะทำให้ความดันในตัวเปร่า (Thermo bulb) ไปดันค่อนแทกไฟฟ้าเปิด / ปิด ตัวควบคุมอุณหภูมิจะตัดไฟเมื่อมีอุณหภูมิกetenที่กำหนดไว้

3.3.2 การเลือกวัสดุอุปกรณ์เพื่อการผลิต

1) ทองแดง (Copper) เลือกนำมาสร้างทำเพลาเพื่อนำไฟฟ้าจากหม้อแปลงไฟฟ้า จ่ายกระแสไฟไปยังขั้วลบ (-) กับขั้วนอก (+)

สมบัติของทองแดงเป็นโลหะที่เป็นตัวนำไฟฟ้าที่ดี

ความหนาแน่น $8.90 - 8.96 \text{ kg/dm}^3$ จุดหลอมเหลว 1083°C

ความเด่นยึดหยุ่น 125000 N/mm^2 สัมประสิทธิ์การขยายตัว $17.10^{-6}/\text{K}$

ความสามารถในการนำกระแสไฟฟ้า $35 - 58 \text{ m} / \Omega \cdot \text{mm}^2$

ความสามารถในการนำความร้อน $240 - 386 \text{ W/K} \cdot \text{m}$

ความต้านแรงดึง $200 - 360 \text{ N/mm}^2$ ความยืดหยุ่นระหว่าง $2 - 45 \%$

2) พลาสติกโพลีไพรีพลีน (Polypropylene: PP) เลือกนำมาสร้างถังบรรจุชิ้นงาน (Barrel) ถังพักสารละลาย และผนังกันกระแทก สมบัติของโพลีไพรีพลีน ทนต่อการแปรรูปด้วยความร้อน ทนต่อแรงดึง แรงกระแทกและทรงตัวดี ผิวแข็งไม่มีแนวโน้มของการสึกกร่อน จ่าเรือโรคที่อุณหภูมิ 120°C ได้ ไม่ดูดซึมน้ำจะประมาณที่อุณหภูมิ 0°C

3) โพลีเอธิลีน (Polyethylene: PE) อุปกรณ์ส่วนหนึ่งที่ใช้ในเครื่องกัดกร่อนพลา วาล์ว ชีลยางกันน้ำร้าว และร่องตัวยู

สมบัติโพลีเอธิลีน มีความแข็งแรงสูง ทนอุณหภูมิสูงและคงรูป อุณหภูมิที่ใช้งานได้เป็นระยะเวลานานๆ 105°C

การทนต่อสารเคมี : ทนต่อกรด ด่าง

สัมประสิทธิ์การนำความร้อน (λ) : $1.38 \text{ kJ/mh}^\circ\text{C}$

ค่าความร้อนจำเพาะ (C): $1.88 \text{ kJ/mh}^\circ\text{C}$

ความหนาแน่นที่อุณหภูมิ (ρ) : ที่อุณหภูมิ 20°C เท่ากับ $0.94 - 0.96 \text{ g/mc}^3$

4) พีวีซี (Polyvinylchloride: PVC) อุปกรณ์ส่วนหนึ่งที่ใช้ในเครื่องกัดกร่อนพลา ข้อต่อท่อสิ้นของสารละลาย

สมบัติโดยทั่วไปของผลผลิต : มีความแข็งแรงสูง แข็งเหนียว ไม่สึกกร่อน ติดไฟยาก อุณหภูมิที่ใช้งานได้เป็นระยะเวลานานๆ: $60-70^{\circ}\text{C}$

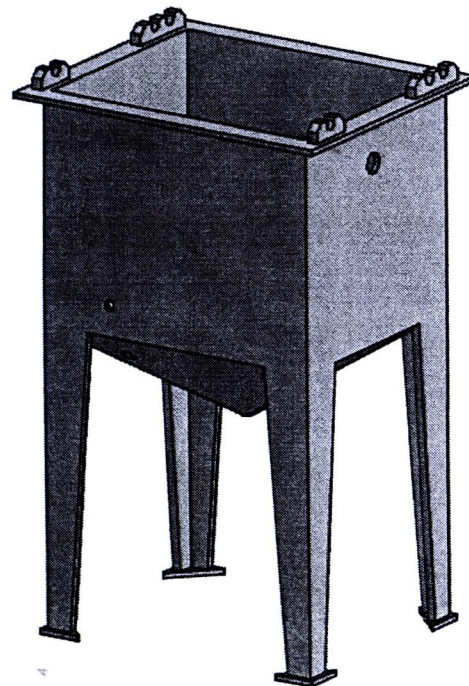
การทนต่อสารเคมี : ทนต่อกรดและด่าง แอลกอฮอล์ น้ำมันเครื่องและไขมัน

สัมประสิทธิ์การนำความร้อน $0.59 \text{ KJ/mh}^{\circ}\text{C}$ ความหนาแน่น (ρ) ที่อุณหภูมิ 20°C เท่ากับ 1.4 g/cm^3 อัตราการหลดตัวอยู่ระหว่าง $0.4 - 0.5 \%$

3.3.3 ออกแบบส่วนประกอบ

3.3.3.1 การออกแบบถังบรรจุสารละลาย (Tank) เลือกวัสดุที่ทำโพลีไพรีลีน (Polypropylene: PP) นิสมบัตด้านทานการกัดกร่อนดี 适合ในงานสร้างประกอบหรือขึ้นรูป ทั่วไปได้

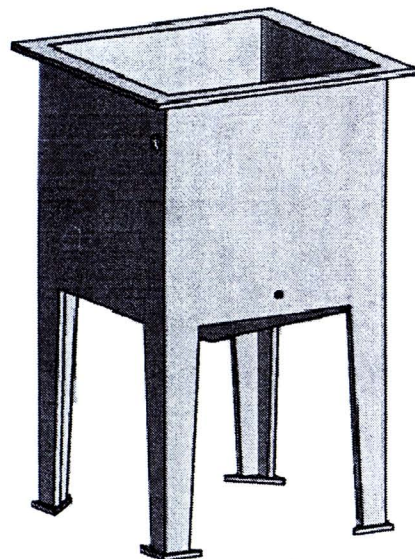
ทำหน้าที่บรรจุสารละลาย ถังทำงานที่มีขนาด $450 \times 560 \times 1,040 \text{ mm}$. มีรูลินของสารละลาย ด้านข้างสำหรับโหลดถังพักสารละลาย และมีท่อระบายน้ำด้านล่าง ด้านหน้ามีท่อน้ำทิ้งขนาดเส้นผ่านศูนย์กลาง 25.4 mm . สำหรับระบายน้ำทิ้ง



รูปที่ 3.75 ถังบรรจุสารละลาย (Tank) ขนาด $450 \times 560 \times 1,040 \text{ mm}$.

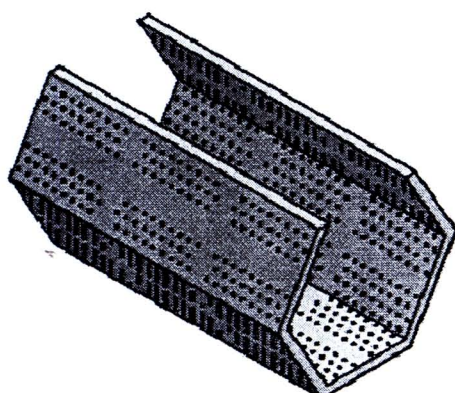
3.3.3.2 การออกแบบถังพักสารละลาย เลือกวัสดุที่ทำจากพลาสติกโพลีไพรีลีน

การทนต่อสารเคมี ทนต่อกรดอ่อน ค่างอ่อน ทนแรงกระแทกสูงและทนความร้อนได้สูง รับภาระบรรจุสารละลายเพื่อไหลเวียนไปยังถังทำงาน มีหน้าที่บรรจุสารละลายเพื่อให้มีปั๊มคุณภาพสารละลายให้ไหลเวียนไปยังถังบรรจุสารละลาย (Tank) จากนั้นสารละลายล้วนกลับมาอยู่ถังพักและไหลเวียนตลอดเวลา



รูปที่ 3.76 ถังพักสารละลาย ขนาด $450 \times 450 \times 867$ mm.

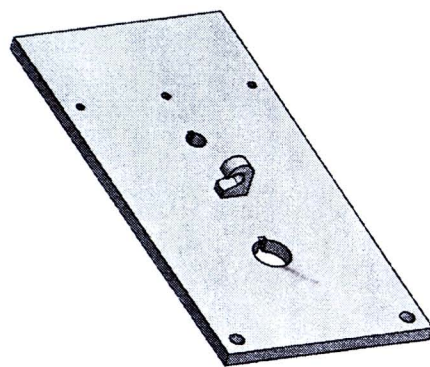
3.3.3.3 ออกแบบถังบรรจุชิ้นงาน (Barrel) เลือกวัสดุที่ทำจากพลาสติกโพลีไพรีลีน



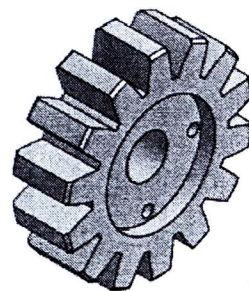
รูปที่ 3.77 ชิ้นส่วนถังบรรจุชิ้นงาน (Barrel)



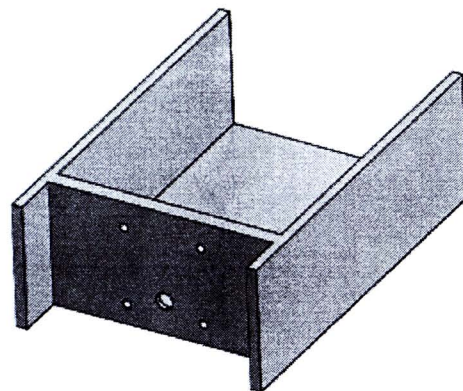
รูปที่ 3.78 ชิ้นส่วนผนังด้านซ้ายถังบรรจุชิ้นงาน (Barrel) ขนาด 200x3486x15 mm.



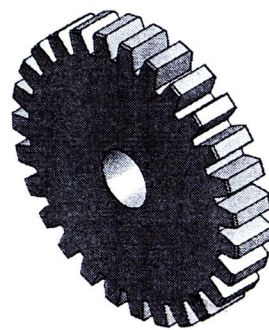
รูปที่ 3.79 ชิ้นส่วนผนังด้านซ้ายถังบรรจุชิ้นงาน (Barrel) ขนาด 200x3486x15 mm.



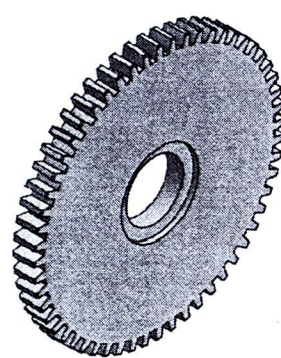
รูปที่ 3.80 ชิ้นส่วนเพ่องขับถังบรรจุชิ้นงาน ขนาดความโตก 67 mm. 6 DP จำนวน 14 ฟัน



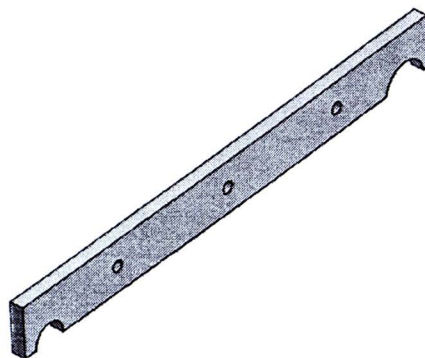
รูปที่ 3.81 ชิ้นส่วนกล่องใส่แม่เตอร์ ขนาด 240x353x15 mm.



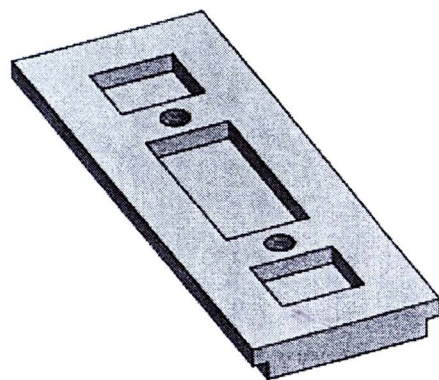
รูปที่ 3.82 ชิ้นส่วนเพื่อรองตามประกณข้างลังบรรจุชิ้นงาน ขนาดความโดย 122 mm. 6 DP
จำนวน 27 พีน เจาะรูบีดบูช 25 mm.



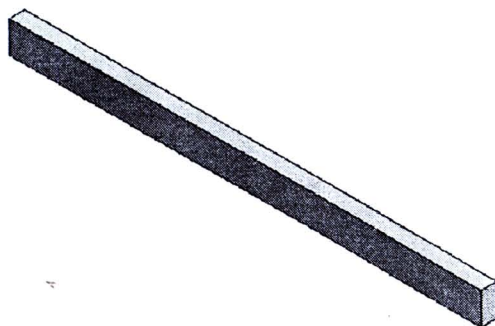
รูปที่ 3.83 ชิ้นส่วนเพื่อรองทด ขนาดความโดย 250 mm. 6 DP จำนวน 56 พีน



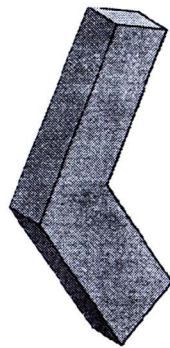
รูปที่ 3.84 ชิ้นส่วนแผ่นทองแดงยึดถังบรรจุชิ้นงาน ให้กระแสไฟหล่อผ่านไปยังข้าว (+) ขนาด 39x370x10 mm. เจาะรูยึดกับผนังขนาด 8 mm.



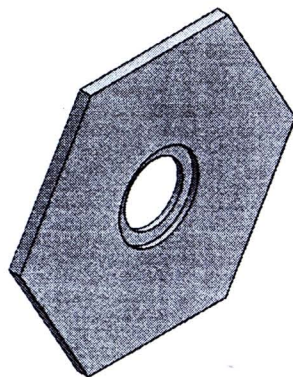
รูปที่ 3.85 ชิ้นส่วนฝาปิดถังบรรจุชิ้นงาน ขนาด 90x300x20 mm.



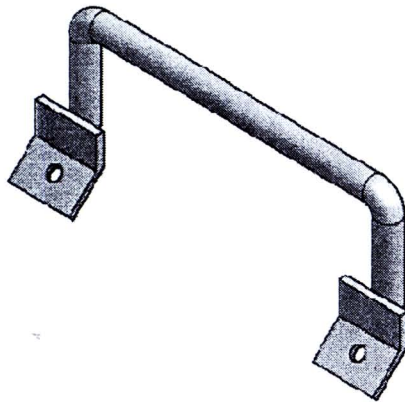
รูปที่ 3.86 ชิ้นส่วนคานยึดถังบรรจุชิ้นงาน ขนาด 90x300x20 mm.



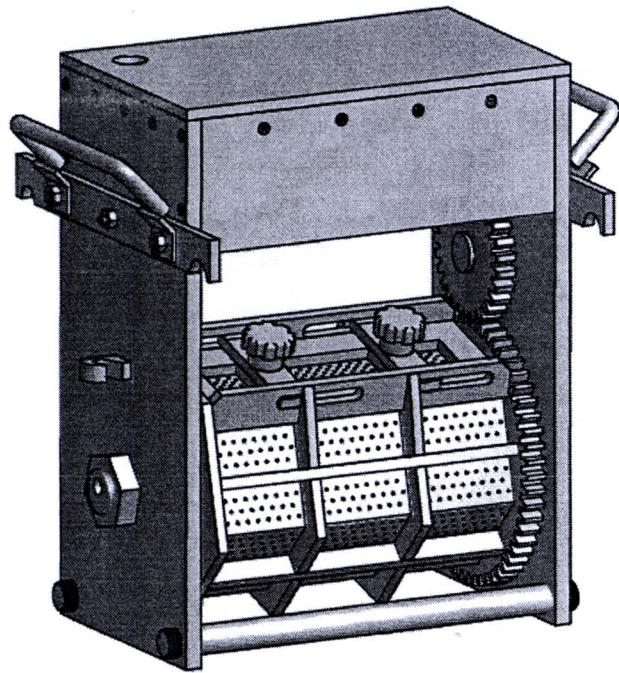
รูปที่ 3.87 ชิ้นส่วนเสริมความแข็งแรงดังบรรจุชิ้นงาน ขนาด 90x300x20 mm.



รูปที่ 3.88 ชิ้นส่วนฝาประกอบข้างดังบรรจุชิ้นงาน ขนาด 90x300x20 mm.



รูปที่ 3.89 อุปกรณ์สำหรับจับและยกเครื่องแยกสาย ขนาด 15x67.5x215 mm.

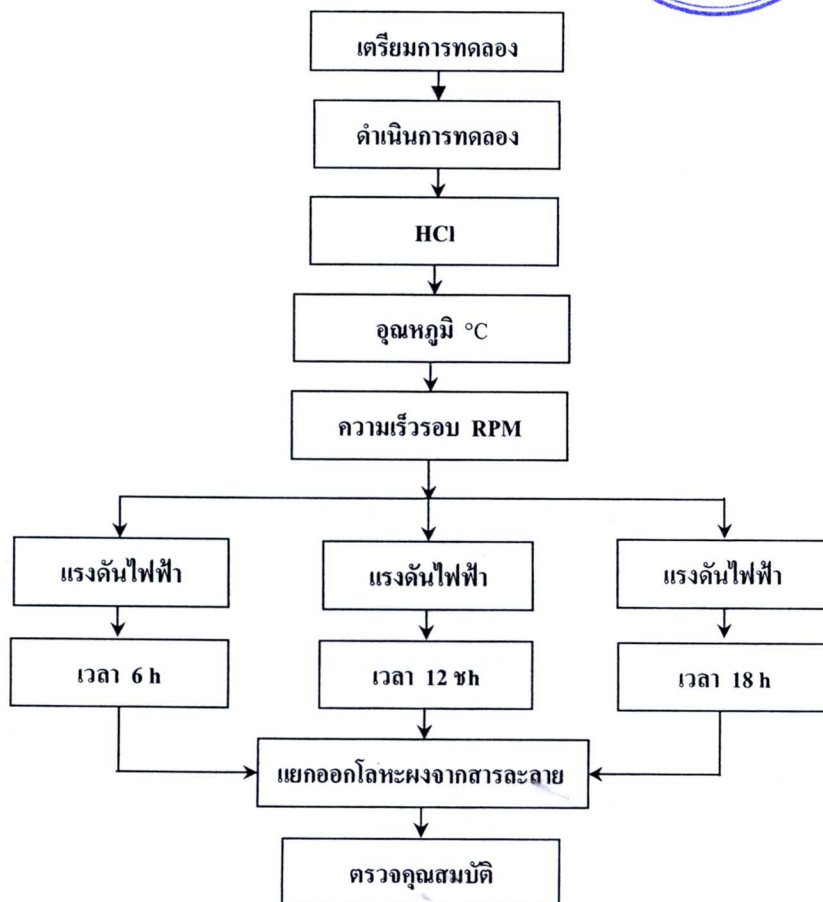


รูปที่ 3.90 ชุดบรรจุชิ้นงานสำหรับกระบวนการแยกสลายเศษซีเมนต์carb ใบด'

จากรูปที่ 3.77 – 3.90 แสดงชิ้นส่วนของเครื่องแยกสลายเศษ โลหะแผ่นมีด สร้างด้วยพลาสติกโพลีไพรีพีลิน (PP) เมื่อประกอบชิ้นส่วนต่างๆ เข้าด้วยกันจะมีขนาดประมาณ 370x383x496 mm. และมีน้ำหนักประมาณ 15 กิโลกรัม ส่วนกำลังด้วยเพื่อขับในการหมุนถังบรรจุชิ้นงาน (Barrel)



3.3.4 การกำหนดตัวแปรเพื่อการทดลอง



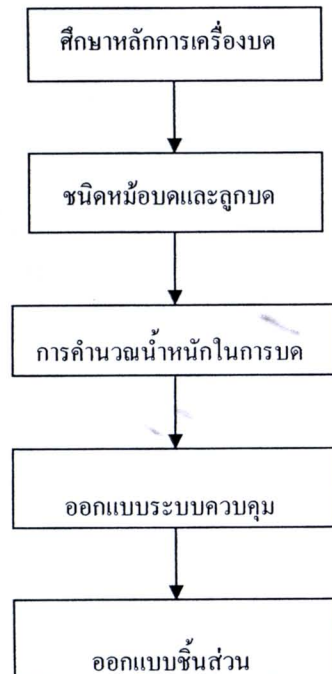
รูปที่ 3.91 แผนภูมิการกำหนดตัวแปรในการทดลอง

สรุปผลการออกแบบสร้างเครื่องแยกสลายเศษโลหะซีเมนต์คาร์ไบด์ ประกอบด้วย ถังบรรจุสารละลายขนาด $450 \times 560 \times 1,040$ mm. ถังพักสารละลายขนาด $450 \times 450 \times 867$ mm. และถังบรรจุชิ้นงาน (Barrel) ขนาดบรรจุ 10 กิโลกรัม ซึ่งทำจากวัสดุพลาสติกโพลีโพรพีลีน (PP) กำหนดตัวแปรในการทดลองแยกสลายเศษซีเมนต์คาร์ไบด์ ด้วยกรดไฮโดรคลอลิก (HCl) แรงดันไฟฟาระหว่าง 0.4 -1.0 โวลต์ (V) ใช้เวลา 18 ชั่วโมง (h) จากนั้นทำการแยกโลหะผงจากสารละลาย และทำการตรวจสอบสมบัติโลหะผงที่ผ่านกระบวนการรีไซเคิล เป็นดัง

3.4 การออกแบบสร้างเครื่องบดโลหะ

3.4.1 ดำเนินการออกแบบ

ในการออกแบบและสร้างเครื่องบดโลหะผงทั้งสเดนคาร์ไปด์ อาศัยข้อมูลข้างต้นได้แก่ คู่มือเครื่องจักรของบริษัท FRITSCH ท.จ.ก. เนติพย์อินโนเวชัน บริษัท พามาลิน จำกัด และอื่นๆ เป็นแนวทางในการออกแบบ มีป้าหมายเพื่อพัฒนาเครื่องขักรสำหรับงานโลหะผงและการลดขนาดให้เล็กลง อาศัยหลักการหมุนและแรงเหวี่ยง โดยใช้แรงเหวี่ยงหนีศูนย์กลางให้ลูกบดตกลงมากระแทกในขณะที่หม้อบดถูกขับให้หมุน ทำให้โลหะผงถูกกระทบด้วยลูกบดที่มีความแข็งสูง บอย ๆ ครึ้ง เป็นเวลานานผงโลหะมีขนาดค่อนข้างเล็กลง ในการออกแบบสามารถสรุปเป็น 5 ขั้นตอนการสร้างดังรูปที่ 3.92

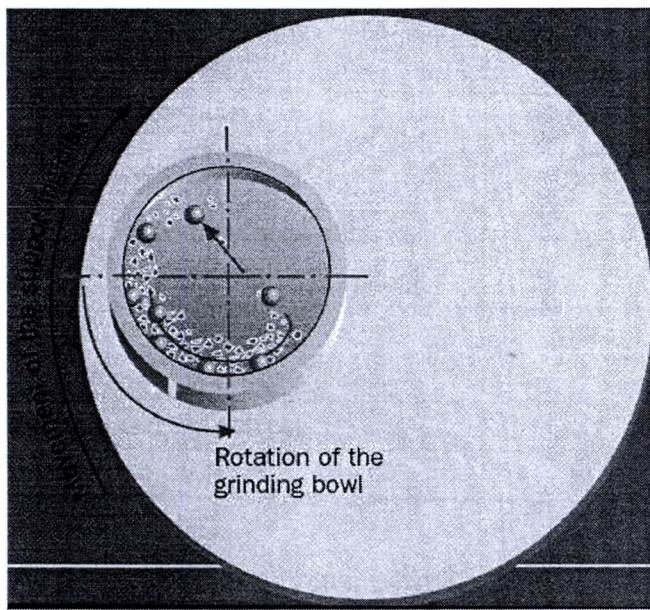


รูปที่ 3.92 ขั้นตอนการดำเนินการออกแบบ

3.4.1.1 หลักการทำงาน

บด หมายถึง การบด (Pulverized) พร้อมกับการผสม หรือการบดเพื่อลดขนาดโลหะผงแต่เพียงอย่างเดียว ภายใต้ระบบการทำงานในหม้อบด (Pot) และลูกบด (Ball) ซึ่งเรียกอีกแบบว่าการทำ Mechanical Alloying" หลักการตกลงทบทองลูกบดโดยอาศัยการหมุนแก้วงของหม้อบดด้วย

ความเร็วรอบในช่วง 200-1,000 รอบ/นาที โลหะที่มีความแข็งแรง (Hard Merterial) ดังเช่นหั้งสเตน คาร์บอนไดออกไซด์ (Tungsten Carbide) นั้นมีนิ่องดและลูกบดต้องเป็น โลหะที่มีสมบัติด้านความแข็งและทนทานต่อการสึกหรอสูงไม่น้อยไปกว่ากันหมายถึงการใช้มีนอง WC และลูกบด WC บดละเอียด โลหะผงหั้งสเตนคาร์บอนซึ่งสามารถทำการบดให้ละเอียดได้



รูปที่ 3.93 แสดงทิศทางการหมุนของลูกบด [58]

จากรูปที่ 3.93 แสดงทิศทางการของการบดโดยอาศัยแรงเหวี่ยงที่เกิดจากการหมุนของงานหลัก (Supporting disk) โดยแรงจากงานหลักจะหมุนตามเข็มนาฬิกาและจะส่งโมเมนต์ให้งานรองที่ขัดติดกับมีนองดให้หมุนทวนเข็มนาฬิกา ซึ่งภายในบรรจุโลหะผงและลูกบด เมื่อลูกบดได้รับแรงจากการหมุนของมีนองดจะเกิดการหมุนไปตามผนังจนลอยถึงจุดสูงสุดและจะตกลงมา ทำให้เกิดการกระแทกกันระหว่างลูกบดและผนังมีนองดหรือระหว่างลูกบดคั่วบกันเองทำให้เกิดการบดละเอียดโลหะผงขึ้น

3.4.2 การเลือกหม้อและลูกบด

ตารางที่ 3.15 ตารางแสดงสมบัติของหม้อบดชนิดต่างๆ [58]

ชนิดวัสดุ (หม้อบดและลูกบด)	ส่วนประกอบ	ความหนาแน่น (g/cm^3)	ความต้านทานการสึกหรอ
หินโนร่า	(99.9 % SiO_2)	2.65	ดี
อะลูมิնัมออกไซด์	(99.7 % Al_2O_3)	3.8	ดีพอใช้
ไซโตรเนียมออกไซด์	(99.5 % ZrO_2)	5.7	ดีมาก
สเตนเลส	Bowl : (17-19 % Cr+ 8-10% Ni) Balls : (12.5 -14.5% Cr +1% Ni)	7.8	ดีพอใช้
โลหะผสม	Bowl : (11-12 % Cr) Balls : (1.0 -16.5% Cr)	7.9	ดี
โลหะแข็งทั้งสเตนเลสและ	(93%WC + 6% Co)	14.7	ดีมาก
ซิลิโคนไนโตรค์	(90% Si_3N_4)	3.1	ดีที่สุด

จากตารางที่ 3.15 แสดงสมบัติของหม้อบดเพื่อการเลือกใช้งานที่เหมาะสมในที่นี่ วัสดุที่เราต้องการบดนั้นเป็นชนิดทั้งสเตนเลสและ ที่มีความหนาแน่นสูง เราจึงควรเลือกวัสดุในการสร้างหม้อบดที่เป็นชนิดเดียวกันกับตัวของวัสดุที่เราต้องการบดหรือที่มีความแข็งแรงกว่ากันจะช่วยให้ขนาดหรือคุณภาพของโลหะคงที่ได้นั่นดียิ่งขึ้น จากตารางที่ 3.6 วัสดุที่เหมาะสมในการใช้สร้างหม้อบดคือ ทั้งสเตนเลสและ ที่มีส่วนผสม 93%WC + 6% Co มีความหนาแน่นสูง 14.7 g/cm^3 สามารถต้านทานการสึกหรอได้ในระดับดีมาก เป็นต้น

3.4.3 การคำนวณน้ำหนักในการบด

ตารางที่ 3.16 ตารางแสดงสมบัติและการคำนวณน้ำหนักของลูกบด [58]

ขนาดของลูกบด		5	10	15	20	30	40
ชนิดวัสดุ	ความหนาแน่น (g/cm³)	น้ำหนักลูกบด (กรัม)					
หินโนรา	2.65	0.17	1.39	4.68	11.10	37.46	88.80
อะกูมินัมออกไซด์	3.8	0.25	1.99	6.72	15.92	53.72	127.34
ไซโคลเนียมออกไซด์	5.7	0.37	2.98	10.07	23.88	80.58	191.01
สเตนเลส	7.8	0.51	4.08	13.78	32.67	110.27	261.38
โลหะผสม	7.9	0.52	4.14	13.96	33.09	111.68	264.73
โลหะแข็งหังสแตนค์ไบค์	14.7	0.96	7.70	25.98	61.58	207.82	492.60
ซิลิกอนไนไตรค์	3.1	0.20	1.62	5.48	12.99	43.83	103.88

จากตารางที่ 3.7 แสดงสมบัติในการเลือกใช้ลูกบด ซึ่งวัสดุที่เราต้องการบดเป็นผงให้หังสแตนค์ไบค์ เพราะจะน้ำหนักจึงเลือกใช้ลูกบดที่ผลิตด้วย โลหะแข็งหังสแตนค์ไบค์ที่มีความหนาแน่น 14.7 g/cm^3 ซึ่งมีให้เลือกหลายขนาดตามความต้องการ ตั้งแต่ ขนาด $5 - 40 \text{ มิลลิเมตร}$

การคำนวณหาน้ำหนักของลูกบด คำนวณโดยใช้น้ำหนักของลูกบดคูณด้วยจำนวนของลูกบด แสดงดังการคำนวณดังนี้

ปริมาตรหม้อบด 250 มิลลิลิตร ต้องการลูกบดชนิดหินโนรา $1,221 \text{ กรัม}$ ลูกบดมีขนาดเส้นผ่านศูนย์กลาง 5 มิลลิเมตร

$$\text{วิธีคำนวณ} \quad 0.17 \times 1221 = 207.57 \text{ กรัม}$$

3.4.4 ระบบการควบคุมและตั้งเวลาในการทำงาน

1) การใช้ความเร็วรอบ โดยปรับเครื่องหมาย + หรือเครื่องหมาย - ตั้งความเร็วรอบในการบดได้ ตั้งแต่ $1 - 600$ รอบต่อนาที (Rpm)

2) การกำหนดเวลา โดยปรับเครื่องหมาย + หรือเครื่องหมาย - ตั้งเวลาในการบด เป็นช่วงเวลาได้ 2 หน่วยเวลา คือ $0-99$ ชั่วโมง และในหน่วยเวลา $0-60$ นาที

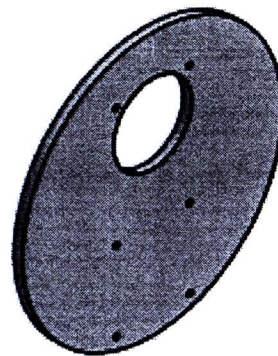
3) มีฟังชั่นตั้งเวลาหยุดพักเครื่อง (ปุ่ม Pause) เพื่อลดอุณหภูมิภายในด้วยการกำหนดขนาดของเวลาตามหน่วยเวลาที่เป็นช่วงโถงในช่วง 0-99 ช่วงโถงและหากเวลาไม่ถูกตั้งให้สามารถปรับได้เป็นนาทีในช่วง 0-60 นาที

4) มีฟังชั่นกำหนดจำนวนรอบในการบดและสามารถตั้งให้หมุนตาม-ทวนเข็มนาฬิกาได้

4) มีปุ่มไฟแสดงฟังชั่น เวลาที่อยู่ระหว่างการทำงานในแต่ละขั้นตอน (Step)

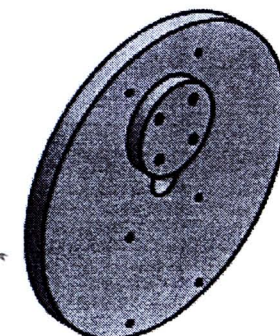
3.4.5 การออกแบบชิ้นส่วน

3.4.5.1 การออกแบบชิ้นส่วนประกอบเครื่องบด



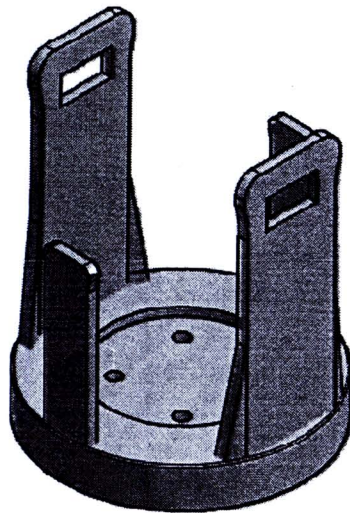
รูปที่ 3.94 ชิ้นส่วนajanหมุนรอง (Cover plate)

จากรูปที่ 3.94 แสดงชิ้นส่วนajanหมุนรอง (Cover plate) ขนาด Ø 300 x 10 มิลิเมตร เป็นวัสดุเหล็กกล้าไร้สนิมเกรด 304 ทำหน้าที่ยึดฐานหม้อบดและยึดชุดปรับสมดุลสำหรับ



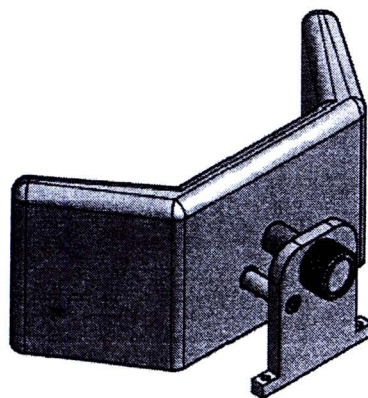
รูปที่ 3.95 ชิ้นส่วนชุดข้อเหวี่ง (Gear box)

รูปที่ 3.95 แสดงชิ้นส่วนของงานชุดข้อเหวี่ยง ภายในประกอบด้วยกลไกการหมุนด้วยข้อเหวี่ยงมีขนาด $\varnothing 300 \times 20$ มิลลิเมตร วัสดุเป็นเหล็ก AISI 1040



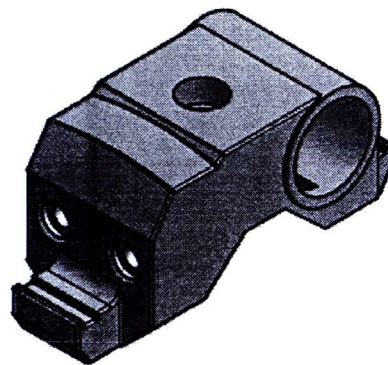
รูปที่ 3.96 ชิ้นส่วนฐานยึดหม้อบด (Bowl holder)

รูปที่ 3.96 แสดงชิ้นงานฐานยึดหม้อบด ขนาด $\varnothing 150 \times 125$ mm วัสดุเหล็กเป็นชนิด AISI 1040 ฐานยึดหม้อบดทำหน้าที่หลักในการยึดแน่นให้หม้อบดติดแน่นป้องกันการร้าวซึ่งของด้วยอย่างในการบดละเอียด



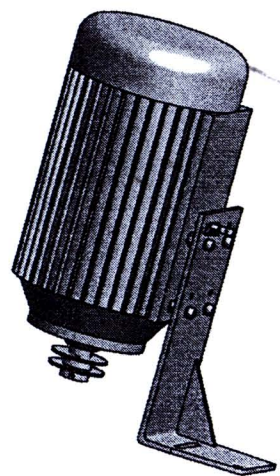
รูปที่ 3.97 ชิ้นส่วนปรับสมดุลน้ำหนัก (Compensation mass)

รูปที่ 3.97 ชิ้นส่วน Compensation mass ขนาด 126x285x24 mm ทำหน้าที่ถ่วงน้ำหนักให้หม้อบดมีความสมดุลก่อนทำการเดินเครื่องบด



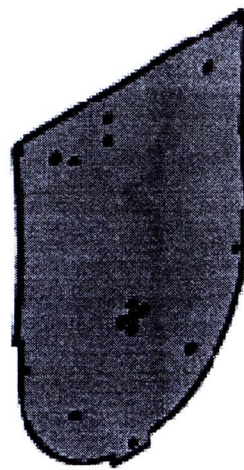
รูปที่ 3.98 ชิ้นส่วนสะพานขันแน่นหม้อบด

รูปที่ 3.98 สะพานล็อกหม้อบด ขนาด 59x143x63.67mm ทำหน้าที่ขันแน่นหม้อบดผลิตด้วยสตูลเหล็ก หล่อสีเท่า



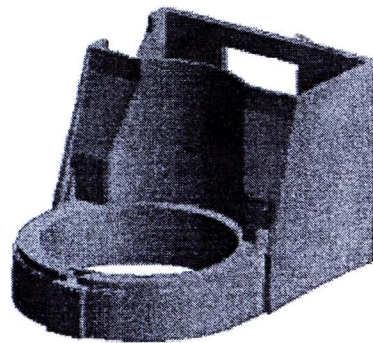
รูปที่ 3.99 มอเตอร์ไฟฟ้า EN 600034

จากรูปที่ 3.99 เป็นมอเตอร์ไฟฟ้าฟ้า ขนาด 0.75 kW ใช้ในการส่งกำลังเพื่อขับจากหมุนหลักทำงานโดยใช้สายพานเป็นตัวเชื่อมระหว่างพูดเลีย์ของงานหมุนหลักและมอเตอร์



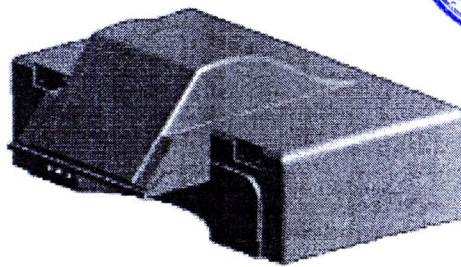
รูปที่ 3.100 ชิ้นส่วนฐานล่าง (Bottom plate)

จากรูปที่ 3.100 แสดงชิ้นส่วนฐานล่าง (Bottom plate) วัสดุเป็นเหล็กสเตนเลส 304 เป็นฐานล่างในการยึดแน่นชิ้นส่วนต่างๆ ขนาดของชิ้นส่วน $377 \times 540 \times 3\text{ mm}$



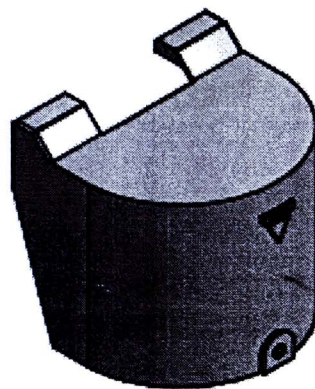
รูปที่ 3.101 ชิ้นส่วนโครงฐานเครื่องบด

รูปที่ 3.101 แสดงโครงภายนอกของเครื่องบด โลหะพง ขนาด $380 \times 480 \times 10\text{ mm}$ เป็นโครงที่ออกแบบให้มีลักษณะเป็นฝาครอบ เปิดให้ยกฝาครอบขึ้น และปิดให้กดฝาครอบลง



รูปที่ 3.102 ชิ้นส่วนฝ่าครอบด้านบนพร้อมจอยแสดงผล

จากรูปที่ 3.102 แสดงฝ่าครอบด้านบนของเครื่องบดโลหะผง พร้อมมือจอยแสดงผลและฟังชั่นการทำงานระบบดิจิตอล

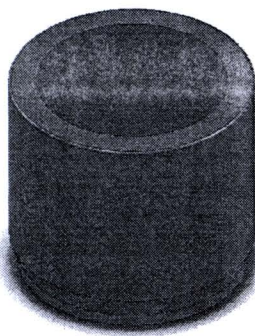


รูปที่ 3.103 ฝ่าปิดเครื่องบด

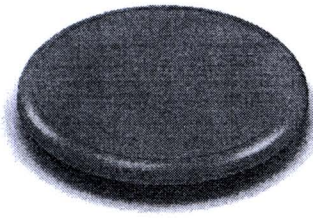
จากรูปที่ 3.103 เป็นฝ่าครอบปิด-เปิด เครื่องบด ลักษณะการทำงานเป็นการเปิดขึ้นลงและมีระบบการปิดล็อกบริเวณด้านหน้าเครื่อง

3.4.5.2 การออกแบบหม้อบด

การดำเนินการออกแบบหม้อบดสำหรับบรรจุโลหะผงทั้งส่วนการนำไปใช้จากการศึกษาความต้องการของฐานรองรับหม้อบดเป็นเกณฑ์ในการอ้างอิงขนาดของหม้อบด ซึ่งขนาดของฐานรองรับหม้อบดนั้นมีขนาดเด่นผ่าศูนย์กลาง 90 มิลิเมตร ซึ่งการกำหนดขนาดต่างๆ ของหม้อบดพร้อมฝ่าดูรายละเอียดได้ในภาคผนวก ค



รูปที่ 3.104 การออกแบบหม้อบดขนาดเส้นผ่าศูนย์กลาง 97.40 x 85 mm



รูปที่ 3.105 การออกแบบฝาหม้อบดขนาดเส้นผ่าศูนย์กลาง 97.40 x 15 mm

จากรูปที่ 3.104 และรูปที่ 3.105 เป็นหม้อบดทั้งสตุ๊กต์ ขนาดเส้นผ่าศูนย์กลาง 97.40 x 85 มิลลิเมตร พร้อมปาปีด ผลิตด้วยโลหะพังทั้งสตุ๊กต์ ใบค์ม้าตราชานจากโรงงาน ทำหน้าที่เป็นภาชนะในการบรรจุวัสดุ พ้ออุกบด เพื่อทำการบดละเอียดโลหะพังทั้งสตุ๊กต์ที่ได้จากการรีไซเคิลซึ่งมีปริมาตรดังนี้

$$\text{จากสมการที่ (2.17)} \quad V = \frac{\pi \cdot h}{4} \cdot (D^2 - d^2)$$

$$D = 97.40 \text{ มม.} \quad d = 75.60 \text{ มม.}$$

$$h = 74.10 \text{ มม.} \quad V = ?$$

แทนค่าในสมการ

$$V = 3.1415 \times 74.10 \text{ mm} / 4 \times (97.40 \text{ mm}^2 - 75.60 \text{ mm}^2)$$

$$V = 58 \times (97.40 \text{ mm}^2 - 75.60 \text{ mm}^2)$$

$$V = 58 \times (3771.4 \text{ mm}^2)$$

$$V = 58 \text{ mm} \times 3771.4 \text{ mm}^2$$

$$V = 58 \text{ mm} \times 3771.4 \text{ mm}^2$$

$$V = 21,574 \text{ mm}^3$$

$$V = 21.6 \text{ cm}^3$$

3.5 การออกแบบสร้างเตาอบไฟฟ้า

3.5.1 คำนวณหาแรงดันไฟฟ้า (Voltage)

ในการออกแบบและสร้างเตาอบไฟฟ้า อาศัยเอกสารอ้างอิงและคู่มือของเครื่องจักร ได้แก่ คู่มือ KANTHAL® HANDBOOK บริษัท ไอเอ็ส อิเล็กทริค จำกัด ห.จ.ก. สมบูรณ์ชัพพลาย เป็นแนวทางในการเลือกใช้งานฮีตเตอร์ให้ความร้อน ซึ่งเป็นฮีตเตอร์ร้อนประภัยให้อุณหภูมิได้สูงสุด 250°C เลือกใช้แรงดันไฟฟ้า 220 Volt 1 Phase เนื่องจากสามารถให้ความร้อนได้เร็ว

$$\text{จากสมการที่ 2.21 ปริมาตรภายในเตา} = W \times L \times H$$

$$= 300\text{ mm} \times 300\text{ mm} \times 300\text{ mm}$$

$$= 27\text{ dm}^3$$

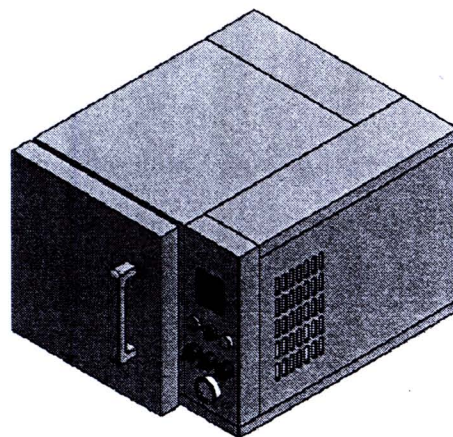
$$\text{จะได้กำลังไฟฟ้า (T30/250A)} = 2\text{ kw}$$

ในทางปฏิบัติจะต้องมีการเพิ่มการสูญเสีย 50%

$$\text{กำลังไฟฟ้าที่ต้องการใช้} = 4\text{ kw}$$

$$\text{ใช้ไฟฟ้า } 220\text{ Volt 1 Phase และมี Power / phase} = 4\text{ kw } / 220\text{ V}$$

$$= 18.18\text{ A}$$

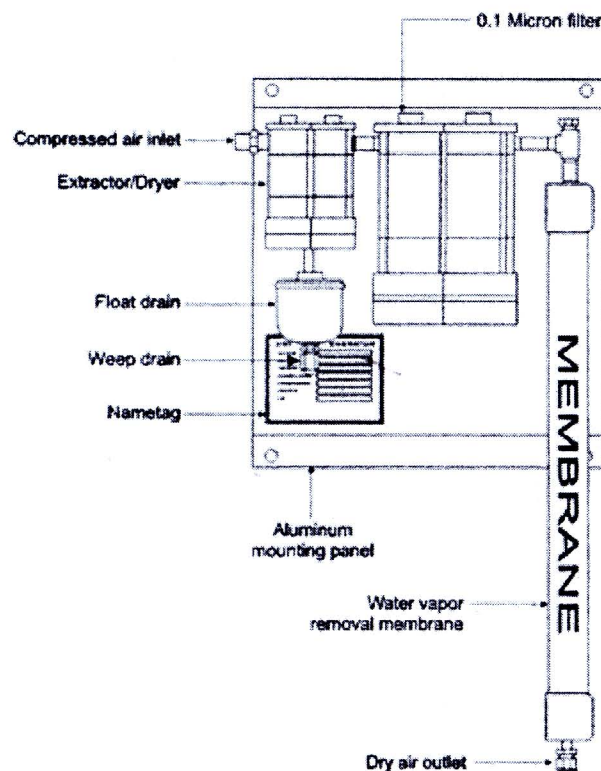


รูปที่ 3.106 เตาอบไฟฟ้าควบคุมการเกิดอุ่นได้

จากรูปที่ 3.106 แสดงเตาอบไฟฟ้าระบบความคุณการเกิดออกไซด์ ซึ่งมีส่วนประกอบสำคัญได้แก่ ตัวเตาอบขนาดถายใน 300x300x330 mm. ชีตเตอร์ให้ความร้อน (Tubular Heater) พร้อมทั้งเชื้อครัววัด พัดลมระบายน้ำความร้อน ปั๊มดูดอากาศชนิด Mechanical pump และชุดควบคุมการทำงาน

3.5.2 ระบบควบคุมการเกิดออกไซด์

ระบบการควบคุมการเกิดออกไซด์นี้ ใช้ปั๊มสูญญากาศในการดูดความชื้นหรืออากาศที่ตกลงอยู่ในถังบรรจุชิ้นงาน จากนั้นจะผ่านระบบควบคุมและให้ความร้อนเพื่อทำให้แห้ง และกรองอีกครั้งก่อนจะปล่อยออกจากระบบ



รูปที่ 3.107 ระบบการทำงานของปั๊มสูญญากาศ [70]

จากรูปที่ 3.107 แสดงส่วนประกอบของปั๊มสูญญากาศ (Vacuum pump) รุ่น ULVAC DA-15D ปั๊มด้วยอัตราเร็ว 12-15 ลิตร/นาที มีองค์ประกอบของระบบการทำงาน คือ

ช่องดูดอากาศเข้า (Compress air inlet) ตัวทำให้แห้ง (Extractor/Dryer) ตัวกรองออก (Float drain) ช่องระบายน้ำอากาศออก (Weep drain) กรอบหุ้มแพงว่างจาร (Aluminum mounting panel) ท่อส่งความชื้น (Water vapor removal membrane) ข้อต่อรับอากาศเข้า (Dry air outlet)

3.5.3 วิธีการผลิตเตาอบไฟฟ้า

ในการผลิตชิ้นส่วนต่างๆ ของเตาอบชิ้นงาน เพื่อประกอบและสร้างเตาอบชิ้นงาน ประกอบด้วยการผลิตชิ้นส่วนงานโลหะแห่น การเชื่อม การประกอบชิ้นส่วนทั้งภายนอกและภายใน เตา รวมถึงโครงสร้างของเตา โดยป้องกันการสูญเสียพลังงานความร้อนภายใน ขั้นตอนการสร้างเตาอบไฟฟ้า ประกอบด้วย การออกแบบและเปลี่ยนแบบชิ้นส่วนแต่ละชิ้น จากนั้นวางแผนการผลิตชิ้นรูปตามแต่ชิ้นส่วนที่ออกแบบไว้ ปรับแต่ง ประกอบ และทดสอบการใช้งาน

สำหรับชิ้นส่วนที่เป็นมาตรฐานหรือชิ้นส่วนสำเร็จรูปอื่น ๆ ซึ่งนอกเหนือจากชิ้นส่วนที่ออกแบบและผลิตแล้ว ชิ้นส่วนต่างๆ เหล่านั้น ได้แก่

- | | |
|---|--------------------------------|
| 1) อุปกรณ์ควบคุมอุณหภูมิ (Temperature Controller DC 1030) 6) ไบเก็ท | |
| 2) ชุด漉ดให้ความร้อน Dia: 1.5mm x 1.3kw | 8) ไฟเบอร์บอร์ด |
| 3) อุปกรณ์วัดอุณหภูมิ (Thermocouple) | 9) หน้าแปลงไฟฟ้า |
| 4) ชุดปืนสำหรับ Vacuum | 10) ข้อต่อสำหรับชุด Vacuum |
| 5) ชุด CONTROL | 11) Solid State Relay 25A 220V |

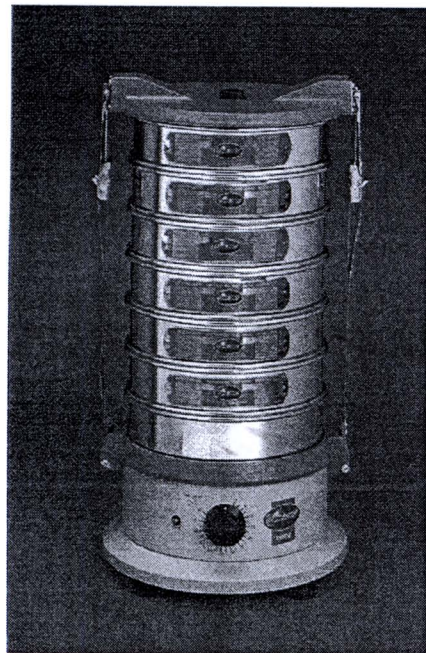
โดยมีรายละเอียดในการออกแบบและเปลี่ยนแบบตามภาคผนวก ๑

3.6 การคัดขนาดอุปกรณ์

3.6.1 การเลือกเครื่องคัดขนาด

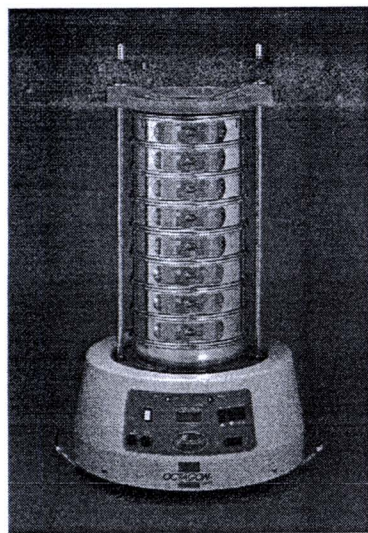
การเลือกใช้งานเครื่องเขย่าตะแกรงสำหรับการใช้งานในห้องปฏิบัติการทดลอง มีหลายรุ่น ขึ้นอยู่กับความเหมาะสมของการใช้งาน ซึ่งมีตัวอย่างนี้

1) เครื่องเขย่าตะแกรงคัดขนาด รุ่น Minor เหมาะสำหรับงานวิเคราะห์ที่ใช้ในห้องปฏิบัติการ มีน้ำหนักเบา, เคลื่อนย้ายสะดวก, น้ำหนักตัวเครื่อง 17 กิโลกรัม ลักษณะการเขย่าแบบ 3 มิติ ตะแกรงวางชั้อนกันได้หลายชั้น



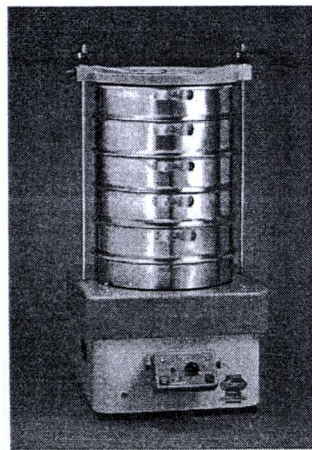
รูปที่ 3.108 เครื่องเขย่าตะแกรงคัดขนาด รุ่น Minor [60]

2) เครื่องเขย่าตะแกรง รุ่น Octagon Digital 2000 เหมาะสำหรับงานวิเคราะห์ที่ในห้องปฏิบัติการ เขย่าแบบ 3 มิติ ใช้ได้ทั้งงานคัดขนาดแห้งและเปียก



รูปที่ 3.109 เครื่องเบ่าตะแกรงคัดขนาด รุ่น Octagon Digital 2000 [60]

3) เครื่องเบ่าตะแกรงคัดขนาด รุ่น Powermatic เหมาะสำหรับโรงงานอุตสาหกรรมทั่วไป มีตะแกรงคัดขนาดใหญ่ เช่นผ่านศูนย์กลาง ตั้งแต่ 12 นิ้ว ถึง 18 นิ้ว



รูปที่ 3.110 เครื่องเบ่าตะแกรงรุ่น Powermatic [60]

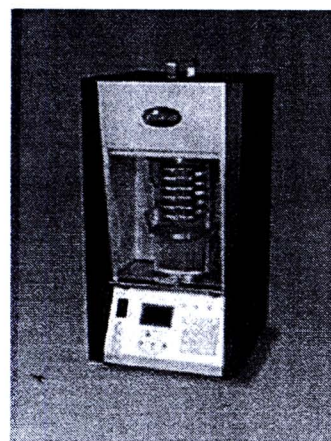
4) เครื่องคัดแยกอนุภาคแบบ Air Jet เหมาะสำหรับคัดแยกอนุภาคที่มีขนาดเล็กและเป็นพง ฟังแหงละเอียด น้ำหนักเบาคัดขนาดอนุภาคที่มีขนาดละเอียดมากๆ ตั้งแต่ 20 ไมครอนขึ้นไป ด้วย ระบบลมดูดที่สามารถควบคุม ความเร็วลมดูด (Negative pressure) ด้วยการปรับที่วาท์เปิดปิดแบบ

คันโยก แสนจะสะดวก และง่ายต่อผู้ใช้ โดยใช้ระบบลมดูด (Vacuum System Unit) ที่ประกอบมา กับตัวเครื่อง ทำงานสันพันธ์การหมุนรอบเป็นแนวราบของส่วนที่เรียกว Nozzle ด้วยความเร็วรอบ 24 รอบ ต่อนาที



รูปที่ 3.111 เครื่องคัดแยกอนุภาคแบบ Air Jet [60]

5) เครื่องคัดขนาดอนุภาคแบบความเร็วสูง เป็นเครื่องคัดขนาดอนุภาคของวัสดุที่เป็นผง ละเอียดและแห้ง สามารถคัดแยกอนุภาคที่ละเอียดมากจนถึง 5 ไมครอน ได้ สามารถคลองกับ ตัวอย่างอนุภาคได้ครึ่งละ halfway ขนาด และรีสูตรในเวลาไม่เกิน 1 นาที อนุภาคที่ได้จากการทดลอง จะ มีขนาดมาตรฐานที่ถูกต้องที่สุด ความคาดเคลื่อน ไม่ถึง $+/- 2$ ไมครอน ตัวตะแกรงมีทั้งแบบทำจาก โลหะสเตนเลส และแบบทำจากโลหะพสมนิกเกล (Electroformed Nickel plate)



รูปที่ 3.112 Sonic Sifter (เครื่องคัดแยกอนุภาคที่ละเอียดมากๆ ด้วยระบบความเร็วสูง) [60]

3.6.2 การเลือกตะแกรงคัดขนาด

ตารางที่ 3.17 แสดงรายละเอียดขนาดตะแกรง มาตรฐาน ASTM (มิลลิเมตร) [60]

 American Standard Sieve Series ASTM E11:95					
Standard (mm)	Alternative	Standard (mm)	Alternative	Standard (mm)	Alternative
125.00	5.00 in	25.00	1 in	4.75	No. 4
106.00	4.24 in	22.40	7/8 in	4.00	No. 5
100.00	4 in	19.00	¾ in	3.35	No. 6
90.00	3½ in	16.00	5/8 in	2.80	No. 7
75.00	3 in	13.20	0.530 in	2.36	No. 8
63.00	2½ in	12.50	½ in	2.00	No. 10
53.00	2.12 in	11.20	7/16 in	1.70	No. 12
50.00	2 in	9.50	3/8 in	1.40	No. 14
45.00	1¾ in	8.00	5/16 in	1.18	No. 16
37.50	1½ in	6.70	0.265 in	1.00	No. 18
31.50	1¼ in	6.30	¼ in		
26.50	1.06 in	5.60	No. 3½		

ตารางที่ 3.17 เป็นตะแกรงคัดขนาดมาตรฐานของ ASTM มีขนาดเส้นผ่าศูนย์รั้วว่าง ¼ - 5 มิลลิเมตร และ No. 3 ½ No.18 สามารถคัดแยกขนาดอนุภาคที่มีขนาดระหว่าง 1- 125 มิลลิเมตร

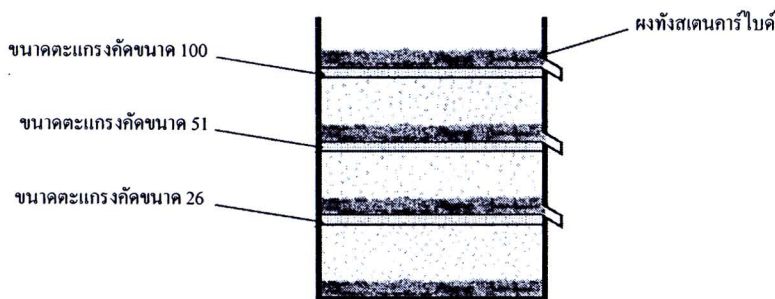
ตารางที่ 3.18 แสดงรายละเอียดขนาดตะแกรง มาตรฐาน ASTM (ไมคอน) [60]

 American Standard Sieve Series ASTM E11:95			
Standard (μm)	Alternative	Standard (μm)	Alternative
850	No. 20	125	No. 120
710	No. 25	106	No. 140
600	No. 30	90	No. 170
500	No. 35	75	No. 200
425	No. 40	63	No. 230
355	No. 45	53	No. 270
300	No. 50	45	No. 325
250	No. 60	38	No. 400
212	No. 70	32	No. 450
180	No. 80	25	No. 500
150	No. 100	20	No. 635

จากตารางที่ 3.18 เป็นตะแกรงคัดขนาดอนุภาคน้ำในระดับไมครอน มีขนาดให้เลือกตั้งแต่ No.20 – No. 635 สามารถคัดขนาดอนุภาคระหว่าง $850 - 20 \mu\text{m}$

3.6.3 การคัดขนาด (Screening)

เป็นเทคนิคที่นิยมใช้โดยทั่วไปแต่พบว่าข้างประสมปัญหาในการใช้ ตะแกรงคัดขนาดมีขนาดแปรผันโดยเฉลี่ยตั้งแต่ 3% ถึง 7% ซึ่งในช่วงที่ยอมรับได้กำหนดโดยผู้ผลิตตะแกรงดังนี้จึงเป็นไปได้ที่แต่ละรูปเปิดอาจมีขนาดใหญ่กว่าขนาดช่องตะแกรงที่กำหนดเกือบ 50% ต่างผลให้การแยกขนาดไม่แตกต่างกันชัดเจน



จากรูปที่ 3.113 แสดงการจำลองการคัดแยกขนาดโลหะผงทั้งสิ่งสารไวบ์ เพื่อจะได้รู้ถึงขนาดของผงที่เราทำการคัดแยก และสามารถนำผงที่ได้ไปใช้ประโยชน์ตามขนาดที่เราได้คัดไว้ โดยใช้ตะแกรงคัดขนาด 3 ขนาด ชั้นแรกจะมีขนาด 100 ไมครอน (μm) ลงลงมา มีขนาด $51 \mu\text{m}$ และ ชั้นล่างสุดมีขนาด $26 \mu\text{m}$ ทำการคัดแยกด้วยวิธีการสั่นของตะแกรงคัดขนาดเพื่อให้ผงตกลงมา จากตะแกรง ลงสู่ชั้nl่างต่อไป

การใช้ตะแกรงคัดขนาดมีประโยชน์ในการเลือกขนาดผงให้ได้ตามต้องการ วิธีการนี้เรียกว่า การจำแนกขนาดอนุภาคและใช้ในการปรับปรุงแจกแจงขนาดอนุภาค ในการนำไปประยุกต์ใช้ในงานหลายอย่าง ความสามารถของกระบวนการผลิตของผงอนุภาคขึ้นกับการควบคุมขนาดอนุภาคดังนั้นการคัดขนาดจึงช่วยกำจัดขนาดผงที่ไม่ต้องการออกไปได้



3.7 การออกแบบแผ่นมีดและแม่พิมพ์

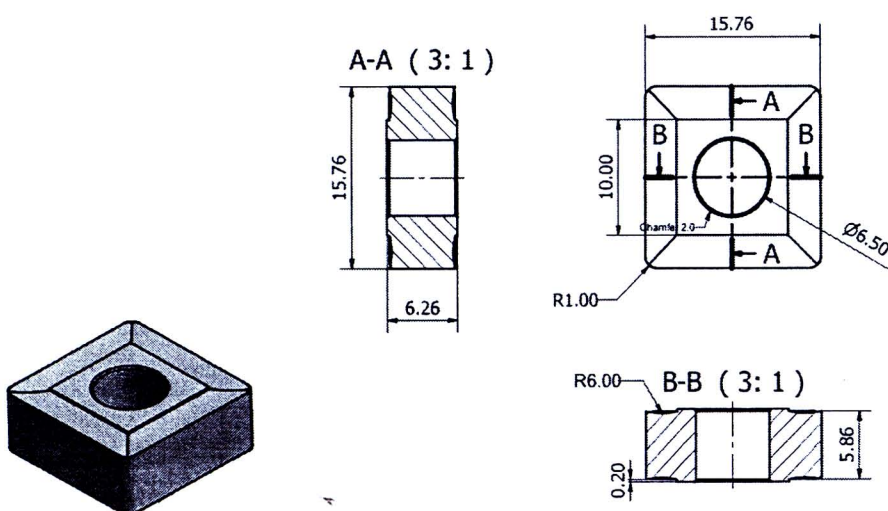
3.7.1 การออกแบบขนาดแผ่นมีดตัด

การออกแบบแม่พิมพ์สำหรับการอัดขึ้นรูปมีความสัมพันธ์กับขนาดแผ่นมีดตัด ทำ การตรวจสอบขนาดแผ่นมีดตัดหลังการอัดขึ้นรูปเพื่อประกอบการออกแบบแม่พิมพ์

ตารางที่ 3.19 การตรวจสอบชิ้นงานแผ่นมีดตัดหลังการอัดขึ้นรูป

ส่วนผสม รายการ	รีไซเคิล 3%Co	รีไซเคิล 6%Co	รีไซเคิล 6%Co	นำเข้า 6%Co	นำเข้า 9%Co	ค่าเฉลี่ย
ความกว้าง (mm)	15.76	15.74	15.76	15.75	15.76	15.754
ความยาว (mm)	15.78	15.72	15.75	15.74	15.76	15.75
Ø รูใน (mm)	6.38	5.70	6.41	6.38	6.38	6.25
ความหนา (mm)	6.37	6.70	6.53	6.60	6.45	6.53

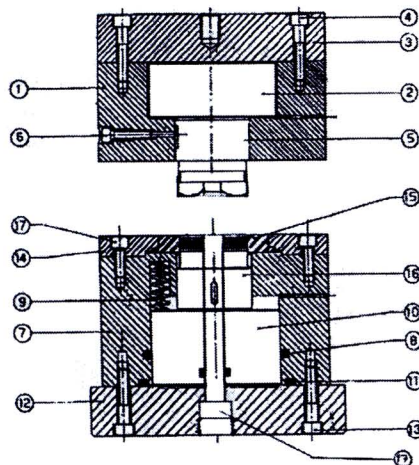
จากตารางที่ 3.19 แสดงการตรวจสอบขนาดชิ้นงานหลังการอัดขึ้นรูป ที่อัตราส่วนผสม 3-9%Co จากการตรวจสอบพบว่าชิ้นงานเหลี่ยมน้ำดีประมาณ $15.76 \times 17.76 \times 6.26$ mm (กว้างxยาวxหนา) และมีขนาดเส้นผ่านศูนย์กลางรูใน 6.50 mm



รูปที่ 3.114 การออกแบบแผ่นมีด

จากรูปที่ 3.114 เป็นแผ่นมีดตัด ใช้ในงานกลึงปอกผิวชิ้นงาน เป็นแผ่นมีทรงมาตรฐาน ทรง S ขนาด $15.76 \times 15.76 \times 6.26$ มิลลิเมตร มีรูตรงกลางสำหรับขันยึดกับป้อมมีด แผ่นมีดลักษณะนี้ เหมาะสำหรับงานที่มีข้อจำกัด ผิวชิ้นงานแห้งกระด้าง หรือมีแรงกระแทกหนักๆ ทำงานได้กับวัสดุเนื้อนิ่ม กลึงปอกผิวคิบ ปรับลดขนาดชิ้นงานได้ตามความแข็งแรง

3.7.1.1 การกำหนดส่วนประกอบของแม่พิมพ์



รูปที่ 3.115 การออกแบบแม่พิมพ์อัดแผ่นมีด

จากรูปที่ 3.115 ขอ匕ายหมายเลขส่วนประกอบของชุดแม่พิมพ์ที่ใช้ในการขีนรูปชิ้นงาน ซึ่งเมนต์ทั้งสetenาระบบประกอบด้วยส่วนประกอบดังต่อไปนี้

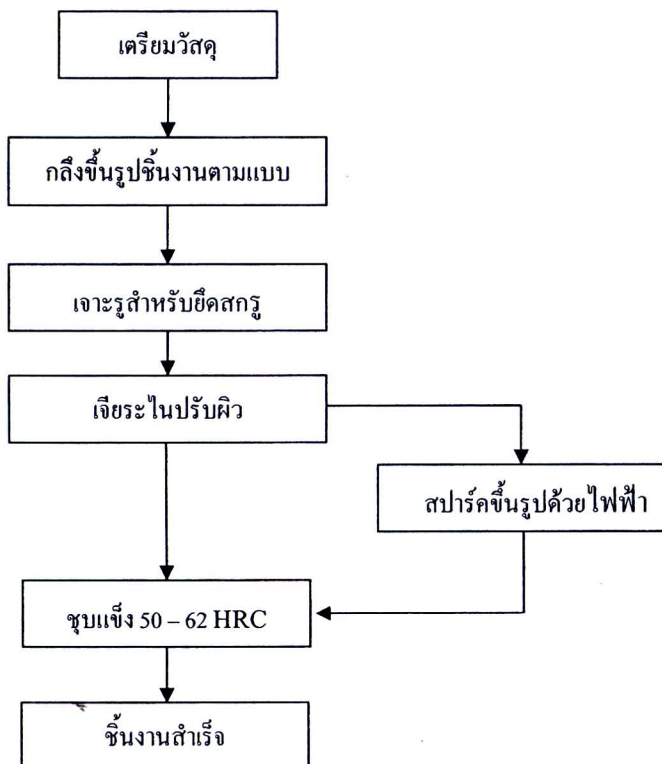
- | | | |
|---------------------|---------------|----------------------|
| 1. Upper die holder | 2. Upper boss | 3. Attachment flange |
| 4. M8x50 screws | 5. Upper die | 6. Fixing screw |
| 7. Lower die holder | 8. Packing | 9. Spring |
| 10. Lower boss | 11. Packing | 12. Support plate |
| 13. Screws | 14. Ring | 15. Knurled collar |
| 16. Lower die | 17. Core pin | |

3.7.2 ขั้นตอนการสร้างแม่พิมพ์

การเตรียมงานได้มีการออกแบบรูปร่าง ขนาด ของแม่พิมพ์อัดขึ้นรูป เมื่อออกแบบรูปร่างขนาดและชิ้นส่วนต่างๆ ของแม่พิมพ์จะทำการเขียนแบบ เมื่อเสร็จแล้วจะได้มีการจัดซื้อวัสดุที่จะเป็นส่วนประกอบอื่นๆ และจัดเตรียมเครื่องมือเครื่องจักร ที่จะใช้ในการสร้างได้แก่

- | | |
|--------------------------------|--|
| 1) เครื่องกลึง | 2) เครื่องกัด |
| 3) เครื่องไส | 4) เครื่องเลื่อย |
| 5) เครื่องเจาะ | 6) เครื่องมือวัด เช่น เวอร์เนียร์ ไมโคร คลับเมตร |
| 7) เพลา SCM4 Ø 230 x L 40 mm | |
| 8) เพลา SCM4 Ø 180 x L 120 mm | 9) เพลา SCM4 Ø 180 x L 35 mm |
| 10) เพลา SCM4 Ø 170 x L 120 mm | 11) เพลา SCM4 Ø 225 x L 40 mm |
| 12) เพลา SCM4 Ø 102 x L 85 mm | 13) เพลา XW42 Ø 102 x L 40 mm |
| 14) เพลา SCM4 Ø 102 x L 50 mm | 15) เพลา SCM4 Ø 60 x L 65 mm |
| 16) เพลา DC53 Ø 50 x L 70 mm | 17) เพลา DC53 Ø 25 x L 10 mm |

การออกแบบสร้างแม่พิมพ์สำหรับอัดขึ้นรูปชิ้นงานแผ่นมีดซีเมนต์ทั้งสetenคราวไปด้วยกัน
กระบวนการโดยสังเขปได้ดังนี้



รูปที่ 3.116 แสดงขั้นตอนการผลิตแม่พิมพ์

จากรูปที่ 3.116 เป็นขั้นตอนการผลิตชิ้นส่วนแม่พิมพ์สำหรับอัดขึ้นรูปชิ้นงานแผ่นมีดทั้งสetenการ์ไบด์ เริ่มด้วยการเตรียมวัสดุ ทำการกลึงขึ้นรูปชิ้นงานตามแบบ พร้อมเจาะรูสำหรับสกรูยึดแน่น ทำการเจียร์ในตอกแต่งผิว แล้วนำชิ้นส่วนไปผ่านขั้นตอนการสปรอคขึ้นรูปด้วยไฟฟ้า ทำการชุบแข็งในขั้นตอนต่อมาแล้วทำการอบผนก ต่อจากนั้นเจียร์ในตอกแต่งผิวสำเร็จเป็นต้น

3.8 การออกแบบสร้างเครื่องอัดระบบไฮดรอลิกส์ (Hydraulic Press)

ในการเตรียมงาน ได้มีการออกแบบรูปร่างขนาด และประสิทธิภาพ ของเครื่องอัดชิ้นงาน แผ่นมีดโดยใช้ระบบไฮดรอลิกส์ไฟฟ้าเป็นตัวควบคุมการทำงาน หลังจากนั้นจึงได้ทำการออกแบบขนาดและคำนวณค่าต่างๆ ดังนี้

1. ออกแบบให้แรงอัดของเครื่องมีกำลังอัด 300 ตัน
2. ใช้มอเตอร์กำลัง 10 HP 3 สาย 380 V
3. ใช้ระบบไฟฟ้าควบคุมระบบอกรถูกด้วยและระบบอกรถูในแม่พิมพ์ปลดชิ้นงาน, manual และ semi – auto
4. ปรับตั้งปุ่ม Pressure switch ปรับตั้งกำลังอัดสูงสุดได้ 300 ตัน

3.8.1 การคำนวณหาขนาดของอุปกรณ์ในระบบไฮดรอลิกส์

ระบบอกรถูมี ขนาด $\varnothing 390 \text{ mm}$, มีความดัน 260 bar

การคำนวณหาแรงสูดของระบบอกรถูที่สามารถใช้ได้

$$\begin{aligned} \text{จากสมการ (2.20)} \quad F &= PA \\ A &= 1,195 \text{ cm}^2 \end{aligned}$$

$$F = 265.2 \frac{\text{kg}}{\text{cm}^2} \times 1,195 \text{ cm}^2$$

$$= 316,914 \text{ kg}$$

$$= 317 \text{ ton}$$

หากความเร็วของระบบอกรถู

$$\text{จากสมการ (2.21)} \quad V = \frac{GPM \times 231}{A(\text{in}^2 \times 60)}$$

เมื่อ

$$\begin{aligned} GMP &= 8.9 \text{ (pump } 13.7 \text{ l/min)} \\ A &= 1,256 \text{ cm}^2 = 24.72 \text{ in}^2 \end{aligned}$$

$$\begin{aligned} V &= \frac{8.9 \times 231}{24.72 \times 60} \\ &= 1.4 \text{ in/sec} \\ &= 35.56 \text{ mm/sec} \end{aligned}$$

หาขนาดของมอเตอร์ไฟฟ้า

จากสมการ (2.22) $HP = \frac{P \times LMP}{450 \times 0.9}$

$$\begin{aligned} &= \frac{256.2 \text{ kg/cm}^2 \times 13.7}{450 \times 0.9} \\ &= 8.66 \approx 10 \text{ HP} \end{aligned}$$

การคำนวณคำนวณอัตราการไหลที่ใช้กับมอเตอร์ไฮดรอลิกส์

มอเตอร์ขนาด 10 HP ดูอัตราการไหลจากแคตตาล็อกได้ $2.6 \text{ in}^3/\text{rev}$

จากสมการ (2.23) $GPM = \frac{V(\text{in}^3 \times rpm)}{231}$

$$\begin{aligned} &= 2.6 \times \frac{1,440}{231} \\ &= 16.21 \text{ GPM} \end{aligned}$$

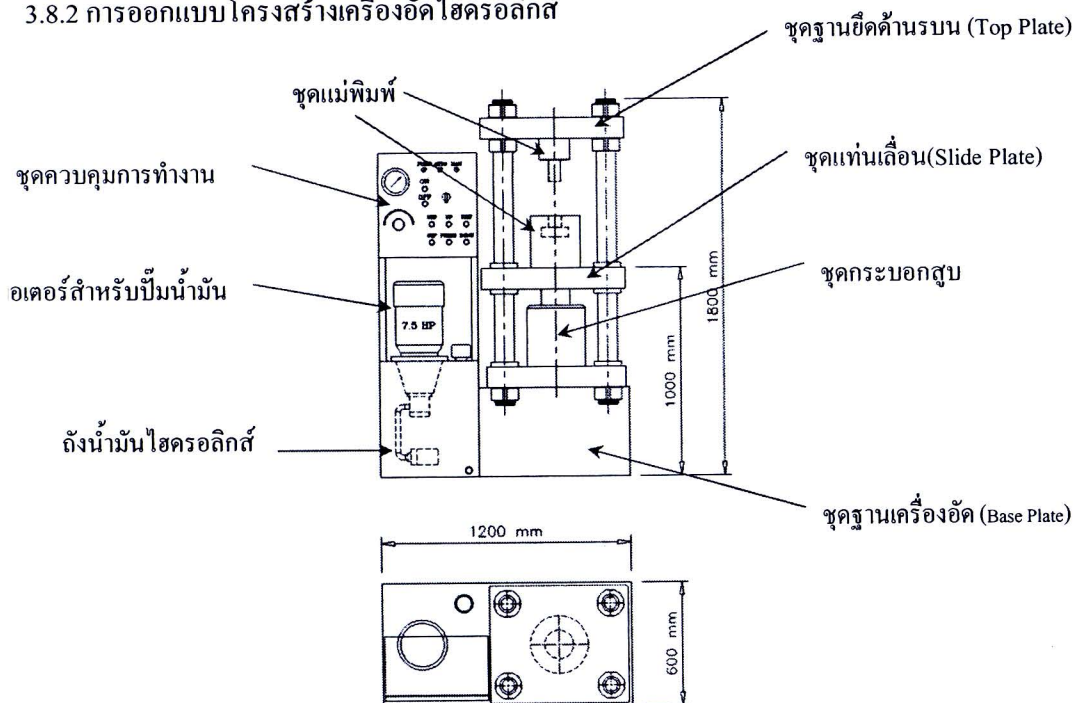
การคำนวณขนาดของปั๊ม จากสมการ (2.24)

สูตร $Q = VA$

$$\begin{aligned} &= 35.56 \frac{\text{mm}}{\text{sec}} \times 1,195 \text{ cm}^2 \times 0.006 \\ &= 7.47 \text{ LPM} \\ &= 1.97 \text{ GPM} \end{aligned}$$



3.8.2 การออกแบบโครงสร้างเครื่องอัดไฮดรอลิกส์



รูปที่ 3.117 ส่วนประกอบเครื่องอัดระบบไฮดรอลิกส์ กำลังอัดสูงสุด 300 ตัน

จากรูปที่ 3.117 เป็นส่วนประกอบของเครื่องอัดระบบไฮดรอลิกส์ ขนาดกำลังอัดสูงสุด 300 ตัน กว้าง 0.6 เมตร ยาว 1.2 เมตร สูง 1.8 เมตร ซึ่งมีส่วนประกอบดังนี้ ชุดควบคุมการทำงาน (Control panel) อะเตอร์ขับปั๊มน้ำมันไฮดรอลิกส์ ชุดฐานเครื่องอัด (Base plate) ชุดแท่นเลื่อน (Slide plate) และชุดกรอบอัดสูบ (Compressing frame) เป็นต้น

3.9 รวมรวมข้อมูลและวิเคราะห์

การวิเคราะห์ว่าสุดที่จะนำมาสร้างเครื่องแยกสายเศษซึ่งเป็นตัวแทนการ “ไปด้วยระบบ เกมไฟฟ้า ศึกษาค้นคว้าและรวมรวมข้อมูลต่างๆ เช่น สิทธิบัตร สิทธิบัตร United States Patent No. 4,234,333 ซึ่งได้นำเสนอส่วนต่างๆ ของเครื่องจากวัสดุชนิดและหน้าที่ ในการศึกษาเกี่ยวกับวัสดุที่มีสมบัติทนความร้อน ทนการกัดกร่อนของสารละลายกรดได้ ให้เหมาะสมกับข้อมูลและ ประยุกต์ใช้ในการดำเนินการสร้างเครื่องและสร้างอุปกรณ์ในการทดสอบ

การวิเคราะห์ออกแบบเครื่องและระบบการทำงานของเครื่องแยกสลายเศษซีเมนต์ทั้งส데น การนำไปด้วยระบบเคมีไฟฟ้า ได้ศึกษาการออกแบบเครื่องเกี่ยวกับระบบการทำงานของเครื่อง เพื่อให้ เครื่องทำงานอย่างมีประสิทธิภาพ ลดขั้นตอนการทำงาน และให้เกิดความปลอดภัยของผู้ทดลอง

การวิเคราะห์ออกแบบขนาดทดลอง เพื่อกำหนดและวางแผนการทดลองปฏิบัติตาม ขั้นตอนของการวนการ ให้มีประสิทธิภาพที่ดีที่สุด เช่น การปรับเปลี่ยนแรงดันไฟฟ้า กระแสไฟฟ้า อุณหภูมิ ความเร็วรอบ สารละลายที่ใช้และทดลองตามเป้าหมายที่วางไว้

การวิเคราะห์ออกแบบเครื่องบดและระบบการการบดในภาชนะทรงกระบอกที่บรรจุด้วย ลูกบอลและวัสดุที่ต้องการทำให้เป็นผง การออกแบบได้รวมรวมข้อมูลจากคู่มือของ บริษัท Fritsch เป็นการออกแบบเครื่องบดโดยอาศัยหลักการ การหมุนของภาชนะทำให้เกิดการชนกันอย่าง ต่อเนื่องของลูกบอลกับวัสดุที่ต้องการบด การออกแบบเพื่อการปรับลดขนาดโลหะลงให้มี ประสิทธิภาพดีที่สุด ในผลิตที่ดี สามารถที่จะใช้งานเครื่องบดได้สะดวก ซึ่งการบดที่มีคุณภาพ นั้นมีปัจจัยต่างๆ ที่มีอิทธิพลต่อการบดลงโหว อาทิเช่น การปรับหรือตั้งเวลา ความเร็วรอบ จำนวน รอบ ลักษณะการหมุน ตามเข็ม – ทวนเข็มนาฬิกา เป็นต้น

การวิเคราะห์ออกแบบเตาอบชีนงานระบบป้องกันการเกิด Oxidation เป็นการอบในสภาวะ สุญญากาศ ปัจจัยที่สำคัญในการอบนั้น ได้แก่ อุณหภูมิ ขนาดภาชนะ ภาชนะบรรจุชีนงาน การ เลือกใช้งานอิฐเตาร์ให้ความร้อน กำลังไฟฟ้าที่เหมาะสม เป็นต้น

การออกแบบเครื่องอัดระบบไฮดรอลิก และระบบการทำงาน การเลือกอุปกรณ์ต่างๆ กำลัง อัดสูงสุดที่ต้องการ ซึ่งได้อาศัยข้อมูลจากหนังสือ เรื่อง ระบบนิวแม่ตริกส์และไฮดรอลิกส์ แต่งโดย รองศาสตราจารย์วันชัย จันทรวงศ์ สถาบันเทคโนโลยีพระจอมเกล้าพระนครเหนือ ในการออกแบบ และเลือกใช้อุปกรณ์ให้เหมาะสมในการใช้งาน ซึ่งเครื่องจักรในระบบไฮดรอลิกส์นั้นมี องค์ประกอบสำคัญได้แก่ ชุดตันกำลัง ซึ่งประกอบด้วย มอเตอร์ไฟฟ้า ปั๊มไฮดรอลิกส์ และวาล์ว ควบคุมความดัน โครงเครื่องอัด ฐานล่าง (Base Plate) กระบอกและก้านสูบไฮดรอลิกส์ แท่นเลื่อน (Slide Plate) ชุดแท่นกด (Top Plate) ชุดควบคุม (Control)

การออกแบบแม่พิมพ์ที่ใช้ในการอัดแน่น การออกแบบชิ้นส่วนประกอบด้วย แม่พิมพ์ตัว บน (Upper punch) แม่พิมพ์ตัวกลาง (Die) แม่พิมพ์ตัวล่าง (Lower punch) แท่งแกนกลาง (Core pin) ฐานยึดแน่นแม่พิมพ์ตัวล่าง (Lower plate) ฐานยึดแม่พิมพ์ตัวบน (Upper plate) เป็นต้น การ ออกแบบแม่พิมพ์ในส่วนที่เกี่ยวข้องในการใช้งานจำเป็นต้องทราบปริมาณผงที่จะเดิน การรับแรง ขณะใช้งาน เพื่อป้องกันการการสึกหรอของแม่พิมพ์เพื่อให้มีอายุการใช้งานยาวนานขึ้นด้วย

3.10 ออกรูปแบบการทดลอง

การออกรูปแบบการทดลองมีขั้นตอนการดำเนินการดังนี้

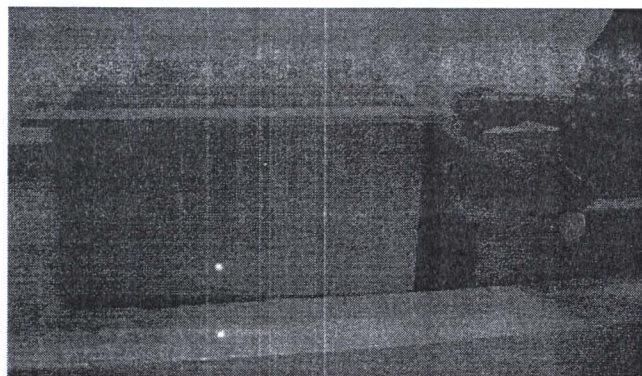
- 3.10.1 ศึกษาชนิดของแผ่นมีดตัดเชิงเส้นต์ทั้งสตีลและไบค์
- 3.10.2 เตรียมอุปกรณ์ วัสดุสำหรับการทดลอง
- 3.10.3 ออกรูปแบบวิธีการทดลองถ้วยโดยระบบเคมีไฟฟ้า
- 3.10.4 ทำการทดลอง
 - 1) แยกถ้วยเชิงเส้นต์ทั้งสตีลและไบค์
 - 2) อบโลหะผงทั้งถ้วยและไบค์
 - 4) ตรวจสอบสมบัติโลหะผงทั้งสตีลและไบค์
 - 5) ปรับลดขนาดโดยวิธีการบดโลหะผงทั้งสตีลและไบค์
 - 6) เตรียมโลหะผงทั้งสตีลและไบค์สำหรับอัดขึ้นรูป
 - 7) อัดขึ้นรูปโลหะผงทั้งสตีลและไบค์จากกระบวนการแยกถ้วย
- 3.10.5 ตรวจสอบคุณภาพโลหะผง
- 3.10.6 วิเคราะห์และสรุปผลการทดลอง

3.11 การดำเนินการติดตั้งและทดสอบ

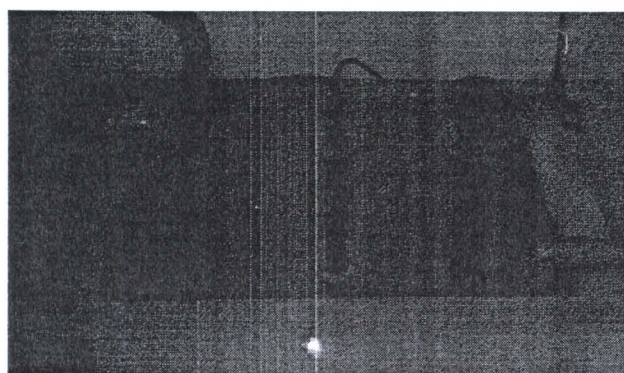
การดำเนินการสร้างเทคโนโลยีที่จำเป็นในการผลิตโลหะผงทั้งสตีลและไบค์นั้นได้ดำเนินการจัดสร้างตามขั้นตอน จากนั้นจึงทำการติดตั้งเพื่อดำเนินการทดสอบระบบต่างๆ เพื่อความเหมาะสม ในการใช้งาน ซึ่งประกอบด้วยเครื่องจักรต่างๆ เช่น เครื่องแยกถ้วยเชิงเส้นต์ทั้งสตีลและไบค์ เตาอบไฟฟ้าระบบป้องกันการเกิด Oxidation เครื่องบดโลหะผงทั้งสตีลและไบค์ เครื่องอัดขึ้นรูป ชิ้นงานแผ่นมีดตัด และ แม่พิมพ์สำหรับอัดขึ้นรูปชิ้นงานเชิงเส้นต์ทั้งสตีลและไบค์

3.11.1 ขั้นตอนการติดตั้งเครื่องแยกถ้วยเชิงเส้นต์ทั้งสตีลและไบค์

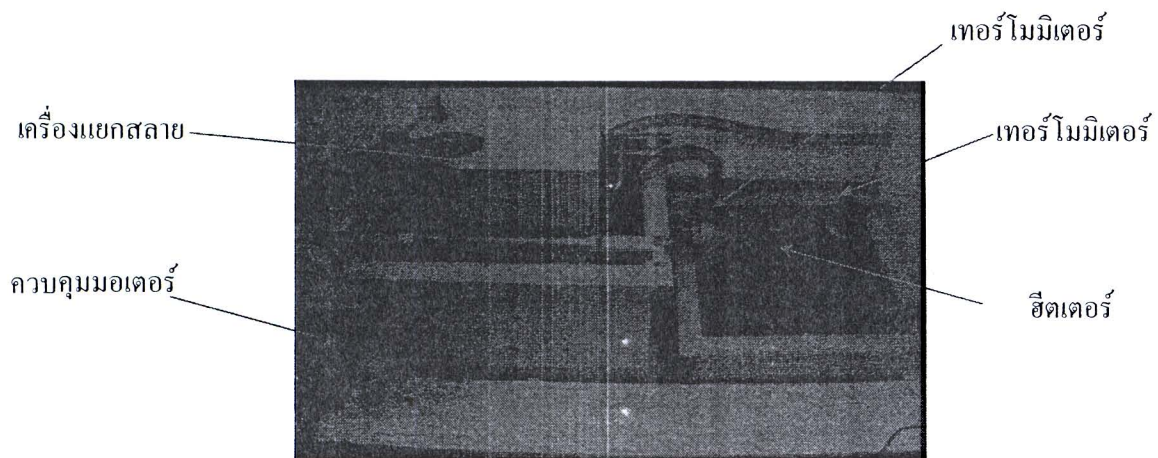
ในการออกรูปแบบและผลิตเทคโนโลยีที่ใช้ในการผลิตโลหะผงทั้งสตีลและไบค์ซึ่งในส่วนของการติดตั้งใช้งาน ได้แก่ การติดตั้งเครื่องแยกถ้วยเชิงเส้นต์ทั้งสตีลและไบค์ การติดตั้งและทดสอบเครื่องบดโลหะผง การติดตั้งและทดสอบเตาอบชิ้นงานระบบควบคุมการเกิด Oxidation การติดตั้งและทดสอบเครื่องอัดระบบไฮดรอลิกส์



รูปที่ 3.118 การติดตั้งปั้งบรรจุสารละลายน้ำหนัก



รูปที่ 3.119 การติดตั้งชุดควบคุมและตรวจวัดอุณหภูมิ

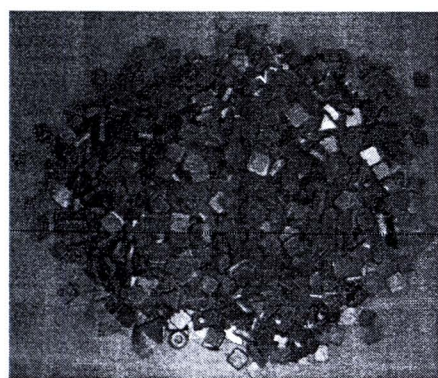


รูปที่ 3.120 แสดงส่วนประกอบในการแยกสลายเศษโลหะ

รูปที่ 3.120 ชุดเครื่องแยกสลายประกอบติดตั้งเรียบร้อยแล้ว พร้อมแยกสลายได้
ประกอบด้วย ชุดแยกสลายบาร์เรล ฮีตเตอร์ เทอโนมิเตอร์ และ ชุดควบคุมการมอเตอร์เป็นต้น

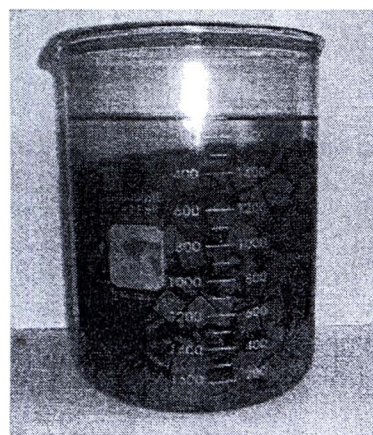
1) ขั้นตอนการทดลองแยกสลาย

ในขั้นตอนของการแยกสลายเศษซีเมนต์ทั้งสetenครัวใบด์ สามารถอธิบายแต่ละ
ขั้นตอนการดำเนินการ ได้ดังนี้



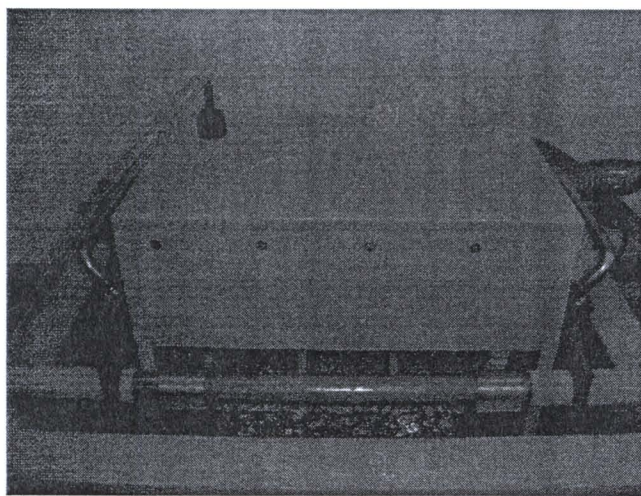
รูปที่ 3.121 เศษซีเมนต์ทั้งสetenครัวใบด์

จากรูปที่ 3.121 เป็นการเตรียมเศษโลหะแผ่นมีด ทำการซั่งน้ำหนักให้ได้ 10 กิโลกรัม ตามที่
กำหนดไว้เพื่อทำการแยกสลายต่อไป



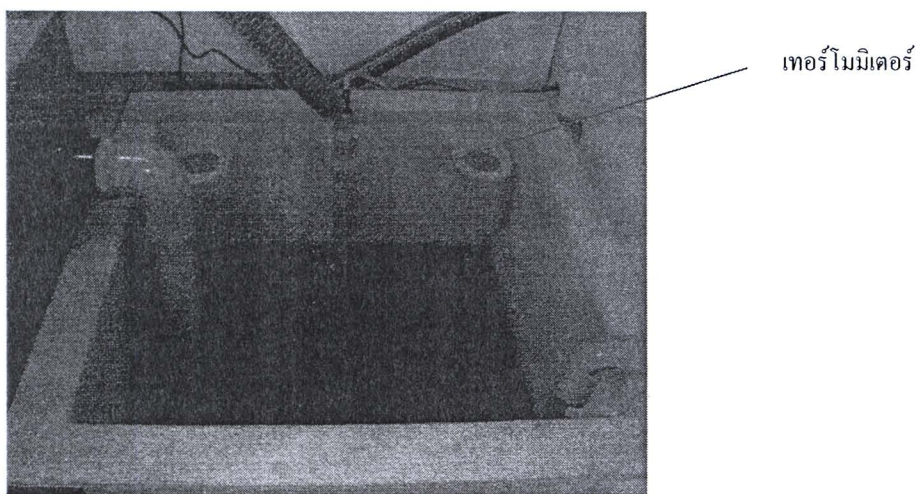
รูปที่ 3.122 การทำความสะอาดด้วยแอลกอฮอลล์

ทำความสะอาดเศษแผ่นมีด โดย การถางคิ้วยแลกอหอหอตัวบริสุทธิ์



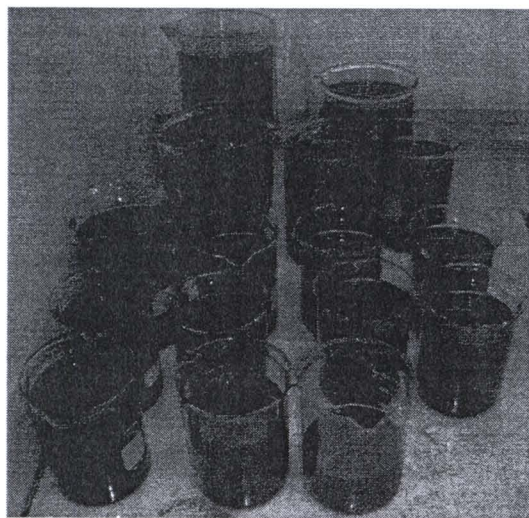
รูปที่ 3.123 แสดงสภาพขณะเครื่องกำลังทำการแยกสลาย

นำเศษแผ่นมีดใช้งานแล้ว ใส่ลงในช่องบรรจุชิ้นงาน และทำการแยกสลายภายใต้แรงบดจากสารละลายกรด HCl ความเข้มข้น 1 N



รูปที่ 3.124 ประกอบเทอร์โมมิเตอร์

เมื่อทำการเปิดเครื่องเพื่อทำการแยกสายแล้ว ให้ประกอบเทอร์โนมิเตอร์เข้ากับถังพักสารละลายเพื่อตรวจสอบอุณหภูมิ



รูปที่ 3.125 สารละลายพักให้ติดตะกอน

จากรูปที่ 3.125 เมื่อทำการแยกสายครบตามกำหนดเวลาแล้ว ให้ทำการระบายน้ำสายออก และนำมาพักให้ติดตะกอนภายในบิกเกอร์

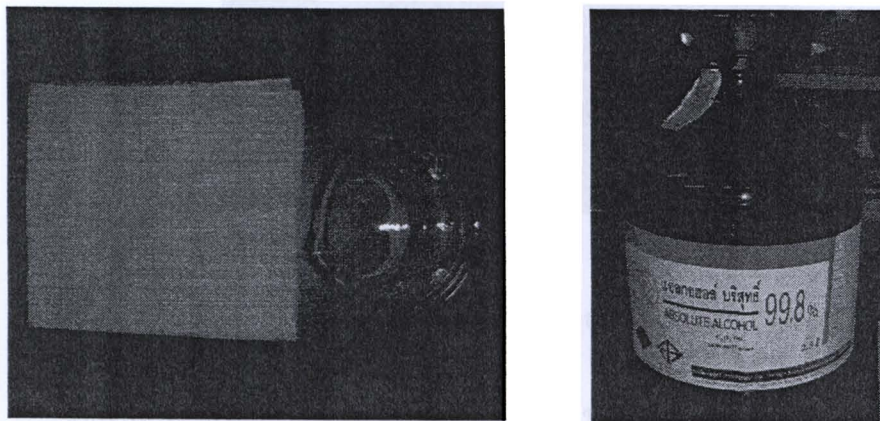


รูปที่ 3.126 ตะกอนโคลนที่ผ่านกระบวนการแยกสาย

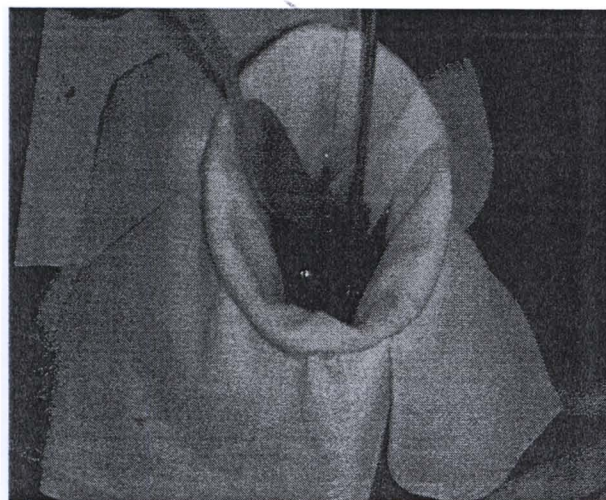
เมื่อสารละลายน้ำกอนแล้ว ให้น้ำตะกอนโคลนมาทำการล้างเพื่อเจือจางความเป็นกรด ด้วยการใช้ Ethanol บริสุทธิ์ 99.8% ล้าง 3-5 ครั้ง

2) ขั้นตอนการบดโลหะพง

เตรียมอุปกรณ์ในการกรองผงทั้งสูตetenการ์ไบค์ก่อนนำไปบด ได้แก่ เตรียมผ้ากรอง บิกเกอร์ และแอลกอฮอล์

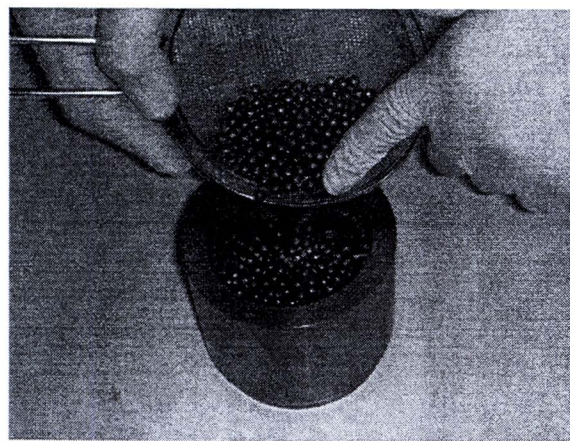


รูปที่ 3.127 อุปกรณ์ในการกรองโลหะพง



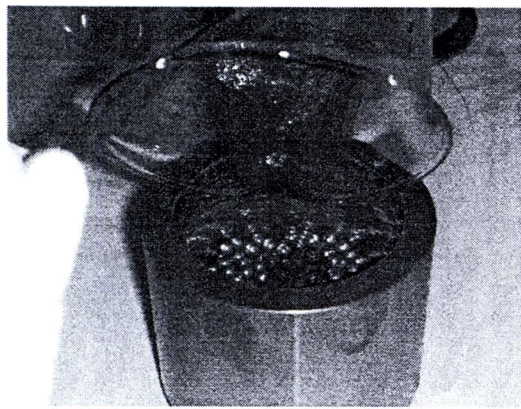
รูปที่ 3.128 การกรองโลหะพง

จากรูปที่ 3.128 เป็นขั้นตอนการกรองโลหะผง โดยกรองผ่านผ้าฝ้ายเพื่อทำให้ชาตุ
เกือปนอื่นๆ ลูกแยกออกเป็นการเพิ่มความบริสุทธิ์ให้กับโลหะผงจากกระบวนการรีไซเคิล



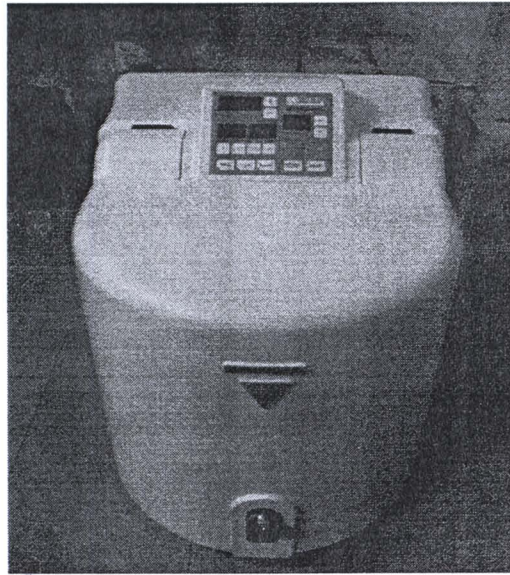
รูปที่ 3.129 การเตรียมลูกบด

จากรูปที่ 3.129 เมื่อทำการกรองโลหะผงเสร็จแล้ว ให้เตรียมลูกบด ชั้นนำหนักตามสัดส่วน
ที่กำหนด เตรียมใส่ลงในหม้อบด



รูปที่ 3.130 เทตะกอนโคลนทั้งส่วนลงในหม้อบด

เมื่อเตรียมลูกบดเสร็จแล้ว ให้นำโลหะที่เตรียมไว้ เทลงในหม้อบดและเติมแอลงกอชอลล์



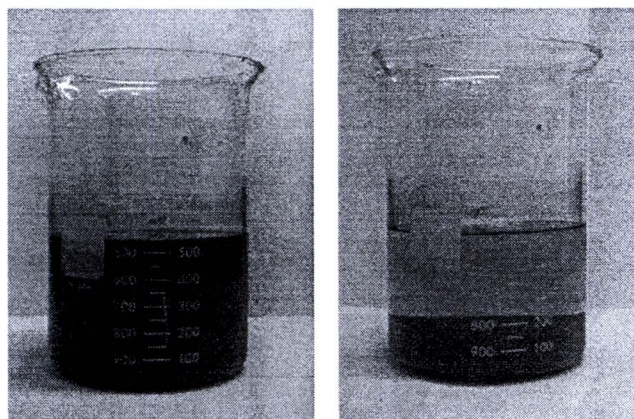
รูปที่ 3.131 เครื่องบดคุณ Pulverisette 6

จากรูปที่ 3.131 นำมือบดที่ภายในบรรจุผงทสต.enカラ่ไปค์โลหะผงทั้งสต.enカラ่ไปค์ ขีดแน่นภายในเครื่องบด จากนั้นให้ทำการปรับชุดสมดุลน้ำหนัก พร้อมตั้งเงื่อนไขในการบด แล้วเริ่มทำการบดตามเวลาในการบด ด้วยเครื่องบด Pulverisette 6



รูปที่ 3.132 การคัดแยกโลหะผงหลังการบด

เมื่อทำการบดครับตามระยะเวลาที่กำหนด ให้นำตะกอนโคลนโลหะ pang ในหม้อบดกรองผ่านตะกรงสแตนเลสและล้างด้วยแอลกอฮอล์ จากนั้นพักไว้ให้ตกรอบ



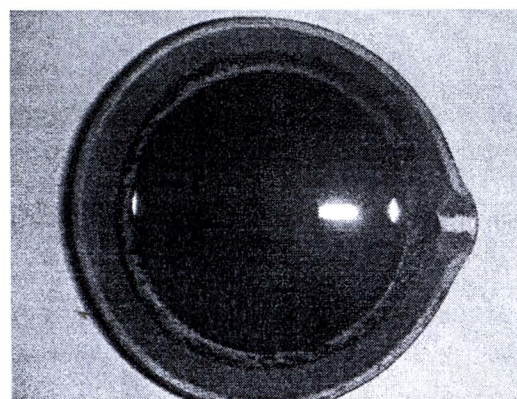
๒

รูปที่ 3.133 แสดงการตกรอบของโลหะ pang

จากรูปที่ 3.133 หลังจากที่ผงตะกอนแล้ว เทสารละลายส่วนบนออกแล้วนำตะกอนโคลนไปทำการกรองตามขั้นตอนแรกจนครบ 3 ครั้ง แล้วนำไปใส่ในถ้วยเซรามิกส์เพื่อทำการอบต่อไป

3) ขั้นตอนการอบโลหะ pang ที่ผ่านกระบวนการแยกสลาย

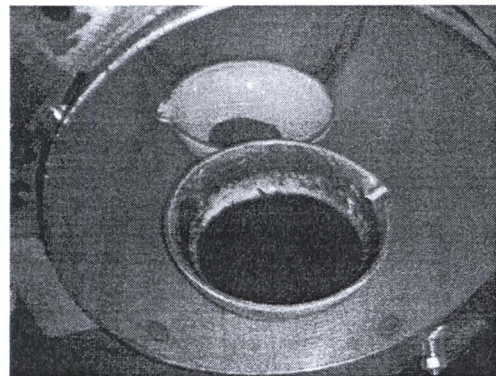
เมื่อเราได้โลหะ pang จากกระบวนการแยกสลายแล้วขั้นตอนต่อมา ก็จะนำมาทำการอบໄล่ความชื้นด้วยเตาอบระบบความคุณการเกิดออกไซด์ (Oxidation) สามารถอธิบายแต่ขั้นตอนได้ดังนี้



รูปที่ 3.134 ตะกอนโคลนก่อนอบ



จากรูปที่ 3.134 เมื่อทำการแยกโคลนจากสารละลายแล้ว นำมาใส่ในถ้วยเซรามิกส์เตรียมนำเข้าเตาอบเพื่ออบໄล์ความชื้น



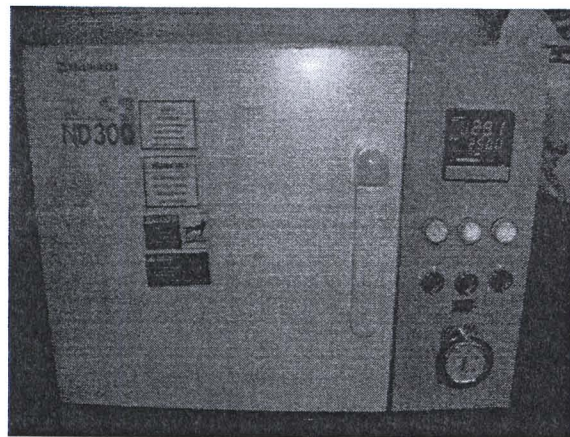
รูปที่ 3.135 การเตรียมตะกอนโคลนสำหรับอบแห้ง

นำตะกอนโคลนวางในถังอบที่บรรจุอยู่ภายในเตาอบระบบควบคุมการเกิดออกไซด์ (Oxidation)



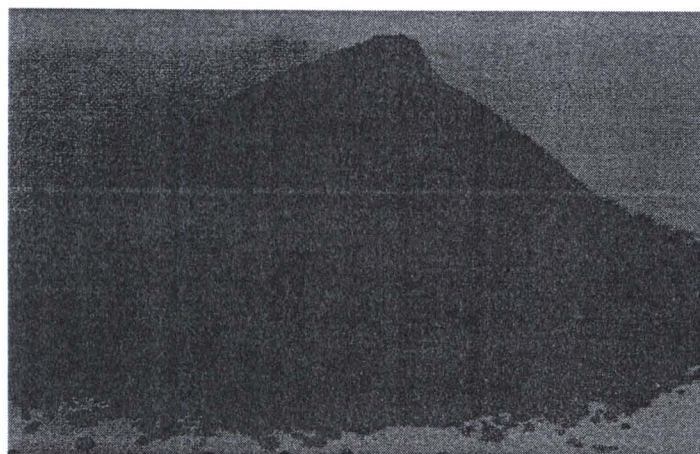
รูปที่ 3.136 การวางถังอบชิ้นงานภายใต้เตาอบ

ทำการปิดฝาถังอบชิ้นงานและต่อท่อสำหรับการดูดอากาศภายในถังอบ



รูปที่ 3.137 เตาอบขณะทำงาน

จากรูปที่ 3.137 เป็นการแสดงเตาอบระบบควบคุมการเกิดออกไซด์ (Oxidation) ขณะทำการใช้งาน ลูกออกแบบใหม่พิเศษชั้นการทำงานโดยสวัสดิ์พร้อมไฟแสดงสถานะการทำงาน ได้แก่ ปุ่มเปิด-ปิด และตัวบ่งชี้สัญญาณไฟสี เงียว อุณหภูมิ (Heater) และตัวบ่งชี้สัญญาณไบแอส แดง ปุ่ม Vacuum และตัวบ่งชี้สัญญาณไฟสีเข้มและปุ่มเพิ่ม

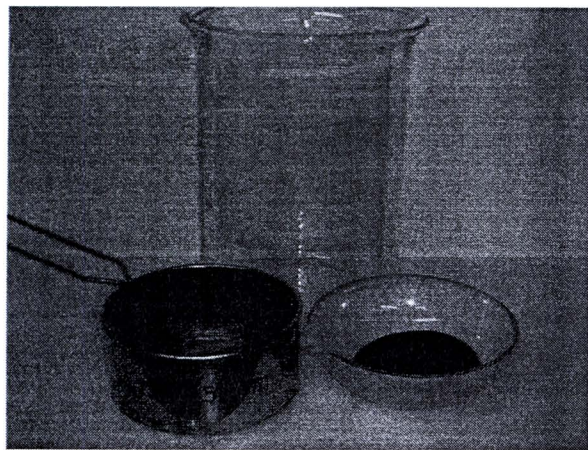


รูปที่ 3.138 โอลำบองหลังอบ

จากรูปที่ 3.138 เป็นลักษณะโอลำบองที่ผ่านกระบวนการแยกสหสัมภាយและได้ทำการอบเพื่อให้ความชื้น เตรียมที่จะนำไปผ่านกระบวนการกรองกรัดไป

4) ขั้นตอนการคัดขนาดและการทดสอบ

การคัดขนาดและการทดสอบสามารถแสดงขั้นตอนการปฏิบัติงานได้ดังต่อไปนี้



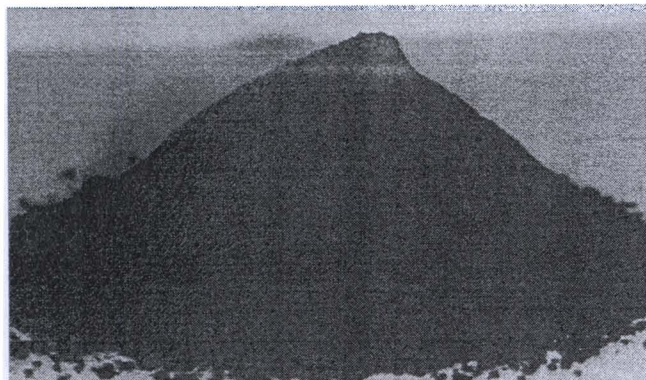
รูปที่ 3.139 เตรียมอุปกรณ์ในการคัดขนาด

จากรูปที่ 3.139 เป็นอุปกรณ์ในการคัดขนาดโลหะผงทั้งสเตนคาร์บอนด์ ประกอบด้วย บิกเกอร์ ตะแกรงคัดขนาดไม่เกิน 50 ไมครอน



รูปที่ 3.140 การคัดขนาดด้วยตะแกรงสเตนเลสขนาด $\leq 50 \mu\text{m}$

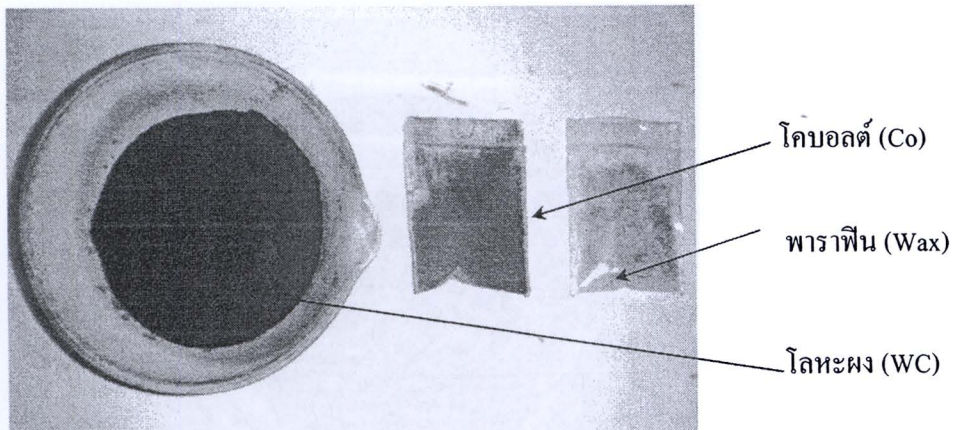
จากรูปที่ 3.140 เมื่อเตรียมอุปกรณ์เรียบร้อยแล้วให้ทำการคัดขนาดโลหะผงผ่านตะแกรงคัดขนาด NO.250 คัดขนาดขนาดอนุภาคได้เล็กกว่าหรือเท่ากับ 51 ไมครอน



รูปที่ 3.141 โลหะผงจากกระบวนการคัดขนาด

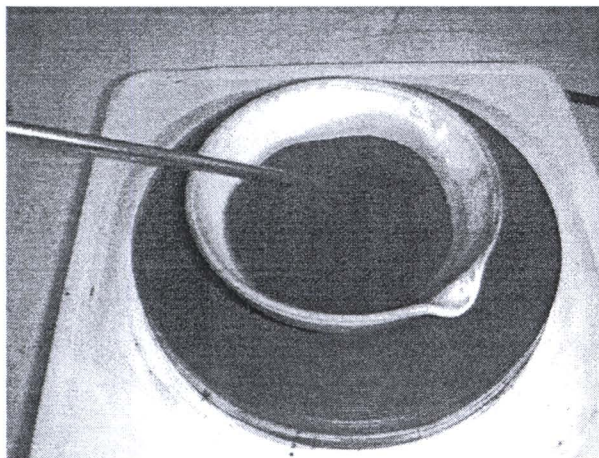
จากรูป 3.141 เป็นโลหะผงทั้งสเตนคาร์บอนด์ที่มีขนาดอนุภาค $\leq 50 \mu\text{m}$ เมื่อผ่านกระบวนการคัดขนาดอนุภาคแล้ว ขั้นตอนต่อไปเตรียมสำหรับผสมโลหะประสานโคนอลต์

5) ขั้นตอนการผสมโลหะผงสำหรับอัดขึ้นรูป



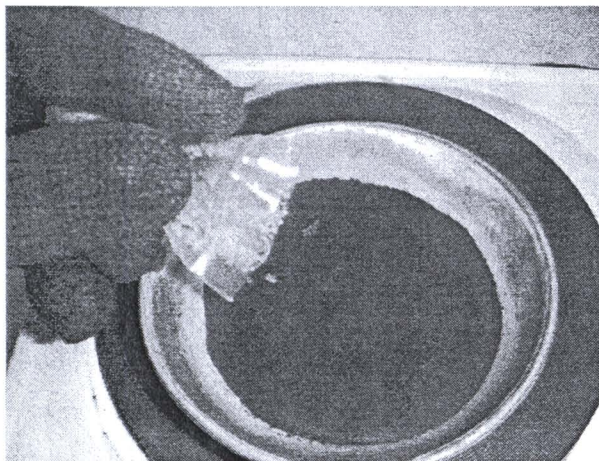
รูปที่ 3.142 การเตรียมส่วนผสม

จากรูปที่ 3.142 ทำการเตรียมส่วนผสมในการผสมโลหะผงสำหรับอัดขึ้นรูปชิ้นงานแผ่น มิด โดยให้ทำการซึ่งน้ำหนังส่วนผสมแต่ละตัว ได้แก่ โลหะผงทั้งสเตนคาร์บอนด์ (WC) โคบอลต์ (Co) และพาราฟิน (Wax) ตามประมาณที่กำหนด



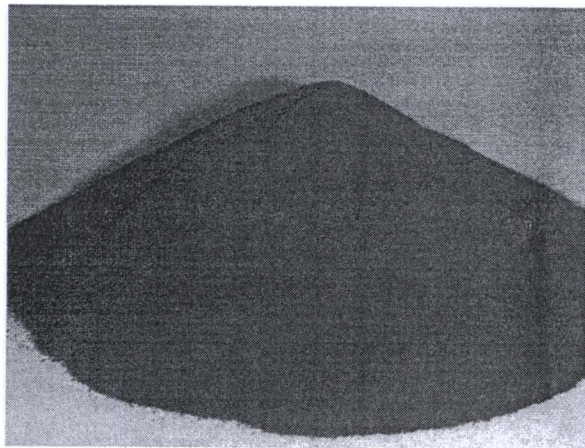
รูปที่ 3.143 การผสมโลหะพงพั้งสเตนคาร์บอน

จากรูปที่ 3.143 เป็นการผสมโลหะประisan โคบอลต์ เริ่มด้วย การให้ความร้อนโลหะพง 15-20 นาที จากนั้น ค่อยๆ เติมโคบอลต์ (Co) และใช้แท่งสเตนเลสคุณให้ส่วนผสมเข้าเป็นเนื้อเดียวกัน



รูปที่ 3.144 การเติมพาราฟิน (Wax)

ขั้นตอนต่อมา รูปที่ 3.144 เป็นการผสมพาราฟิน (Wax) เมื่อผสมแล้วใช้แท่งสเตนเลสคุณให้ส่วนผสมเข้ากันเป็นเนื้อเดียว



รูปที่ 3.145 โลหะผงทั้งสเกตคาร์ไบด์พร้อมสำหรับการอัดขึ้นรูป

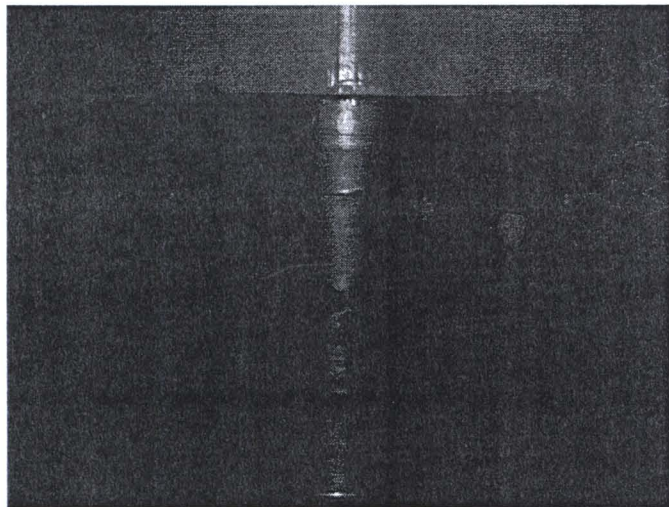
5) ขั้นตอนการอัดขึ้นรูป

ก) ทำการติดตั้งชุดแม่พิมพ์ Upper Punch และชุดแม่พิมพ์ Lower Punch ยึดติดกับเครื่องอัตโนมัติไฮดรอลิกส์



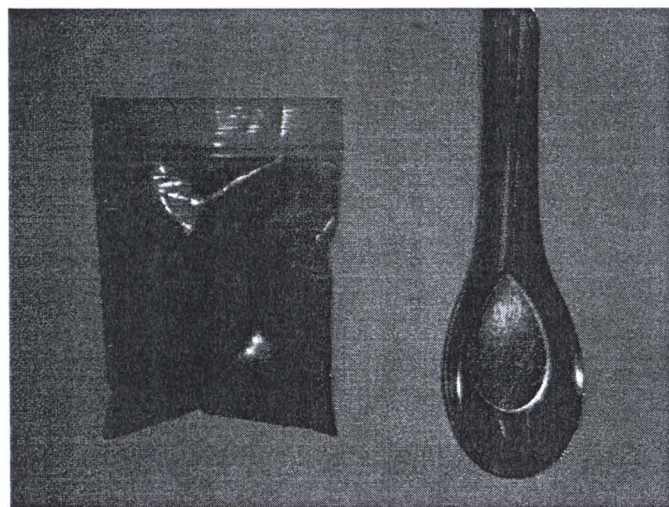
รูปที่ 3.146 การประกอบแม่พิมพ์ชุด Upper punch





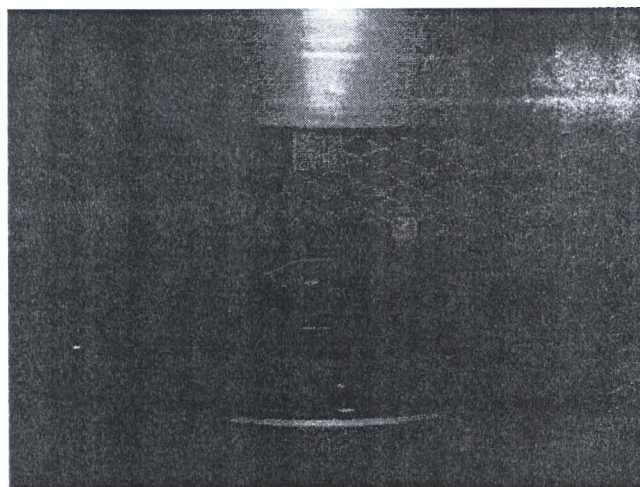
รูปที่ 3.147 แสดงการบีดสกรูดแม่พิมพ์

จากรูปที่ 3.146 - 3.147 แสดงการบีดสกรูเพื่อประกอบแม่พิมพ์ชุด Upper punch จากนั้นใช้ประแจ L ขันบีดให้เรียบร้อย จากนั้นให้ทำการขันบีดแม่พิมพ์ Lower punch และทำความสะอาดคราบน้ำมันเพื่อเตรียมสำหรับการอัดขึ้นรูป



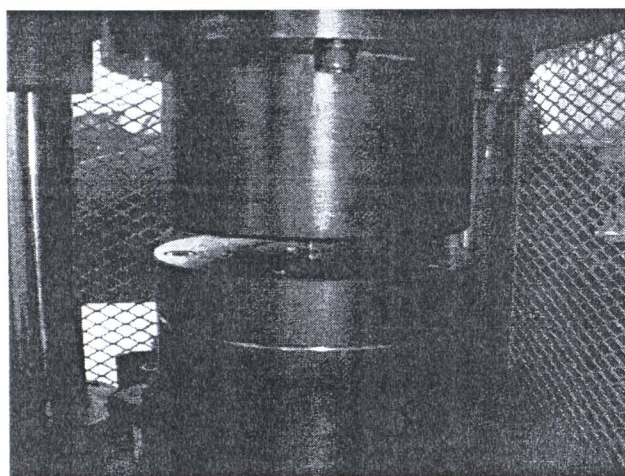
รูปที่ 3.148 โลหะผงทังสเตนคาร์บไบด์ผสม 10%Co

เตรียมโลหะผงทังสเตนคาร์บไบด์และทำการซั่งน้ำหนักตามสัดส่วนที่ต้องการ



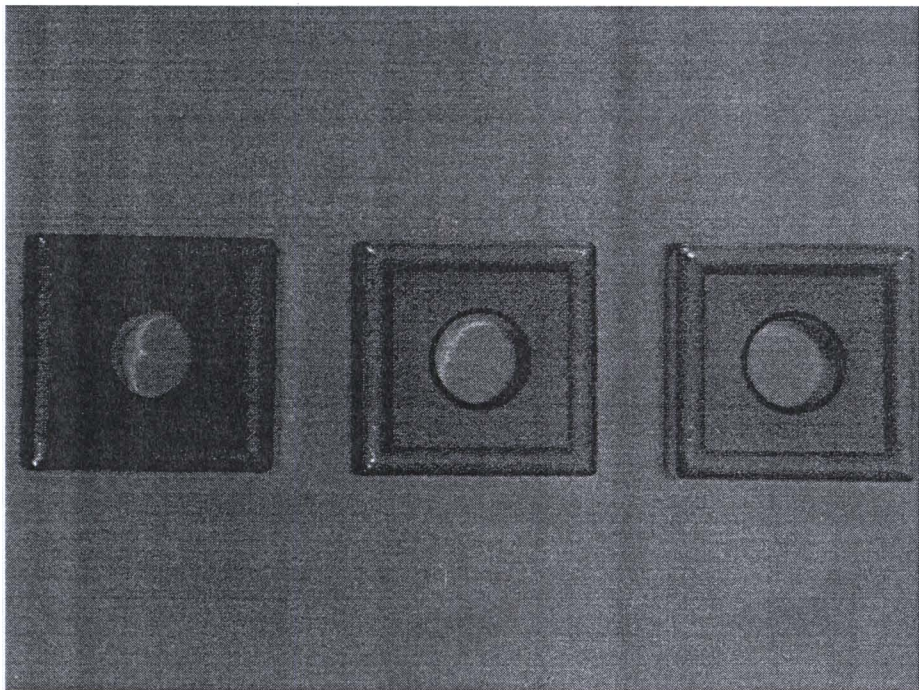
รูปที่ 3.149 แสดงการเตรียมโลหะผงไส่ลงในแม่พิมพ์

จากรูปที่ 3.149 เลื่อนชุดแม่พิมพ์ให้อยู่ในตำแหน่งที่โลหะผง และให้ทำการเทโลหะผงลงในช่องบรรจุผง แล้วใช้มือบรรทัดปัดผิวน้ำให้โลหะผงเรียบเสมือนแม่พิมพ์



รูปที่ 3.150 แสดงตำแหน่งอัดชิ้นงาน

จากรูปที่ 3.150 แสดงตำแหน่งการอัดแน่น โดยให้ทำการเลื่อนแม่พิมพ์มาอยู่ที่ตำแหน่งอัดแล้วทำการอัดแน่นก้างไว้ประมาณ 2-3 วินาที ก่อนทำการเลื่อนแม่พิมพ์มาอยู่ในตำแหน่งปลดชิ้นงานเพื่อนำชิ้นงานออกมาระบบรากษาและทำการตรวจสอบขนาดและซั่งนำหนักพร้อมบันทึกผล



รูปที่ 3.151 แสดงแผ่นมีดตัดซีเมนต์кар์ไบด์หลังการอัดขึ้นรูป

3.12 สรุปผลการดำเนินงาน

การดำเนินการทดลองผลิตโลหะพงทั้งสเตนкар์ไบด์ด้วยเทคโนโลยีพื้นฐานสำหรับการผลิตโลหะพงประกอบด้วย เครื่องแยกสายเศษโลหะแข็ง เครื่องบดละเอียดโลหะพง เตาอบไฟฟ้าระบบควบคุมการเกิดออกไซด์ ตะแกรงคัดขนาดโลหะพง แม่พิมพ์สำหรับอัดขึ้นรูป และเครื่องอัดระบบไฮดรอลิกส์ จากการดำเนินการติดตั้งและทดลองผลิตปรากฏว่า เทคโนโลยีที่สร้างขึ้นสามารถผลิตโลหะพงทั้งสเตนкар์ไบด์และทำการอัดขึ้นรูปชิ้นงานโลหะแข็งได้แผนมีขนาดประมาณ $15.72 \times 15.73 \times 6.21$ มิลลิเมตร